

Ekerö kommun

## **Stenhamra centrum**

Översiktlig geoteknisk undersökning

**MUR samt PM Geoteknik 211210**

**Rev A, 221005**



|                                 |                                 |                         |
|---------------------------------|---------------------------------|-------------------------|
| Datum: 2021-12-10               | Rev A: 2022-01-11<br>2022-10-05 | Uppdragsnummer: 2020018 |
| Upprättad av: Johan Freudendahl |                                 |                         |

Granskning: Håkan Rosén

## ADMINISTRATIVA UPPGIFTER

UPPDRAKSNAMEN: Stenhamra Centrum  
Geoteknisk undersökning

UPPDRAKSNUMMER: 2020018  
UPPRÄTTAD DATUM: 2021-12-10  
REVIDERAD DATUM: 2022-10-05

BESTÄLLARE: Ekerö kommun  
BESTÄLLARENS OMBUD:  
Ann-Sofi Thurne Rundqvist

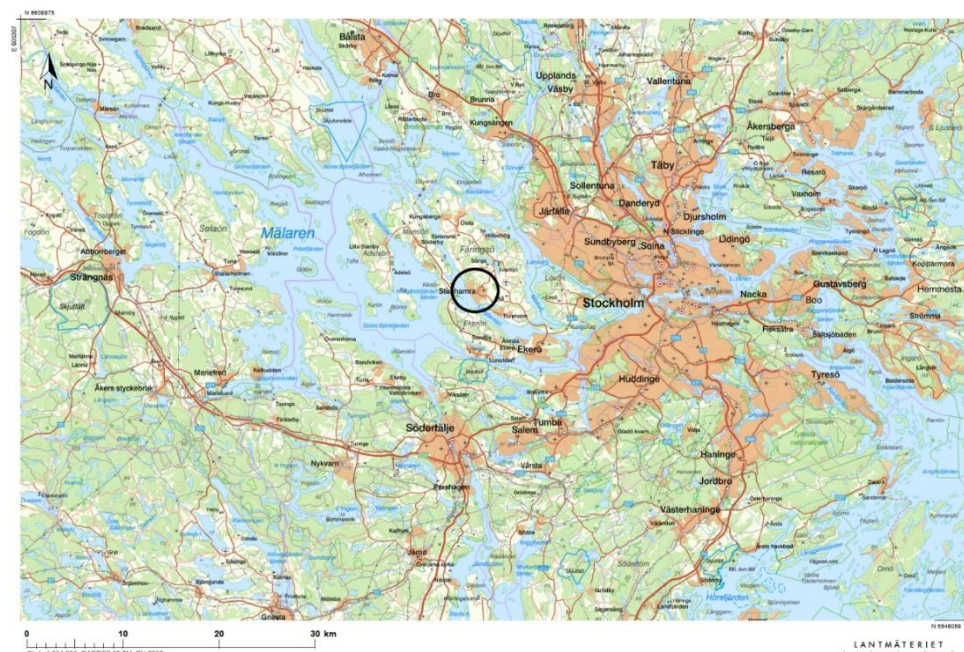
KONSULT: Mitta AB  
Organisationsnummer:  
556676-6647  
  
Projektledare:  
Johan Freudendahl  
  
Granskare:  
Håkan Rosén  
  
Fältgeotekniker:  
Axel Isaksson  
Oskar Lindgren  
  
Redovisare  
Anna Nosenko

## INNEHÅLL

|           |   |           |
|-----------|---|-----------|
| <b>1</b>  | <b>OBJEKT OCH UPPDRAG .....</b>                             | <b>4</b>  |
| <b>2</b>  | <b>SYFTE.....</b>   | <b>4</b>  |
| <b>3</b>  | <b>UNDERLAG FÖR UNDERSÖKNINGEN.....</b>                     | <b>4</b>  |
| <b>4</b>  | <b>STYRANDA DOKUMENT .....</b>                              | <b>5</b>  |
| <b>5</b>  | <b>PLANERAD/FÖRESLAGEN BYGGNATION .....</b>                 | <b>6</b>  |
| <b>6</b>  | <b>POSITIONERING.....</b>                                   | <b>6</b>  |
| <b>7</b>  | <b>GEOTEKNIKA FÄLT- OCH LABORATORIEUNDERSÖKNINGAR .....</b> | <b>6</b>  |
| 7.1       | UTFÖRDA FÄLTUNDERSÖKNINGAR 2021 .....                       | 6         |
| 7.2       | UTFÖRDA FÄLTUNDERSÖKNINGAR 2022 .....                       | 7         |
| 7.3       | UNDERSÖKNINGSPERIOD.....                                    | 7         |
| 7.4       | FÄLTARBETE .....  | 7         |
| 7.5       | PROVHANTERING.....  | 7         |
| 7.6       | LABORATORIEUNDERSÖKNINGAR .....                             | 7         |
| <b>8</b>  | <b>REDOVISNING .....</b>                                    | <b>8</b>  |
| <b>9</b>  | <b>MARKFÖRHÅLLANDEN .....</b>                               | <b>8</b>  |
| 9.1       | TOPOGRAFI .....   | 8         |
| 9.2       | GEOTEKNIKA FÖRHÅLLANDEN .....                               | 8         |
| <b>10</b> | <b>HYDROGEOLOGISKA UNDERSÖKNINGAR .....</b>                 | <b>9</b>  |
| 10.1      | HYDROGEOLOGISKA EGENSKAPER.....                             | 9         |
| <b>11</b> | <b>RADON .....</b>  | <b>10</b> |
| <b>12</b> | <b>TJÄLFARLIGHET OCH MATERIALTYP.....</b>                   | <b>11</b> |
| <b>13</b> | <b>HÄRLEDDA VÄRDEN .....</b>                                | <b>11</b> |
| 13.1      | SKJUVHÅLLFASTHET.....                                       | 11        |
| 13.2      | FRIKTIONSVINKEL.....  | 12        |
| <b>14</b> | <b>STABILITET.....</b>                                      | <b>13</b> |
| <b>15</b> | <b>SÄTTNINGAR .....</b>                                     | <b>13</b> |
| <b>16</b> | <b>SULFIDJORD.....</b>                                      | <b>13</b> |
| <b>17</b> | <b>SULFIDBERG .....</b>                                     | <b>13</b> |
| <b>18</b> | <b>GRUNDLÄGGNING.....</b>                                   | <b>14</b> |
| 18.1      | ALLMÄNT .....   | 14        |
| 18.2      | ÖVRIGT GEOLOGISKA SYN PUNKTER .....                         | 14        |
| 18.3      | DIMENSIONERING PLATTER.....                                 | 14        |
| 18.4      | DIMENSIONERING PÅLAR.....                                   | 15        |
| <b>19</b> | <b>SCHAKTNING .....</b>                                     | <b>16</b> |
| <b>20</b> | <b>SAMMANFATTNING .....</b>                                 | <b>16</b> |
| <b>21</b> | <b>ÖVRIGT.....</b>  | <b>18</b> |
|           | <b>RITNINGAR .....</b>                                      | <b>18</b> |
|           | <b>BILAGOR.....</b>   | <b>18</b> |

## 1 OBJEKT OCH UPPDRAG

Mitta AB har på uppdrag av Ekerö kommun utfört en översiktlig geoteknisk undersökning vid Stenhamra centrum, se figur 1. En första undersökning genomfördes november Det undersökta området omfattade 2021 ytor på fastigheterna Stockby 1:73, Stockby 3:19, Stockby 3:35, Stockby 3:68, Stockby 2:170, Stockby 3:36, Stockby 1:298, Stockby 2:64, Stockby 4:68, och Stockby 2:129. På begäran av kunden tillkom ytterligare områden 2022. Då skedde all undersökning på Stockby 1:298. Se figur 2 för orientering av de två områdena.



Figur 1. Orienteringskarta. Cirkel markerar undersökningens läge.

## 2 SYFTE

Syftet med undersökningen var att utreda de geotekniska förhållandena inom området samt att ge tekniska råd för framtida bebyggelse och grundläggning.

## 3 UNDERLAG FÖR UNDERSÖKNINGEN

För detta arbete har följande underlag använts:

- Jordartskarta och jorddjupskarta (SGU).
- Topografisk karta och ort foto från Lantmäteriets karttjänst.
- Underlag från kund i form av kartmaterial (pdf och dwg), bebyggelsehistoria, radonrapporter mm.



Figur 2. Undersökningsområdet markerat i blått 2021 och rött 2022.

## 4

## STYRANDE DOKUMENT

Denna rapport ansluter till SS-EN 1997-1 med tillhörande nationell bilaga.  
För standarder se *Tabell 1.1-1.3*.

**Tabell 1.1: Planering och redovisning**

| Undersökningsmetod | Standard eller annat styrande dokument  |
|--------------------|---|
| Fältplanering      | SS-EN 1997-2 och<br><i>SGF rapport 1:2013; Geoteknisk fälthandbok</i>                   |
| Fältutförande      | <i>SGF rapport 1:2013; Geoteknisk fälthandbok och SS-EN-ISO 22475-1</i>                 |
| Beteckningssystem  | <i>SGF/BGS beteckningssystem 2001:2 och SGF beteckningsblad kompletterat 2013-04-24</i> |

**Tabell 1.2: Fältundersökningar**

| Undersökningsmetod | Standard eller annat styrande dokument            |
|--------------------|---|
| Skruvprovtagning   | <i>SGF rapport 1:2013; Geoteknisk fälthandbok</i> |
| Trycksondering     | <i>Metodblad SGF</i>                              |
| Viktsondering      | <i>SGF rapport 1:2013; Geoteknisk fälthandbok</i> |
| Slag-sondering     | <i>SGF rapport 1:2013; Geoteknisk fälthandbok</i> |

|                    |   |
|--------------------|---|
| CPT-sondering      | <i>SS-EN ISO 22476-1:2012</i>   |
| Jord-bergsondering | <i>SGF Rapport 4:2012; Metodbeskrivning för jord-bergsondering, SGF rapport 1:2013; Geoteknisk fält handbok</i> |

**Tabell 1.3: Laboratorieundersökningar**

|                           |  |
|---------------------------|--|
| <i>Undersökningsmetod</i> | <b>Standard eller annat styrande dokument</b>  |
| Jordartsbeskrivning       | <i>SS-EN/ISO 14688-1 och SS-EN/ISO 14688-2</i> |
| Konflytgräns              | <i>SS-EN 933-1:2012</i>                        |
| Naturlig vattenkvot       | <i>SS 02 71 16, utgåva 3</i>                   |

## 5

## PLANERAD/FÖRESLAGEN BYGGNATION

Ekerö kommun planerar att förtäta bebyggelsen i Stenhamra och håller därför på att ta fram en reviderad detaljplanen för området. Aktuell byggnation ska utgöras av bostäder handel etc.

## 6

## POSITIONERING

Utsättning och inmätning av borrpunkterna har utförts av fältgeotekniker Axel Isaksson med GPS i koordinatsystem SWEREF 99 1800 och höjdsystem RH2000. Mätningarna har utfört enligt mätklass B enligt SGF Rapport 1:2013.

## 7

## GEOTEKNISKA FÄLT- OCH LABORATORIEUNDERSÖKNINGAR

### 7.1

### Utförda fältundersökningar 2021

- 23 trycksonderingar.
- 4 Viktsonderingar.
- Slagsondering i tre punkter.
- Jord-bergsondering i en punkt.
- Störda jordprover med skruvborr i 21 punkter. Inkluderar okulär bedömning i fält.
- Montering av två grundvattenrör.
- CPT-sondering i två punkter.
- Manuel sticksondering i två punkter.
- Radonmätning i fyra punkter med radonmätare av typ Markus 10.

## 7.2 Utförda fältundersökningar 2022

- 5 trycksonderingar.
- 11 Viktsonderingar.
- Slagsondering i två punkter.
- Jord-bergsondering i en punkt.
- Störda jordprover med skruvborr i 18 punkter. Inkluderar okulär bedömning i fält.
- Montering av tre grundvattenrör.
- CPT-sondering i två punkter.

## 7.3 Undersökningsperiod

Undersökningarna utfördes under vecka 45 2021 och vecka 33 2022.

## 7.4 Fältarbete

Fältarbetena utfördes 2021 av fältgeotekniker Axel Isaksson på Mitta AB. Hantlangning och grundvattenmätning har utförts av Johan Freudendahl på Mitta AB.

Fältarbetena utfördes 2022 av fältgeotekniker Axel Isaksson och Oskar Lindgren på Mitta AB.

Geoteknisk borrbandvagnar som användes var av modell GM75 och GM85.

## 7.5 Provhantering

Hantering av prover har utförts enligt SGF Rapport 1:2013 Geoteknisk Fälthandbok. Störda prover har förvarats och transporterats i provpåsar av plast till Mitta ABs ackrediterade laboratorium i Västberga.

## 7.6 Laboratorieundersökningar

Laboratorieundersökningarna har utförts på Mittas geotekniska laboratorium i Västberga, Hägesrten. Undersökningarna omfattar:

- Jordartsbestämning av 32 störda prover 2021.
- Jordartsbestämning av 29 störda prover 2022.
- Densitet, konflyttgräns och vattenkvot för 2 prover 2022

## 8 REDOVISNING

Resultaten av utförda sonderingar och provtagningar redovisas gemensamt för 2021 och 2022 i plan på bifogad ritning G-10-1-001, i sektion på bifogade ritningar G-10-2-001, G-10-2-002, G-10-2-003, G-10-2-004 och G-10-2-005 samt som enskilda punkter i ritningarna G-10-2-006, G-10-2-007, G-10-2-008 och G-10-2-009. Redovisningen följer SGF/BGS Beteckningssystem för geotekniska utredningar version 2016-11-01. Redovisning har skötts av Anna Nosenko, Mitta AB.

## 9 MARKFÖRHÅLLANDEN

### 9.1 Topografi

De avvägda nivåerna vid undersökningspunkterna varierar mellan ca +8 till ca +20 - lägen för dessa framgår på ritning G-10-1-001, koordinatsystem SWEREF 99 1800 och höjdsystem RH2000. Topografen är som högst i nordväst (21M004) och lägst i syd (21M028).

### 9.2 Geotekniska förhållanden

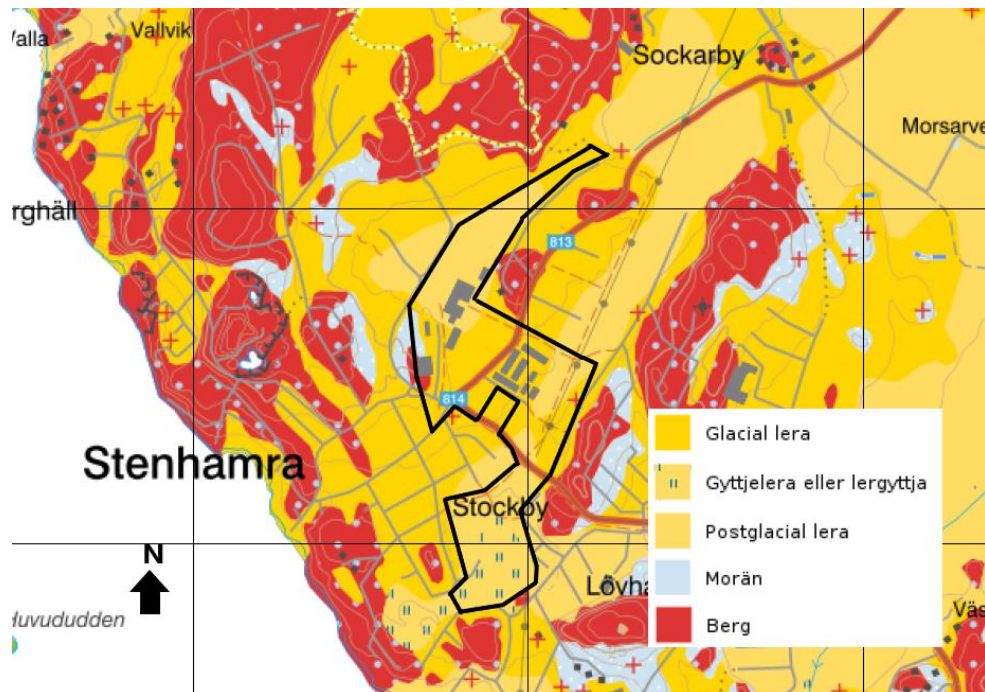
Undersökningen omfattar sammanlagt ett område på cirka 25 ha. Området i Stenhamra kännetecknas av samma sprickdalslandskap som stora delar av Stockholmsområdet, dvs postglaciala leror mellan toppar av prekambriskt urberg. Den ytliga förekomsten av morän är begränsad och utgörs ofta av ett tunnare lager på berget, se SGUs jordartskarta i figur 3.

Djup till fast botten varierar en hel del inom området. Från ca 13 meter i punkt 21M026 till berg på ca en halvmeters djup i punkt 21M013. Djupet kan också variera mycket över relativt korta distanser i plan.

De vanligaste förekommande ytliga jordarterna, under lagret av mulljord på några decimeter, är lera eller lerig fyllning. Inslag av andra kornstorlekar, framför allt silt förekommer. Oftast utgörs lerans ytligaste lager av torrskorpa som varierar från 0,5 till upp emot 3 meter i tjocklek. Därunder följer ett lager med lösare lera som kan vara upp mot 13 meter i mächtighet. Under leran följer antingen ett tunnare lager med morän eller berg.

Berg-i-dagen förekommer också. Det som klassats som fyllningen är oftast lokalt omlagrat material och består närför även den oftast av lera.

En stor del av det undersökta området har ett förflutet som åkermark och har närför påverkats av plöjning. Området söder om Stenhamrvägen, se figur 2, som idag består av öppna gräsytor bedöms som mindre påverkat än det bebyggda området norr om vägen.



Figur 3. Jordartskarta från SGU. Undersökningsområdet markerat i svart.

## 10 HYDROGEOLOGISKA UNDERSÖKNINGAR

De hydrogeologiska förhållandena har undersökts genom montering av 2 st 25 mm stålör med 50 cm slitsat filter. Två tidigare installerade grundvattenrör som hittades vid undersökningen har också inkluderats i redovisningen. Där vatten har noterats vid skruvprovtagningen har också vattennivån i provtagningshålet redovisats, se sektionsritningar.

### 10.1 Hydrogeologiska egenskaper

Nivåer för grundvattenrör monterade 2021 avlästes 2021-11-15. Nivåer för grundvattenrör monterade 2022 avlästes 2022-08-16. Se tabell 2 för resultat, här inkluderas även befintliga grundvattenrör som fanns på plats innan undersökningen 2021.

Grundvatten graderar följer generellt markens lutning och nivåerna varierar säsongsvis. Det är inte säkert att alla grundvattenrör sitter i samma gradient eller i samma grundvattenmagasin.

**Tabell 2:** Grundvattennivåer

| Grundvattenytör |          |         |               |
|-----------------|----------|---------|---------------|
| Borrhål         | Markhöjd | GV-nivå | Djup under my |
| 21M001          | 16,6     | 15      | 1,6           |
| Befintligt GV 1 | 18,8     | 16,8    | 2             |
| Befintligt GV 2 | 11,1     | 9,5     | 1,6           |
| 21M028          | 8,4      | 7,3     | 1,1           |
| 22M002          | 18,1     | Torr    | 4,6           |
| 22M008          | 15,8     | 14,3    | 1,5           |
| 22M016          | 16,3     | 13,8    | 2,5           |

## 11 RADON

I samband med fältundersökningen 2021 direktnäts markradon i fyra punkter med ett instrument av typen Marcus 10a. Det mättes i ytterligare två punkter i oktober 2022.

**Tabell 3:** Markradon.

| Borrhål | Radon kBq/m³ | Material       | Mark klassning |
|---------|--------------|----------------|----------------|
| 21M002  | 46           | Fyllning       | Lågradon       |
| 21M013  | 5,2          | Fyllning       | Lågradon       |
| 21M020  | 133          | Lera           | Högradon       |
| 21M027  | 117          | Lera           | Högradon       |
| 22M008  | 0            | Lerig fyllning | Spec.          |
| 22M016  | 0            | Lerig fyllning | Spec.          |

I mark med mer finkornigt sediment (t ex lera) klassas  $\leq 60 \text{ kBq/m}^3$  som lågradon mark,  $60\text{-}100 \text{ kBq/m}^3$  som mellanradon mark och  $\geq 100 \text{ kBq/m}^3$  som högradon mark.

Resultaten är sprida över ett större område som gör det svårt att generalisera. Det verkar dock som att områden med mer naturlig lera har högre värden än de med fyllning. Det skall påpekas att även den fyllning som påträffats har varit lerig.

I borrpunkt 21M027 monterades även en så kallad ROAC-burk som efter 5 dagar på plats skickades till Eurofins radonlaboratorium för analys. Denna visade på  $13 \text{ kBq/m}^3$ , alltså betydligt lägre än de 117 som mättes med Marcus 10. Provburken hade dock påverkats något av vatten då det hade regnat under tiden den var i fält varför resultaten från den bör tolkas med försiktighet. Labbresultat återfinns i bilaga 2.

Vid mätningarna i oktober 2022 registrerades  $0 \text{ kBq/m}^3$  i båda punkterna. Detta bör dock inte tolkas som lågradon mark utan snarare ett kvitto på att marken (leran) är mycket tät och inte släpper ifrån sig något radon.

I detaljprojekteringsskedet bör radon undersökas noggrannare. Vid projektering på berg rekommenderas mätning med gammaskaner.

## 12 TJÄLFARLIGHET OCH MATERIALTYP

Tjälfarligetsklass och materialtyp redovisas i bilaga 1, resultat laboratorieanalyser.

Den vanligaste tjälfarligetsklassningen är 3 och 4.

Tjälfarligetsskalan har 4 steg. **1**, Icke tjällyftande jordart. **2**, något tjällyftande jordart. **3**, måttligt tjällyftande jordart. **4**, mycket tjällyftande jordart.

Vad tjälfarligetsklassningen innebär hänger ihop med vad som skall konstrueras samt vilken klimatzon bygget sker i. Varje region har alltså egna bestämmelser kring det. Klassningen är till som vägledning för projektören.

Materialtyp utgår, liksom tjälfarligetsklassningen, från jordens kornstorlek och är ämnad som vägledning vid konstruktion.

## 13 HÄRLEDDA VÄRDEN

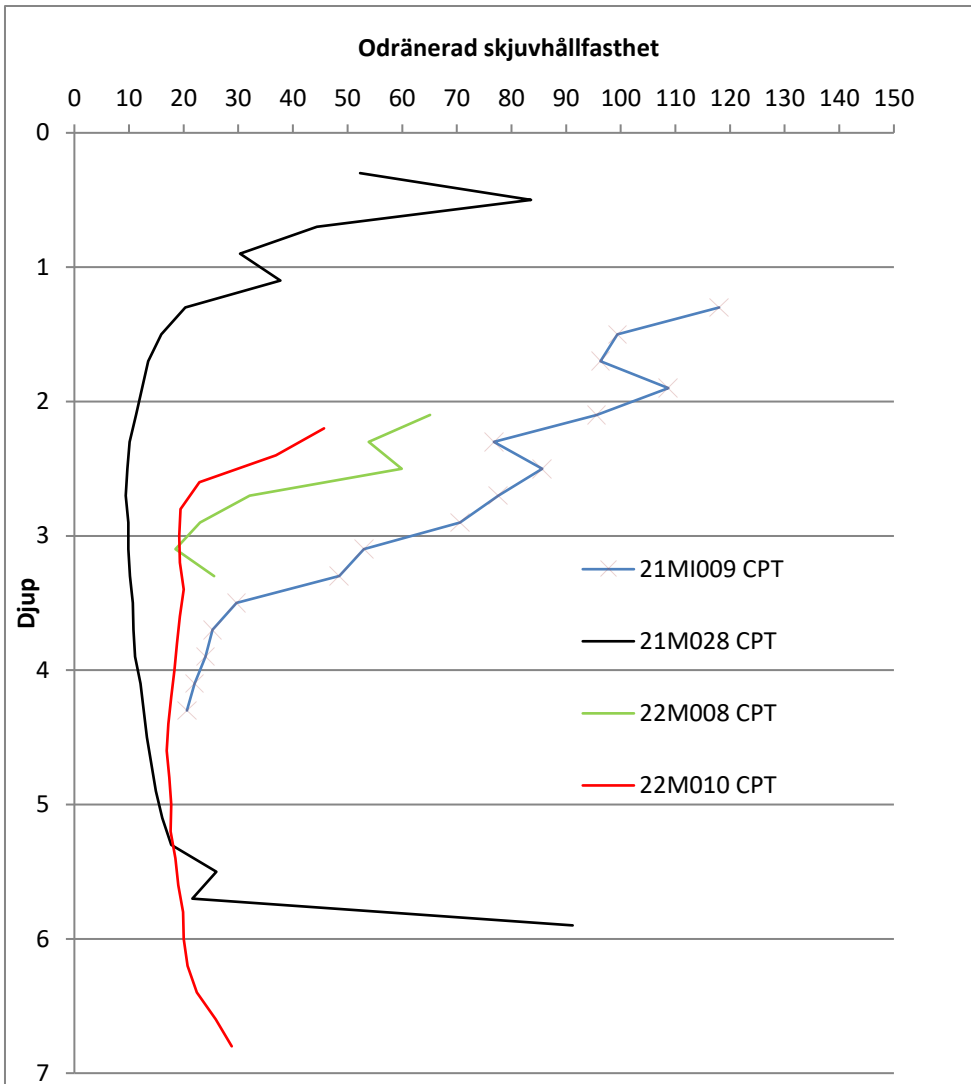
### 13.1 Skjuvhållfasthet

Den odränerade skjuvhållfastheten har utvärderats med programmet Conrad utifrån två CPT-sonderingar, 21M009 och 21M028 se bilaga 3 och ritning G-10-1-001 för lägen. 2022 genomfördes ytterligare två CPT-sonderingar 22M008 och 22M010 som redovisas på samma sätt. Skjuvhållfasthet för samtliga punkter redovisas i figur 4.

En punkt, 21M009, ligger i området norr om Stenhamra vägen och en; 21M028 ligger i området söder om det. 22M008 och 22M010 ligger i det utökade området i norr.

Ett schablonvärde för densiteten på det översta lagret materialet på  $1,9 \text{ t/m}^3$  har använts vid utvärderingen. Grundvattennivåerna har utgått från observationer i fält eller torrskorpelans utbredning. Vid undersökningen 2022 togs även skrymedensitet, vattenkvot och konflytgräns i vissa nivåer där detta var möjligt. Detta för att förbättra precisionen i utvärderingen.

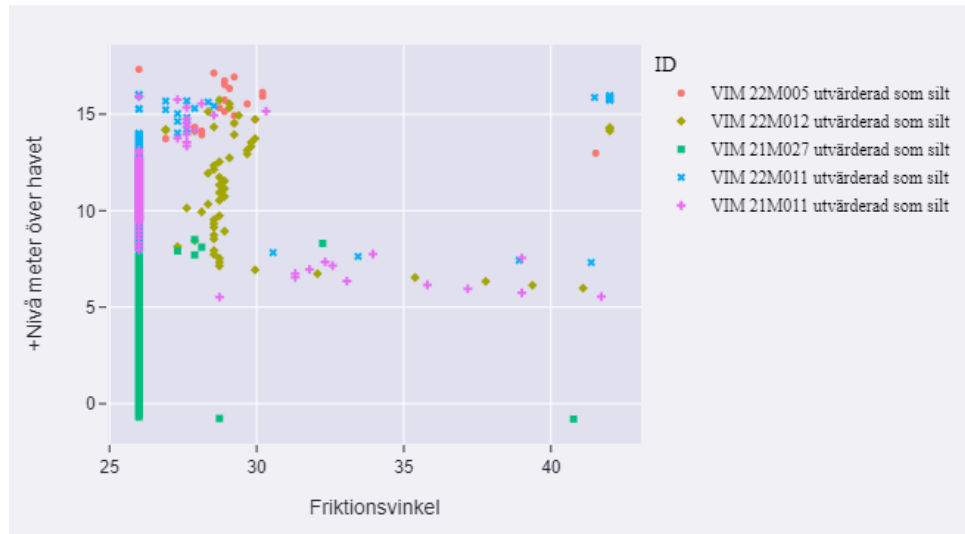
21M028, som ligger längst i söder har en skjuvhållfasthet runt  $10 \text{ kPa}$  vilket är gränsen för extremt låg skjuvhållfasthet enligt SGF. Detta är inte ovanligt för leror Stockholmstrakten. De övriga värdena ligger högre. Resultaten bör dock ses som indikativa.



Figur 4. Odränerad skjuvhållfasthet i kPa. utvärderat utifrån CPT-sonderingarna.

## 13.2 Friktionsvinkel

Utvärdar vikt- och trycksonderingarna är det möjligt att utvärdera friktionsvinkel som ett mått på markens bärighet i friktionsjord. Jordarten vid Stenhamra har som regel utgjorts av kohesionsjord (lera och silt). Lera anses ur geoteknisk synvinkel sakna friktionsvinkel. Likasänt har ett urval av viktsönderingarn utvärderats enligt TK-geo enligt parametrar för silt för att ge en uppfattning om skillnaderna inom området, se figur 5. T ex har punkt 21M027 beläget i det södra området en friktionsvinkel som är genomgående  $26^\circ$  (fri sjunk) medan 22M012 i norr har en friktionsvinkel på runt  $28^\circ$  och där visst motstånd uppmätts i sönderingarna. Resultaten skall ses som indikativa men ger ändå en uppfattning om byggbarhet. För punkternas lägen se ritning G-10-1-001.



Figur 5. Friktionsvinkel för några utvalda punkter.

## 14 STABILITET

Inga stabilitetsproblem bedöms förekomma med hänsyn till områdets topografi. Vid djupa schakter ska dock släntstabilitet i schakt beaktas enligt jordart, se kapitel 19 och Schakta Säkert (Svensk Byggtjänst, SGI/SBUF 2015).

## 15 SÄTTNINGAR

Någon sättningsundersökning har ej utförts.

Belastningsökning som ger upphov till sättningar kan förutom belastning från byggnad utgöras av fyllning och/ eller grundvattensänkning. 1 m grundvattensänkning ger upphov till en belastningsökning på 10 kPa.

Vid normala laster och normal grundläggning bedöms generellt att begränsade sättningar utbildas men detta är något som bör utredas och bedömas vid varje enskild byggnation och grundläggning.

## 16 SULFIDJORD

Inga observationer vare sig från fält eller labb gör gällande att det förekommer sulfidjord eller sulfidhaltig jord i de översta tre metern material vid Stenhamra.

## 17 SULFIDBERG

Det är ont om berg-i-dagen i området. SGU karterar området som granit granodiorit-granit. Potential finns för sulfidberg men berget bör provtas och skickas till labb för att säkerställa detta, särskilt inför byggskeendet. Om planerade konstruktioner omfattar sprängningsarbete bör detta alltid ske.

## 18 GRUNDLÄGGNING

### 18.1 Allmänt

Grundläggning kan ske på frostskyddad nivå med sulor, alternativt förstydad bottenplatta, på naturligt lagrad jord eller väl packad fyllning sedan allt organiskt material borttagits. Grundläggning kan utföras enligt SS-EN 1997-1 Geoteknisk kategori GK1 där så är möjligt. Tillåtet grundtryck fd sättes till 50 kPa vid grundläggning på silt, vid grundläggning på morän sätts tillåtet grundtryck till 150 kPa. Eventuella uppfyllnader ska medräknas i belastningen för konstruktionen. Om större laster anbringas jorden eller att lerans egenskaper (djup, hållfasthet mm) kräver det kan pålgrundläggning vara ett alternativ. Detta bör undersökas och utreds vid varje enskilt fall.

### 18.2 Övrigt geologiska synpunkter

Uppfyllnader ska medräknas i belastningen för konstruktionen.

Fyllning för grundläggning av byggnad utförs lagervis och enligt AMA Anläggning.

Vid utförandet rekommenderas det att en grundbottenbesiktning utförs när nivå för schaktbotten är synlig.

Om schaktbotten utgörs av finkornigt material som lera eller silt förordas geotextil på schaktbotten som materialskiljande lager.

Vid schaktning i siltig jord finns risk för ytuppmjkning och utflytning av sländer vid vattenövermåttnad på grund av t ex regn. För att begränsa utflytning av sländer kan dessa överläckas vid regnväder.

Vidare ska belysas att jorden är erosionsbenägen, vilket kräver beaktande bland annat med avseende på schaktarbeten.

Om grundläggning sker på berg kan bergschakt behövas. Berg har goda egenskaper för grundläggning.

### 18.3 Dimensionering plattor

Grundläggning kan även ske enligt SS-EN 1997-1 Geoteknisk kategori GK2. Kunskaper om friktionsvinkel, elasticitetsmodul, skjuvhållfasthet mm bör tas fram vid detaljprojektering och förfinas tillsammans med konstruktören. Vid dimensionering kan även karakteristiska värden/medelvärdet enligt TK Geo (Trafikverket) användas.

Dimensionering av plattor ska ske i både brott- och bruksgränstillstånd enligt Tillämpningsdokument EN 1997-1, kapitel 6 Plattgrundläggning (IEG Rapport 7:2008).(\*1)

Grundläggningsmetod avser plattor, vilket ger dimensioneringssätt DA3.

Friktionsvinkel ska tas fram för beräkning i brottgränstillstånd.

E-modulen ska tas fram för beräkning i bruksgränstillstånd, avseende sättningar.

Gränstillstånd i brottgräns är STR/GEO.

Allmänt gäller

$$X_d = (1/\gamma M) \cdot \eta \cdot X_{\text{Medelvärde}}$$

## 18.4 Dimensionering pålar

Om större laster skall tas ned på jorden och jorden består av lösare och sättningskänslig jord så kan pålgrundläggning bli aktuell.

Dimensionering av pålar ska ske enligt SSEN 1997-1, kapitel 7 (IEG Rapport 8:2008, Rev 2)\*1.

Partialkoefficienter tas fram i enlighet med BFS 2010:28, EKS 7, Avdelning I \*2.

**19 SCHAKTNING**

Schaktning i lera kan ske med slänt i lutning 1:1 till 3,0 m djup vid belastning på markytan intill schaktet med max 20 kPa (dock ej närmare släntkrön än 1 m).

Schaktning i friktionsjord kan över grundvattenytan ske med slänt i lutning 1:1,5.

Andra släntlutningar än vad som anges ovan kan vara aktuellt, dessa kan baseras på särskilda bedömningar, erfarenhet, öppettider, schaktdjup, väderlek, särskild kontroll mm. Härvid är också utförande av provgropar fördelaktigt.

Vid schaktning under grundvattenytan och samtidig länshållning av schakten finns risk för erosion, bottenuppluckring samt bottenuppträckning. Om det blir aktuellt med schaktning och återfyllning under grundvatten-nivån krävs att detta studeras och planeras särskilt innan arbetet påbörjas.

All schaktning skall utföras enligt handboken Schakta Säkert (Svensk Byggtjänst, SGI/SBUF 2015).

**20 SAMMANFATTNING**

Undersökningen är översiktlig och berör ett relativt stort område, det finns dock visa mönster. Grovt kan man dela in området i två delar, det norr om Stenhamrvägen (Centrumområdet), där förhållandena är bättre och det söder om vägen där förhållandena är sämre. Det norra området är i dagsläget till stor del bebyggt medan det södra är ett frilufts- och naturområde.

I och med undersökningen i augusti 2022 kan ytterligare ett område (Skolområdet) sägas ha tillkommit med egenskaper som framgår av tabell 4. Detta område är till stor del obebyggt.

Tabell 4 ska ses som en grov sammanfattning av de tre områdena och skall inte betraktas som uttömmande. Vid byggnation där detaljer som höjdsättning, läge och användningsområde är känt bör mer detaljerade undersökningar genomföras.

**Tabell 4:** Geoteknik uppdelat efter område.

| Geotekniska egenskaper | Norra området (Centrum området)                                     | Södra området   | Område 2022 (Skolområdet)   | Kommentarer /åtgärder              |
|------------------------|---|---|---|------------------------------------|
| Marknivå/ topografi    | Högre beläggen +12-20   | lägre nivåer, under +12                                 | Högre beläggen +12-20   |                                    |
| Jordart                | Berg, Morän, fyllning   | Lera, gyttjelera  | Torrskorpa, morän, fyllning   | Lera förekommer även i norr        |
| Jorddjup               | Lågt, men varierar mycket inom området                              | Högre, men varierar                                     | 1-10 meter  |                                    |
| Bärighet               | God   | Mindre god/Dålig  | God   |                                    |
| Sättningar             | Troligen små, men kan variera lokalt                                | Möjliga, sämre förutsättningar längre söderut i området | Troligen små, men kan variera lokalt                                | Bör utredas vid byggnation         |
| Grundläggning          | Plata på mark, men andra åtgärder kan bli aktuella beroende på läge | Sannolikt pålning                                       | Plata på mark, men andra åtgärder kan bli aktuella beroende på läge | Bör utredas vid byggnation         |
| Markanläggning         | Normala åtgärder  | Överlaster, KC-pelare etc                               | Normala åtgärder  |                                    |
| Radon                  | Låga nivåer, inga åtgärder vid byggnation                           | Normal till höga nivåer. Radonskyddande åtgärder krävs  |   | Bör utredas närmare vid byggnation |

**21 ÖVRIGT**

Vissa borrpunkter fick flyttas eller utgå eftersom borriggen inte hade möjlighet att nå dessa på grund av byggnader och staket eller därför att fältpersonalen upptäckte ledningar i fält som inte fanns med i ledningskollen. I tre av dessa fall gjordes försök med manuell sticksondering. Djupen på dessa är generellt låga men det beror sannolikt på metodens begränsningar snarare än faktiskt jorddjup.

Det ska beaktas att denna undersökning är översiktlig. Mer detaljerad undersökning kommer att erfordras inför byggnation när bland annat lägen och utformning för byggnader är känt.

Mitta AB

Geoteknik, Vatten och Miljö



Johan Freudendahl

Håkan Rosén

**RITNINGAR**

- G-10-1-001 Planritning
- G-10-2-001 Sektionsritning
- G-10-2-002 Sektionsritning
- G-10-2-003 Sektionsritning
- G-10-2-004 Sektionsritning
- G-10-2-005 Sektionsritning
- G-10-2-006 Borrpunkter
- G-10-2-007 Borrpunkter
- G-10-2-008 Borrpunkter
- G-10-2-009 Borrpunkter

**BILAGOR**

- Bilaga 1 – Laboratorieanalyser
- Bilaga 2 – Radonanalys
- Bilaga 3 – Utvärderade CPTer

## MEASURING THE WORLD

MITTA grundades i Finland redan 1989 och är nu ett av de största och ledande företag inom geodetisk mätningsteknik, geoteknik, geolaboratorium och dammsäkerhet. Vi är ett flexibelt, kundorienterat och entreprenörsdrivet företag med huvudkontor i Motala. Bland våra uppdragsgivare finns stora aktörer inom infrastruktur, byggnation och kraftbolag, men vi har även många små uppdragsgivare som söker professionellt stöd.



## TECKENFÖRKLARING

BETECKNINGAR ENLIGT SGF-S BETECKNINGSSYSTEM 20012  
OCH SS-EN 14 688-1

KOORDINATSYSTEM  
SYSTEM I PLAN: SWEREF 99 18 00  
SYSTEM I HOJD: RH 2000

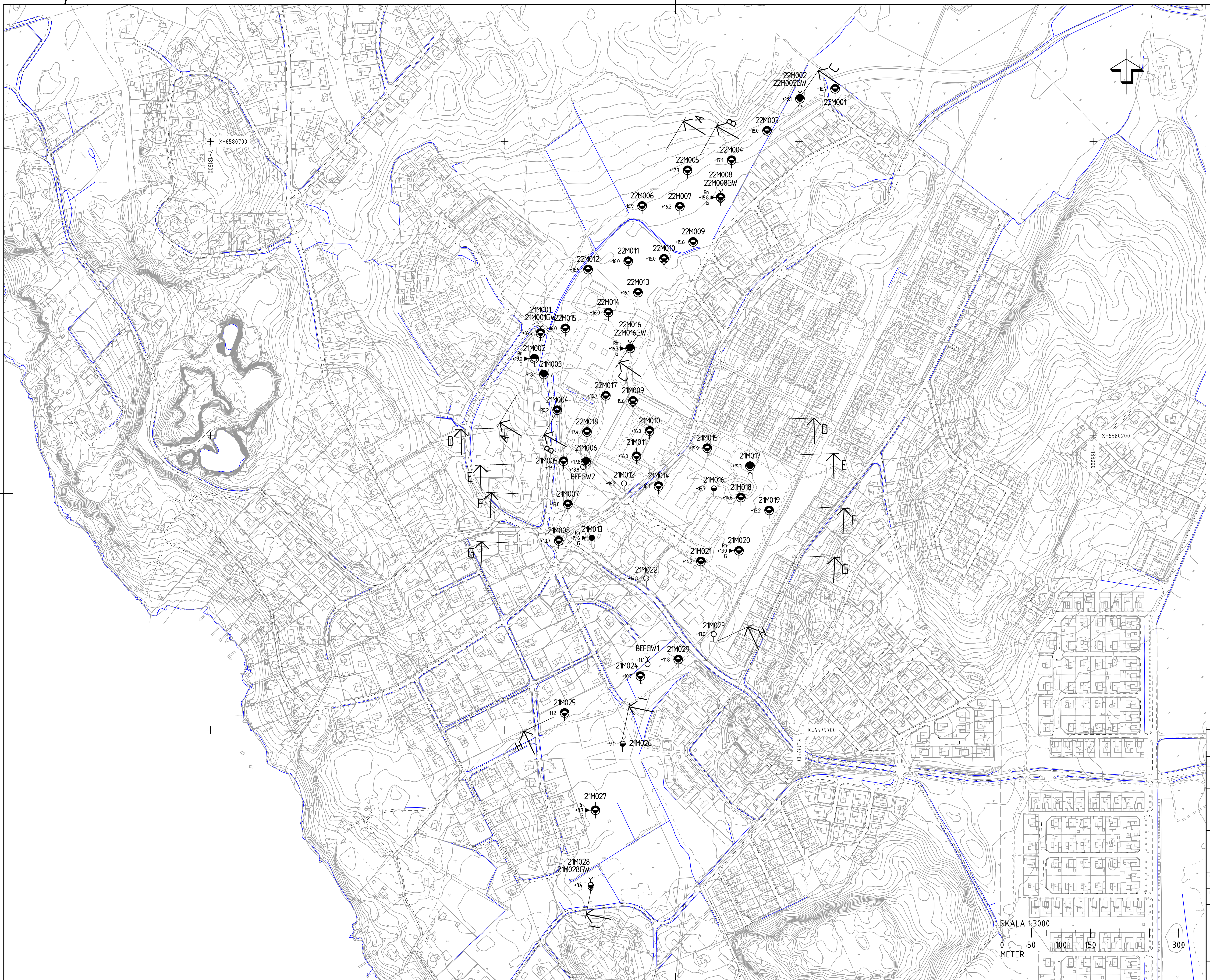
|     |                                   |            |      |
|-----|-----------------------------------|------------|------|
| B   | RADONINMÄTNINGAR                  | 2022-10-04 | JF   |
| A   | KOMPLETERANDE UNDERSÖKNINGAR 2022 | 2022-08-24 | JF   |
| BET | ÄNDRINGEN AVSER                   | DATUM      | SIGN |

STENHAMRA  
EKERO KOMMUN

**MITTA**  
UPPDAG NR 2020018 RITAD/KONSTRUERAD AV A.NOSENKO HANDELÄGARE J.FREUDENDAHL  
DATUM 2021-11-19 UPPDAGSLEDARE J.FREUDENDAHL

GEOTEKNIKA UNDERSÖKNINGAR

PLAN SKALA A1 NUMMER G-10-1-001 BET A  
1:3000



## TECKENFÖRKLARING

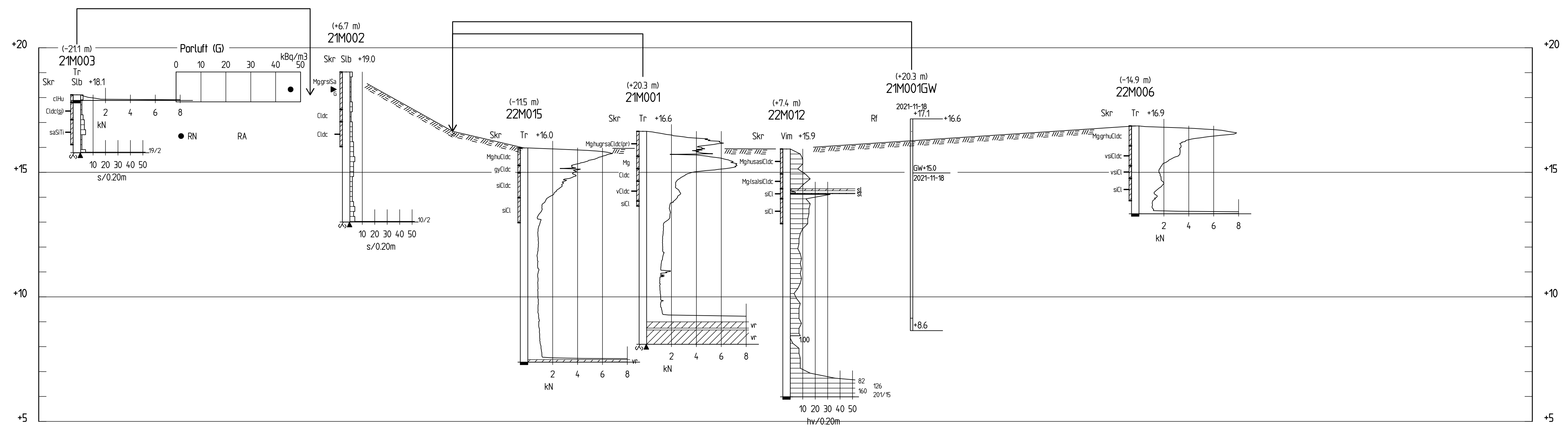
MARKYTA INTERPOLERAD  
MELLAN BORRPUNKTERNA

# BETECKNINGAR ENLIGT SGF:S BETECKNINGSSYSTEM 2001:2 OCH SS-EN 14688-1

## KOORDINATSYSTEM

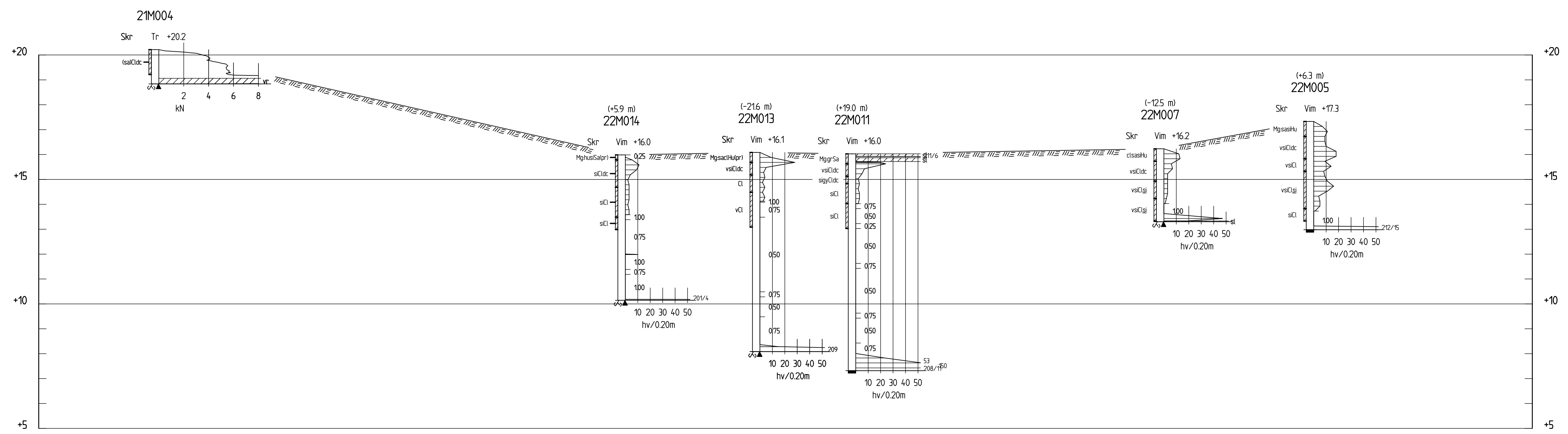
SYSTEM I PLAN: SWEREF 99 18 00  
SYSTEM I HÖJD: RH 2000

ANMÄRKNINGAR  
FÖR BORRPUNKTERS EXAKTA LÄGEN SE PLAN.



## SEKTION A-A

H 1: 100 L 1:1000



## SEKTION B-B

H 1: 100 L 1:1000

|     |                                      |            |
|-----|--------------------------------------|------------|
| A   | NYA SEKTIONER, KOMPL. UNDERSÖKNINGAR | 2022-08-24 |
| BET | ÄNDRNINGEN AVSEER                    | DATUM      |

# STENHAMRA EKERÖ KOMMUN



DRAG NR RITAD/KONSTRUERAD AV HANDLÄGGER  
00016 ANNOGENIC LERFREDENDAL

|       |                |               |
|-------|----------------|---------------|
| 20018 | A.NOSENKO      | J.FREUDENDAHL |
| UM    | UPPDRAGSLEDARE |               |

21-11-19 J.FREUDENDAHL

## EOTEKNIKA UNDERSÖKNINGAR

#### EKTIONER A-A, B-B

LA A1 NUMBER | BET

1:100, L=1:1000 | G-10-2-001 A

SKALA 1:1000

0 5 10 20 50 100

METER

#### SEKTIONER A-A, B-B

SKALA A1 NUMMER BET

H-1-100 | -1-1000 G-10-2-001 A

100 2 01 001-3,001-11

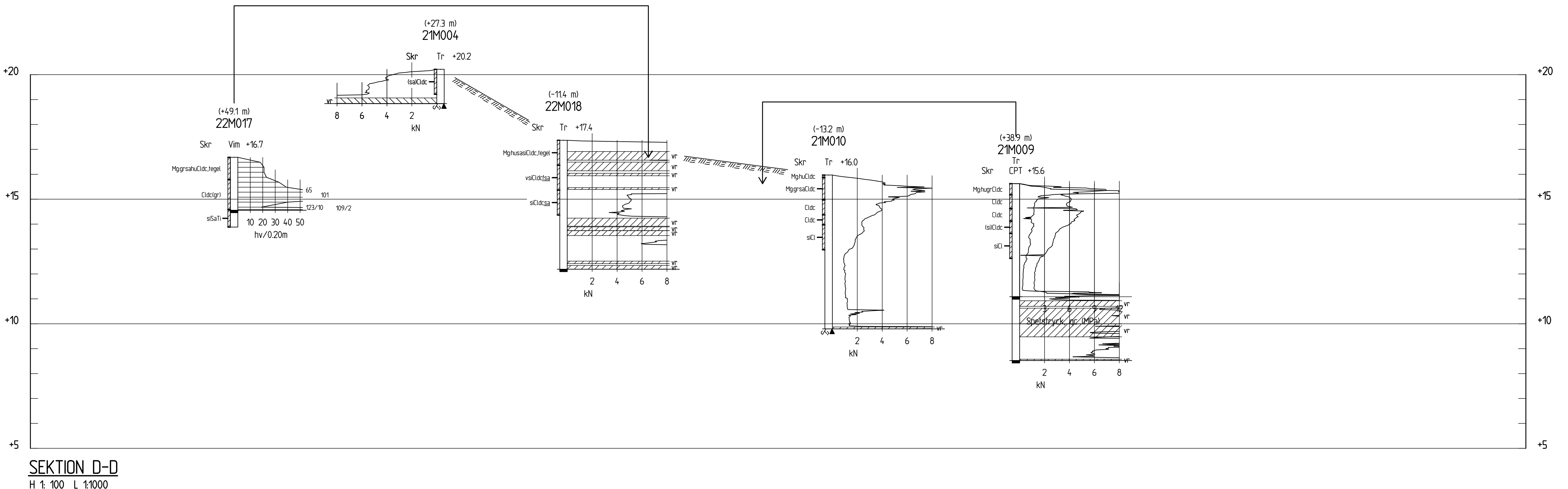
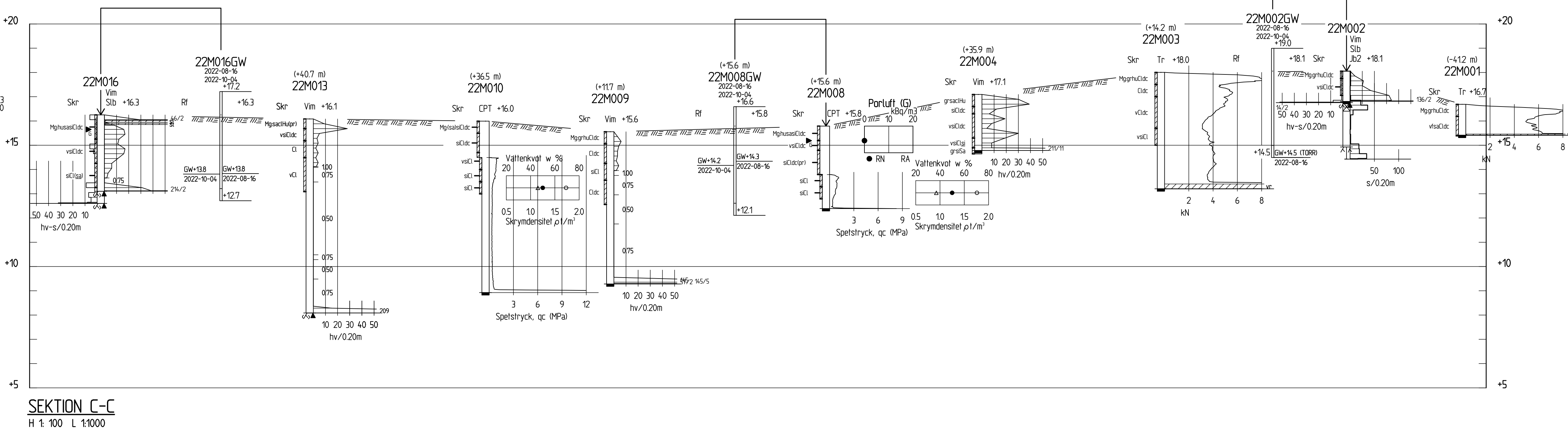
### TECKENFÖRKLARING

MARKYTA INTERPOLERAD  
MELLAN BORRPUNKTERNA

BETECKNINGAR ENLIGT SGF:S BETECKNINGSSYSTEM 2001:2  
OCH SS-EN 14688-1

KOORDINATSYSTEM  
SYSTEM I PLAN: SWEREF 99 18 00  
SYSTEM I HÖJD: RH 2000

ANMÄRKNINGAR  
FÖR BORRPUNKTERS EXAKTA LÄGEN SE PLAN.



|     |                                      |            |      |
|-----|--------------------------------------|------------|------|
| B   | RADONINMÄTNINGAR, GW-AVLÄSNINGAR     | 2022-10-04 | JF   |
| A   | NYA SEKTIONER, KOMPL. UNDERSÖKNINGAR | 2022-08-24 | JF   |
| BET | ANDRÖNGEN AVSER                      | DATUM      | SIGN |

STENHAMRA  
EKERO KOMMUN

**MITTA**

UPPDAG NR 2020018 RITAD/KONSTRUERAD AV A.NOSENKO HANDLÄGARE J.FREUDENDAHL  
DATUM 2021-11-19 UPPDAGADEARE J.FREUDENDAHL

GEOTEKNIKA UNDERSÖKNINGAR

SKALA 1:1000  
0 5 10 20 50 100  
METER

SEKTIONER C-C, D-D  
SKALA A1 NUMMER G-10-2-002 A  
H=1:100, L=1:1000 A

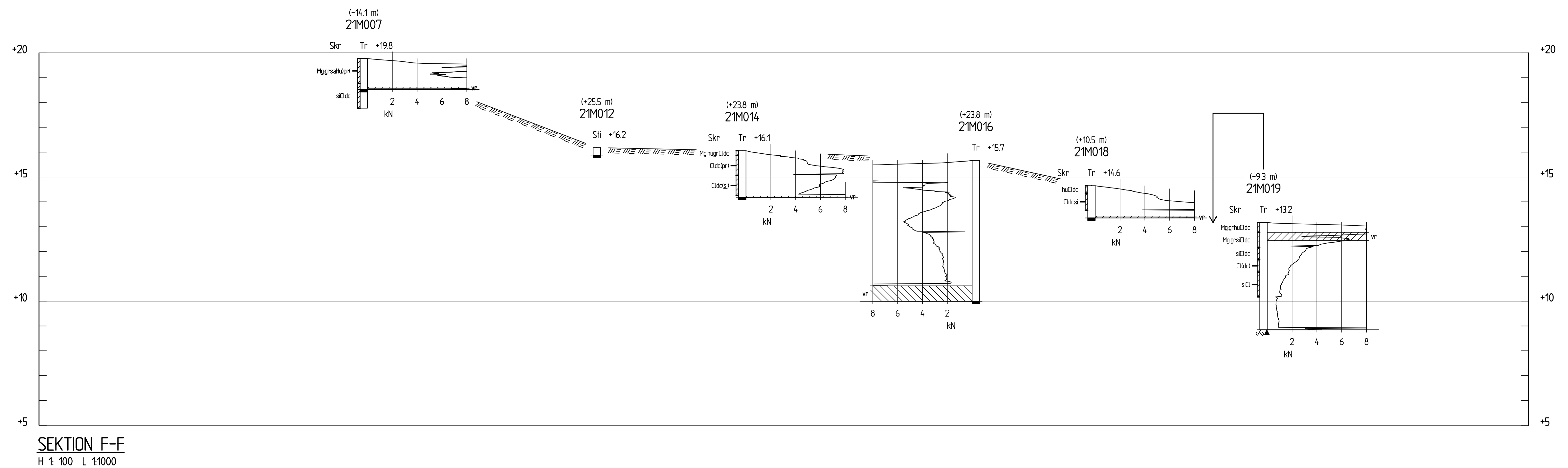
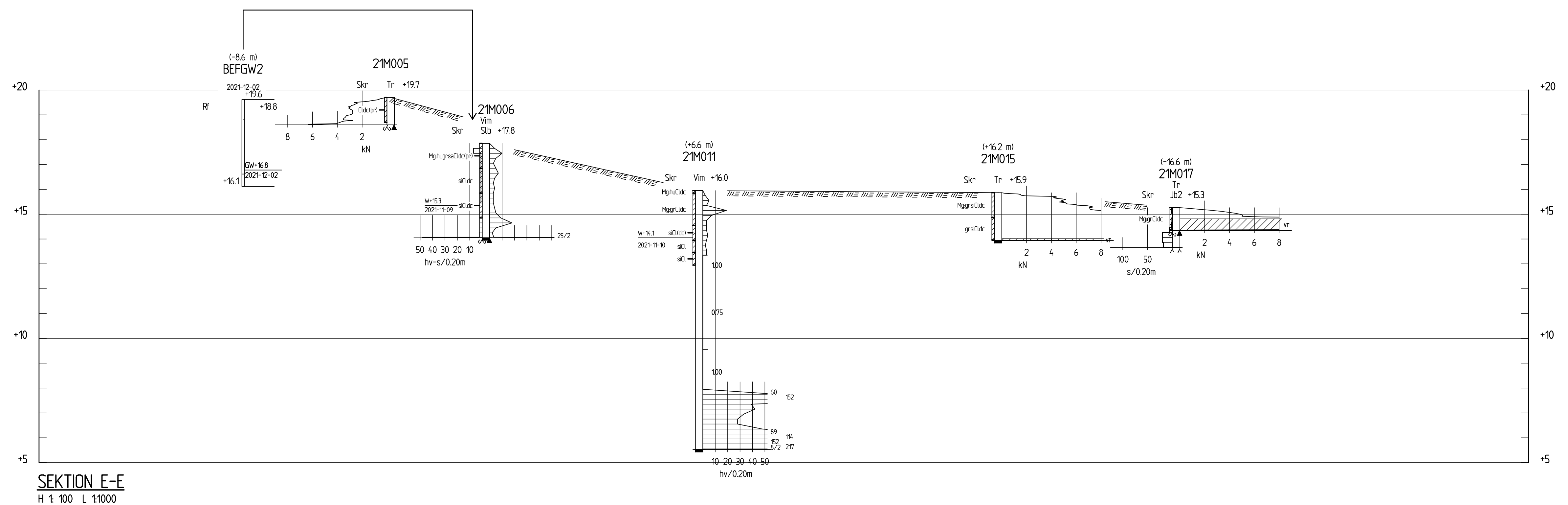
### TECKENFÖRKLARING

MÄRKTAN INTERPOLERAD  
MELLAN BORRPUNKTERNA

BETECKNINGAR ENLIGT SGF:S BETECKNINGSSYSTEM 2001:2  
OCH SS-EN 14688-1

KOORDINATSYSTEM  
SYSTEM I PLAN: SWEREF 99 18 00  
SYSTEM I HÖJD: RH 2000

ANMÄRKNINGAR  
FÖR BORRPUNKTERS EXAKTA LÄGEN SE PLAN.



|     |                                      |            |      |
|-----|--------------------------------------|------------|------|
| A   | NYA SEKTIONER, KOMPL. UNDERSÖKNINGAR | 2022-08-24 | JF   |
| BET | ANDRÖNING AV SER                     | DATUM      | SIGN |

STENHAMRA  
EKERO KOMMUN



UPPDÄGNING NR  
2020018 RITAD/KONSTRUERAD AV  
A.NOSENKO HANDLÄGGARE  
DATUM  
2021-11-19 UPPDRAGSLEDARE  
J.FREUDENDAHL

GEOTEKNIKA UNDERSÖKNINGAR

SKALA 1:1000  
0 5 10 20 50 100  
METER

SEKTIONER E-E, F-F  
SKALA A1 NUMMER  
H=1:100,L=1:1000 G-10-2-003 A  
I BET

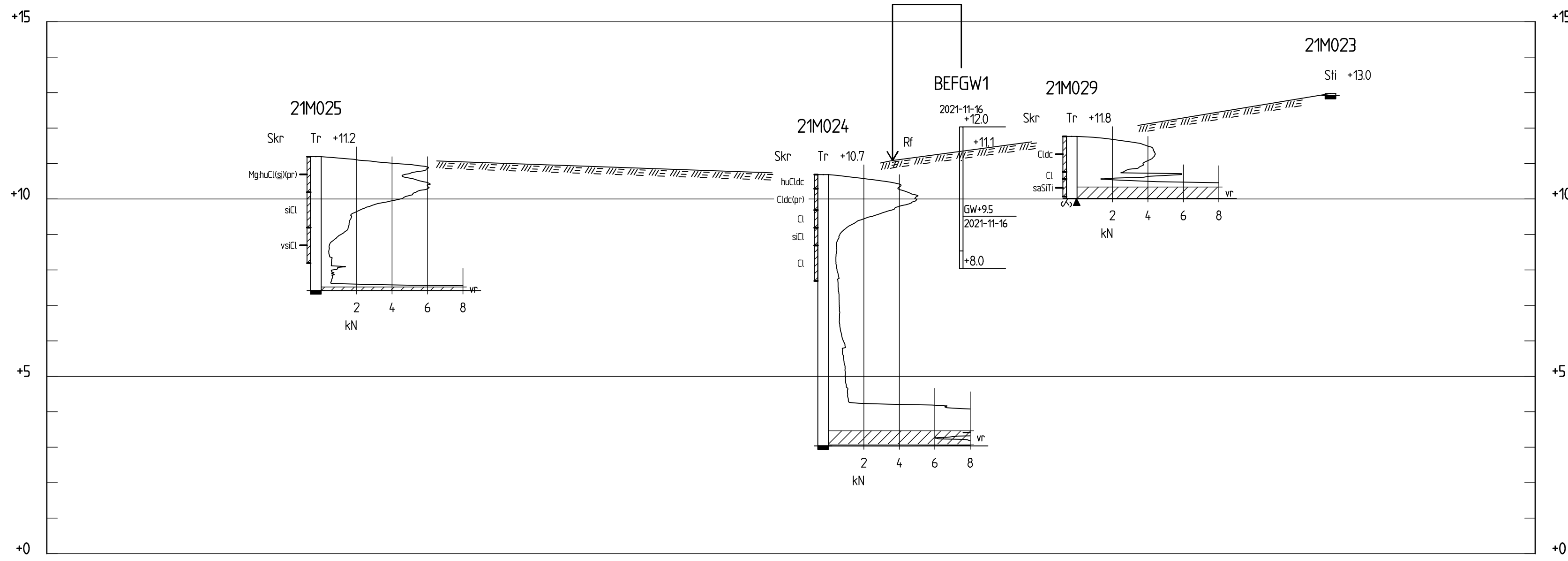
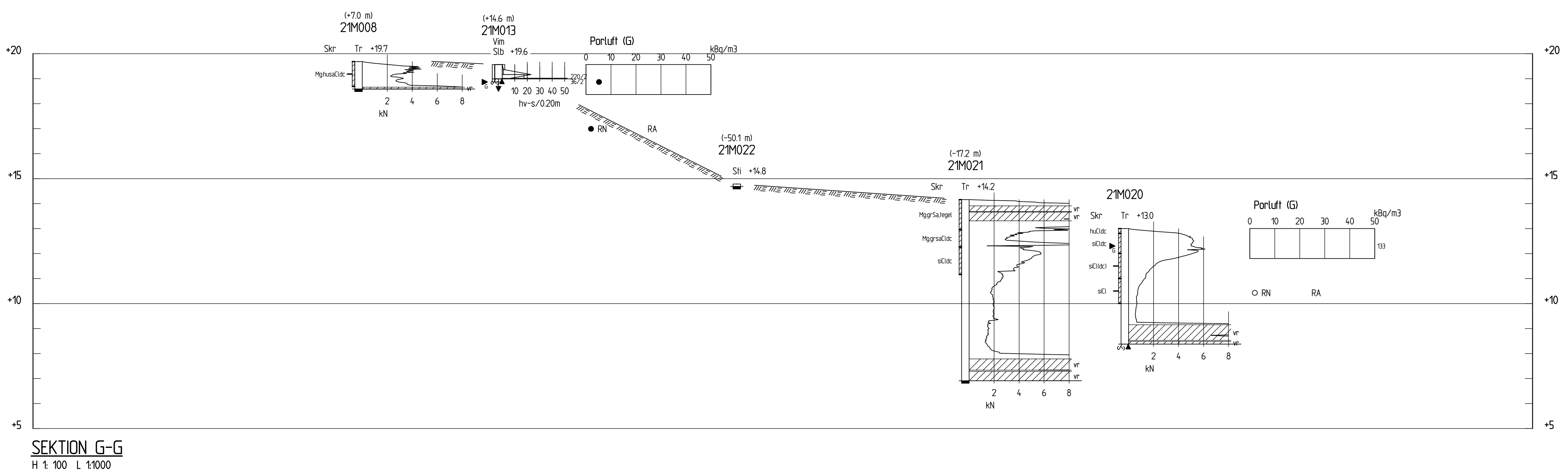
### TECKENFÖRKLARING

MARKYTA INTERPOLERAD  
MELLAN BORRPUNKTERNA

BETECKNINGAR ENLIGT SGF:S BETECKNINGSSYSTEM 2001:2  
OCH SS-EN 14688-1

KOORDINATSYSTEM  
SYSTEM I PLAN: SWEREF 99 18 00  
SYSTEM I HÖJD: RH 2000

ANMÄRKNINGAR  
FÖR BORRPUNKTERS EXAKTA LÄGEN SE PLAN.



SKALA 1:1000  
0 5 10 20 50 100  
METER

|     |                                      |            |      |
|-----|--------------------------------------|------------|------|
| A   | NYA SEKTIONER, KOMPL. UNDERSÖKNINGAR | 2022-08-24 | JF   |
| BET | ANDRINGEN AVSER                      | DATUM      | SIGN |

STENHAMRA  
EKERO KOMMUN



|                      |                                   |                              |
|----------------------|-----------------------------------|------------------------------|
| UPPDAG NR<br>2020018 | RITAD/KONSTRUERAD AV<br>A.NOSENKO | HANDELÄGARE<br>J.FREUDENDAHL |
| DATUM<br>2021-11-19  | UPPDAGSLEDARE<br>J.FREUDENDAHL    |                              |

GEOTEKNIKA UNDERSÖKNINGAR

SEKTIONER G-G, H-H

SKALA A1 NUMMER  
H=1:100, L=1:1000 | G-10-2-004 | A

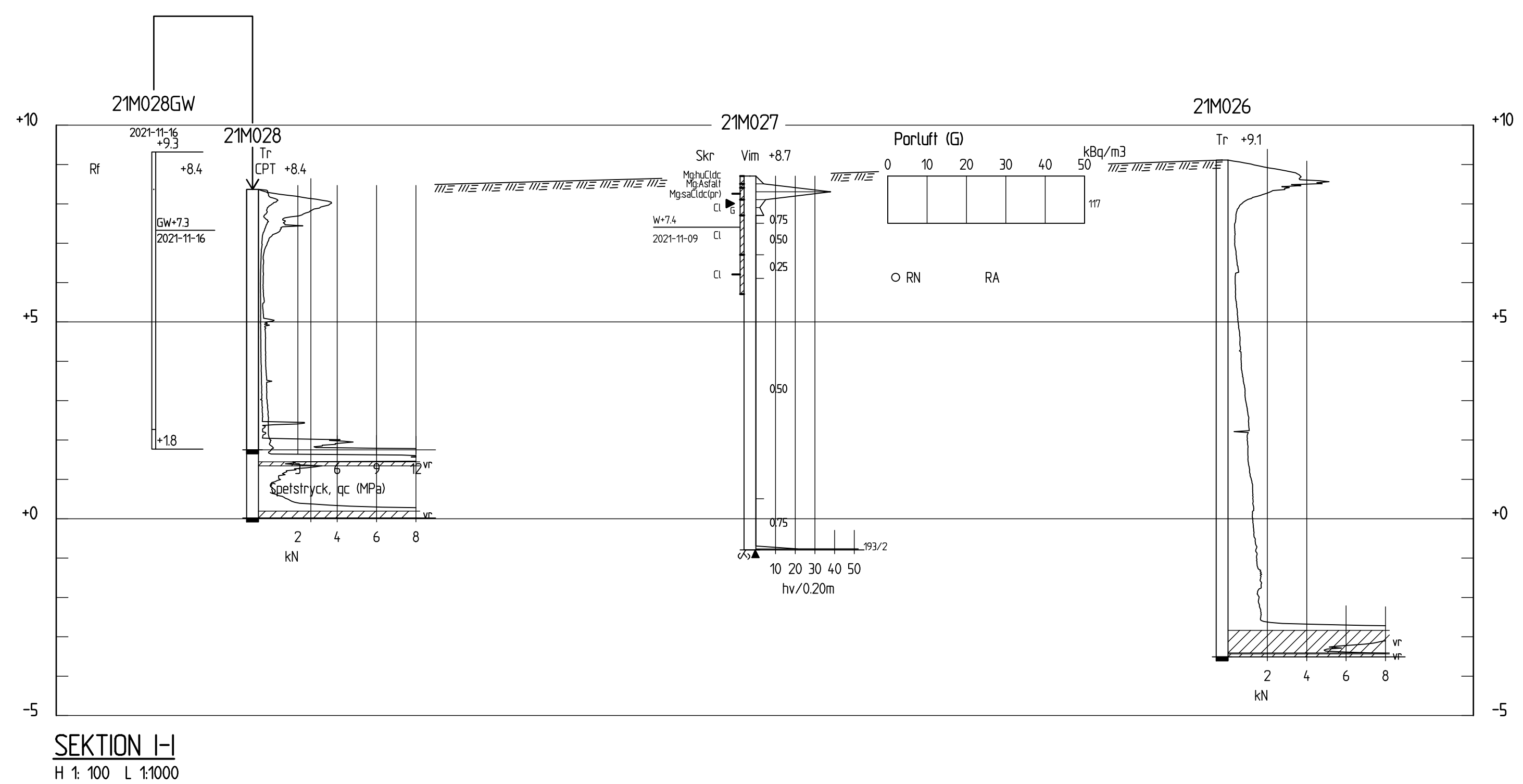
## TECKENFÖRKLARING

*MARKYTA INTERPOLERAD  
MELLAN BORRPLUNKTERNA*

# BETECKNINGAR ENLIGT SGF:S BETECKNINGSSYSTEM 2001:2 OCH SS-EN 14688-1

## KOORDINATSYSTEM

# ANMÄRKNINGAR FÖR BORRPUNKTERS EXAKTA LÄGEN SE PLAN.



## SEKTION I-I

H 1: 100 L 1:1000

BET ÄNDRINGEN AVSER DATUM SIGN

# STENHAMRA EKERÖ KOMMUN



|                              |  |                                     |
|------------------------------|--|-------------------------------------|
| UPPDRAF NR<br><b>2020018</b> | RITAD/KONSTRUERAD AV<br><b>A.NOSENKO</b> | HANDLÄGGARE<br><b>J.FREUDENDAHL</b> |
| DATUM<br><b>2022-08-24</b>   | UPPDRAFSLEDARE<br><b>J.FREUDENDAHL</b>   |                                     |

SKALA 1:1000

0 5 10 20 50 100  
METER

|                   |            |        |     |
|-------------------|------------|--------|-----|
| SKALA             | A1         | NUMMER | BET |
| H=1:100, L=1:1000 | G-10-2-005 |        |     |

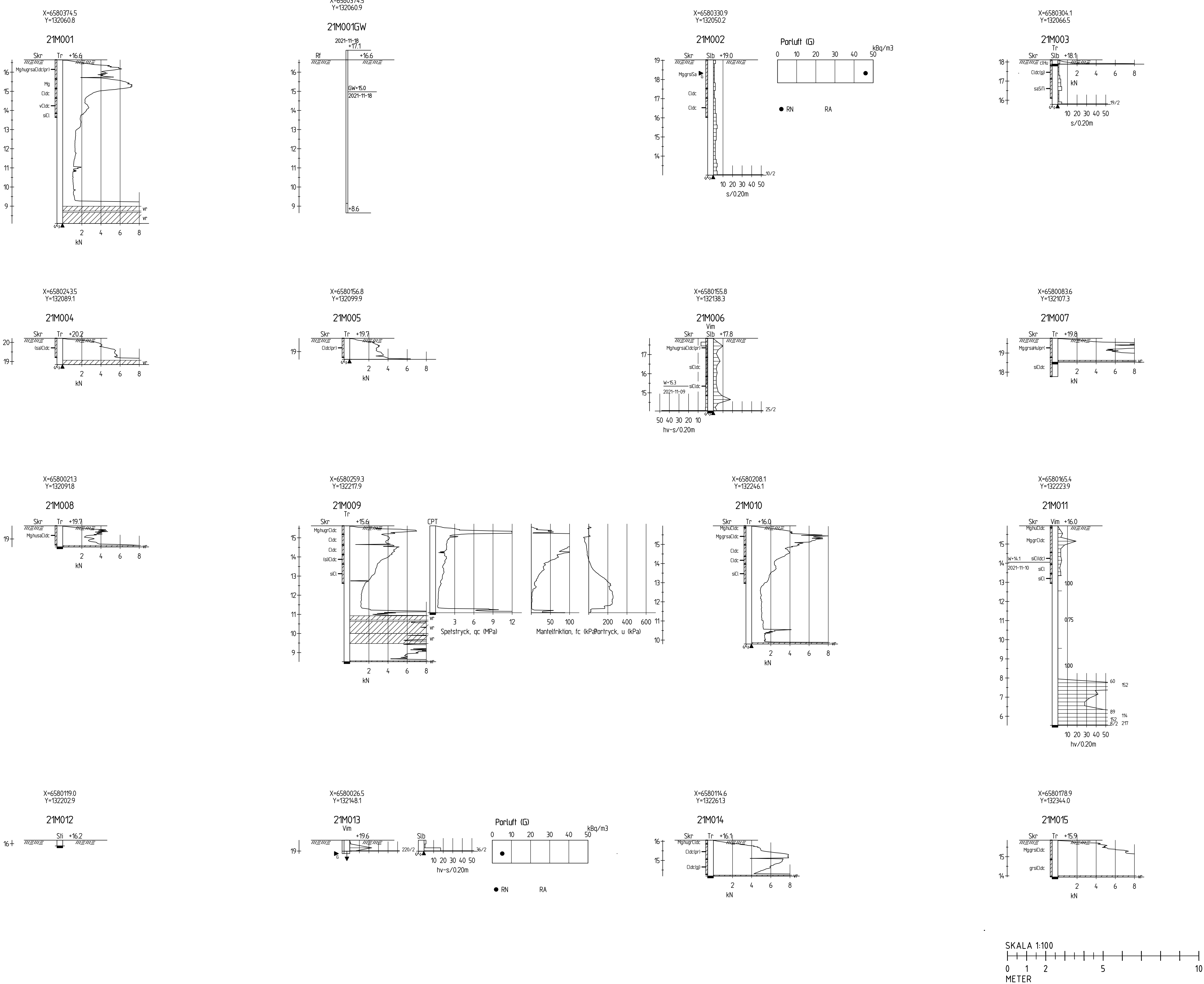
## TECKENFÖRKLARING

# BETECKNINGAR ENLIGT SGF:S BETECKNINGSSYSTEM 2001:2 OCH SS-EN 14688-1

## KOORDINATSYSTEM

SYSTEM I PLAN: SWEREF 99 18 00  
SYSTEM I HÖJD: RH 2000

ANMÄRKNINGAR  
FÖR BORRPUNKTERS EXAKTA LÄGEN SE PLAN.



## TECKENFÖRKLARING

BETECKNINGAR ENLIGT SGF-S BETECKNINGSSYSTEM 2001:2  
OCH SS-EN 14 688-1

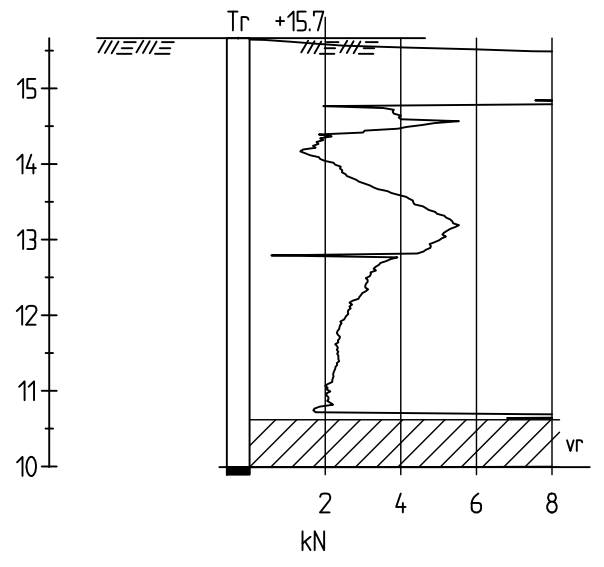
### KOORDINATSYSTEM

SYSTEM I PLAN: SWEREF 99 18 00  
SYSTEM I HOJD: RH 2000

ANMÄRKNINGAR  
FÖR BORRPUNKTERS EXAKTA LÄGEN SE PLAN.

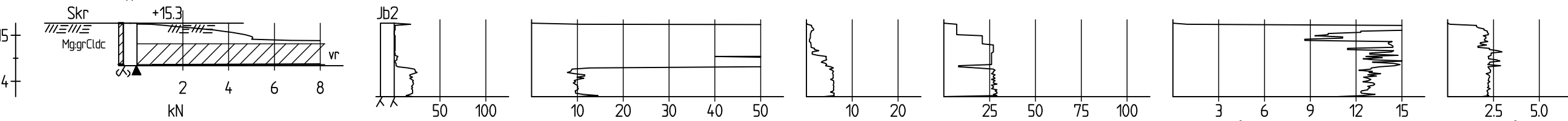
X=6580110.5  
Y=132355.3

21M016



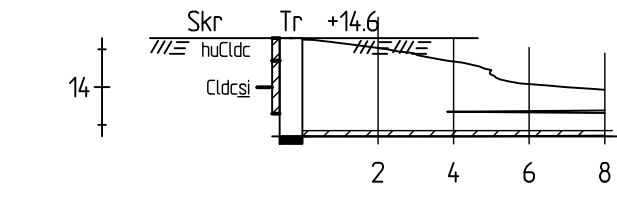
X=6580148.4  
Y=132416.8

21M017



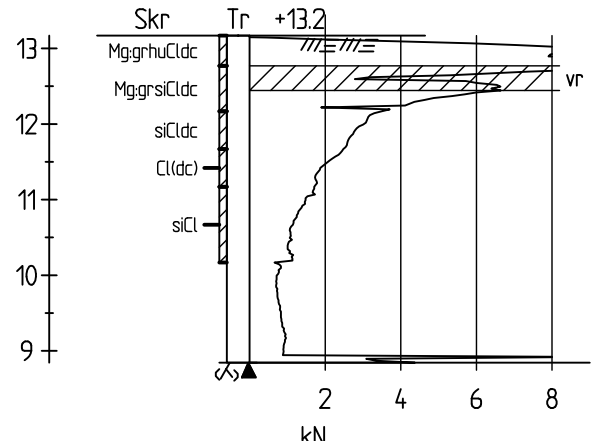
X=6580095.0  
Y=1324013

21M018



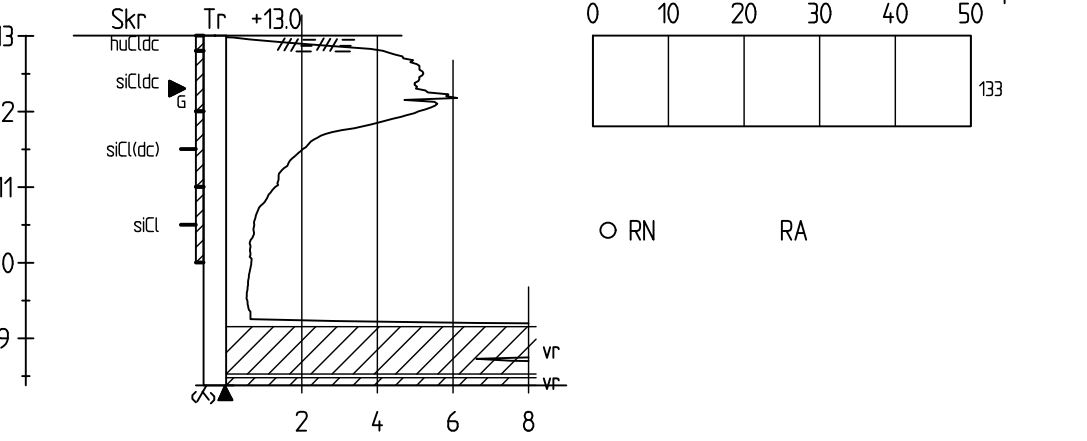
X=6580073.1  
Y=1324493

21M019



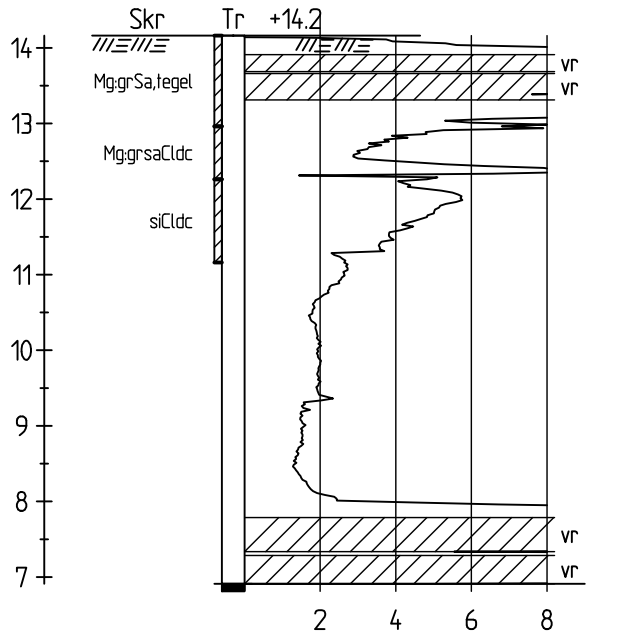
X=6580004.6  
Y=132398.0

21M020



X=6579986.4  
Y=1323333.3

21M021



X=6579957.6  
Y=1322405

21M022



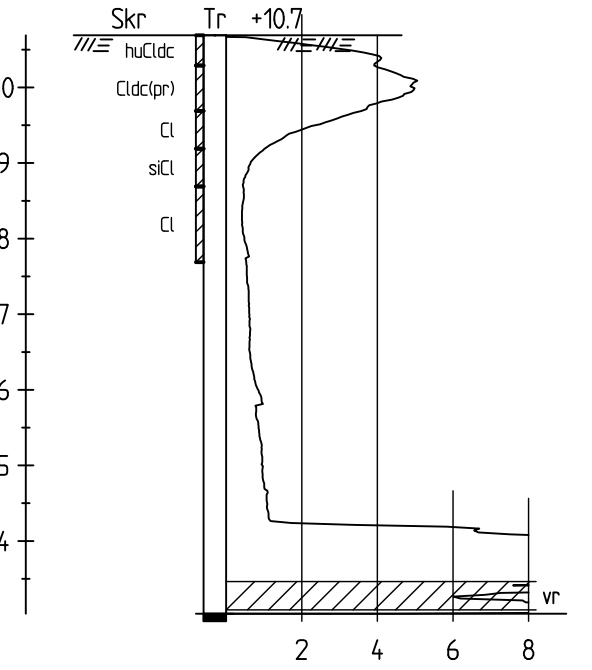
X=6579862.9  
Y=132355.2

21M023



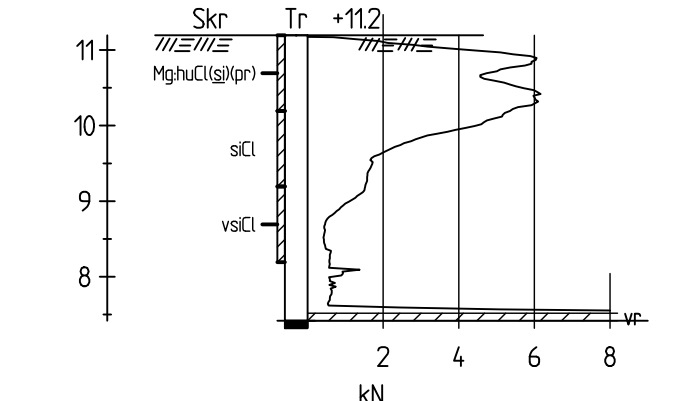
X=65797916  
Y=1322305

21M024



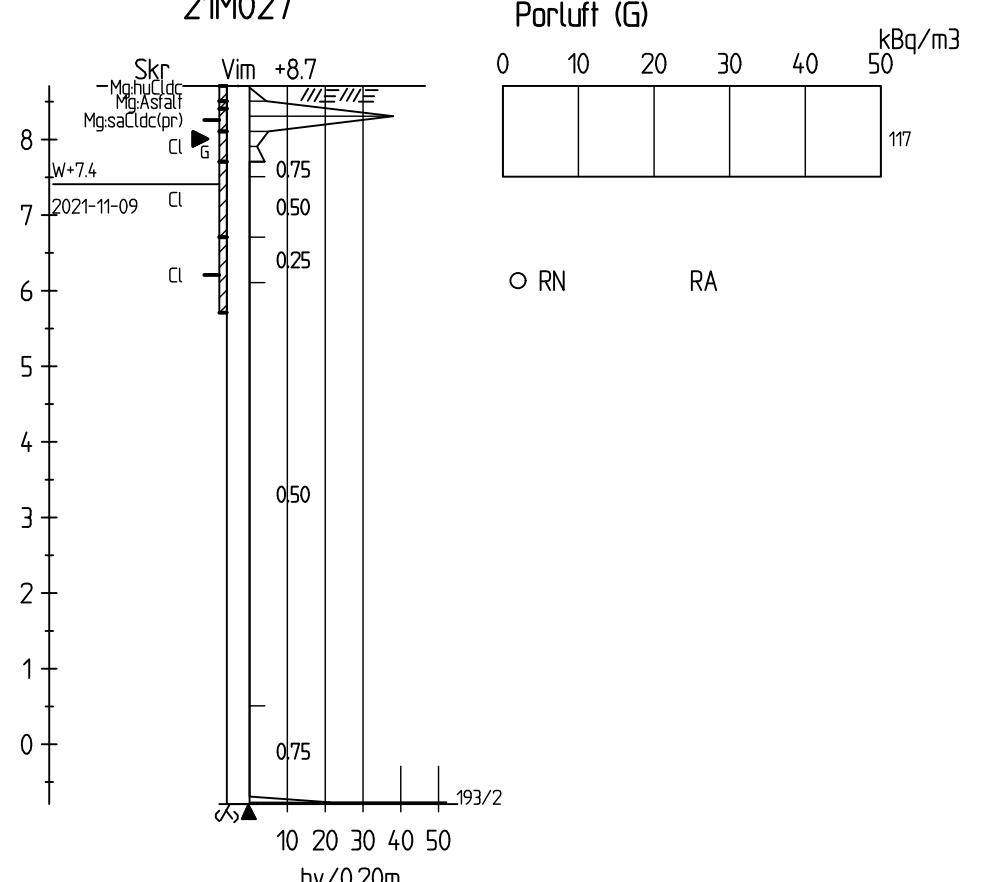
X=6579729.0  
Y=1321017

21M025



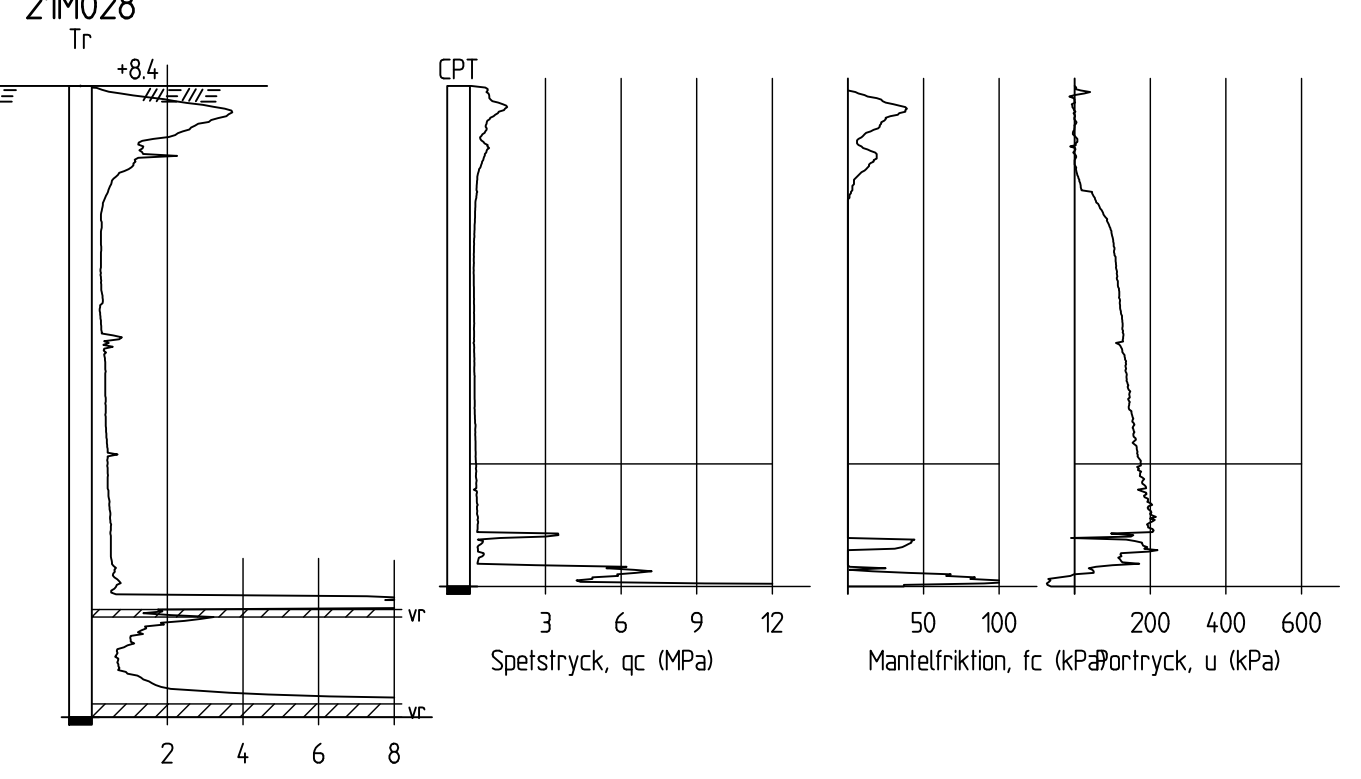
X=65795636  
Y=132154.0

21M027



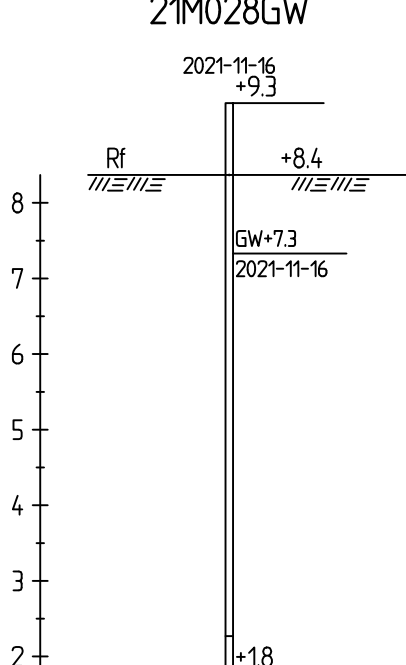
X=6579436.2  
Y=132146.2

21M028



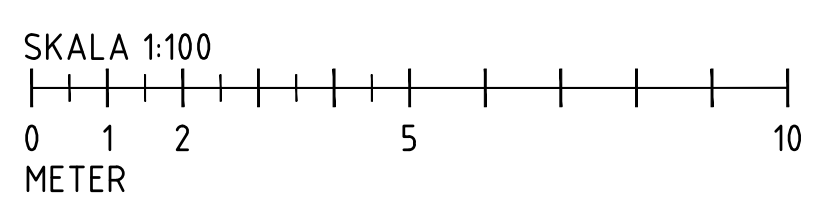
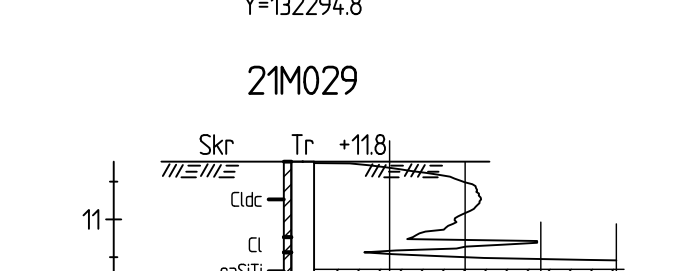
X=6579436.2  
Y=132146.2

21M028GW



X=6579819.7  
Y=132290.5

21M029



| BET | ÄNDRINGEN AVSER | DATUM | SIGN |
|-----|-----------------|-------|------|
|-----|-----------------|-------|------|

## STENHAMRA EKERO KOMMUN



UPPDAG NR 2020018 RITAD/KONSTRUERAD AV A.NOSENKO HANDELÄGARE J.FREUDENDAHL  
DATUM 2022-08-24 UPPDAGSLEDARE J.FREUDENDAHL

GEOTEKNIKA UNDERSÖKNINGAR

ENSTAKA BORRHÅL I SEKTION

SKALA A1 NUMMER G-10-2-007

## TECKENFÖRKLARING

X=65807727  
Y=1325016

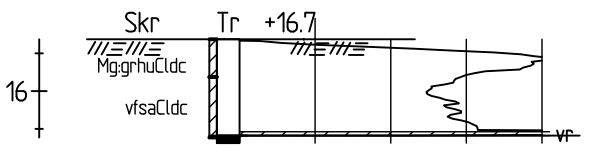
BETECKNINGAR ENLIGT SGF-S BETECKNINGSSYSTEM 2001:2  
OCH SS-EN 14 688-1

## KOORDINATSYSTEM

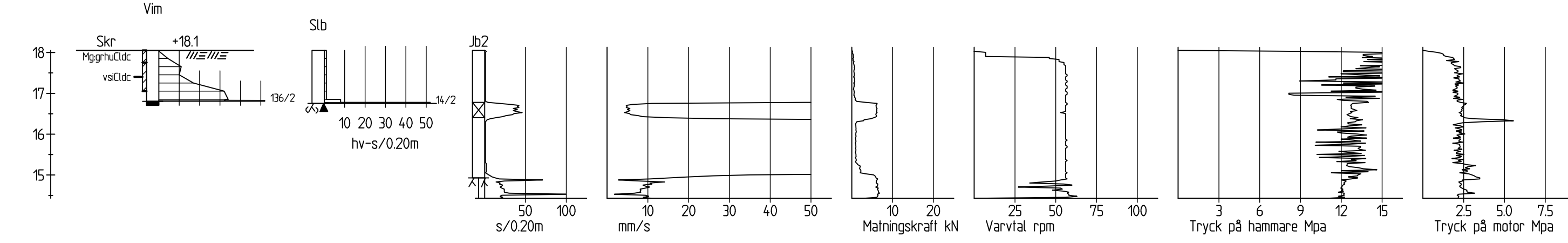
SYSTEM I PLAN: SWEREF 99 18 00  
SYSTEM I HOJD: RH 2000

ANMÄRKNINGAR  
FÖR BORRPUNKTERS EXAKTA LÄGEN SE PLAN.

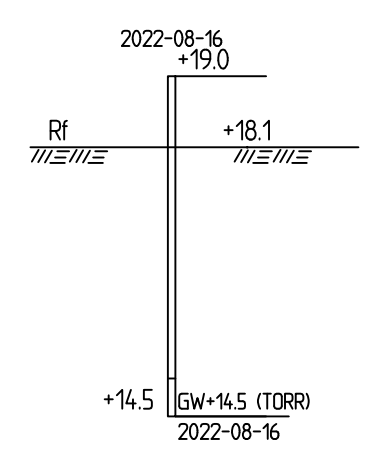
X=65807897  
Y=1325614  
22M001



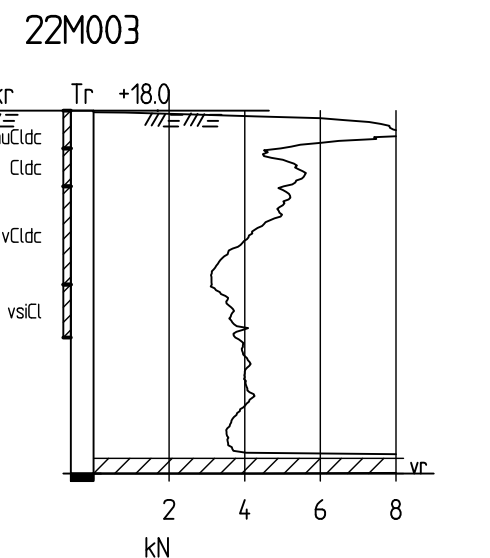
22M002



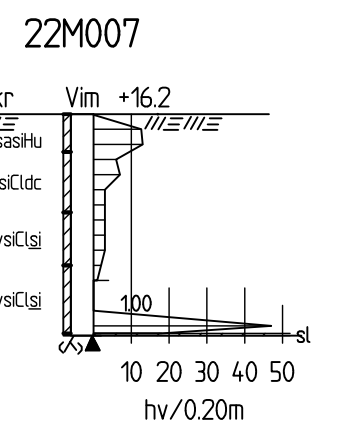
22M002GW



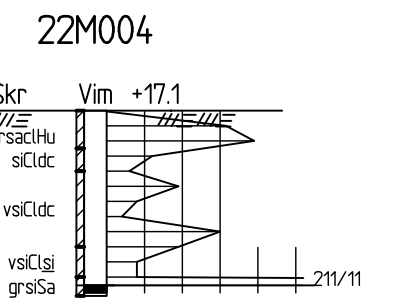
X=6580783  
Y=1324457



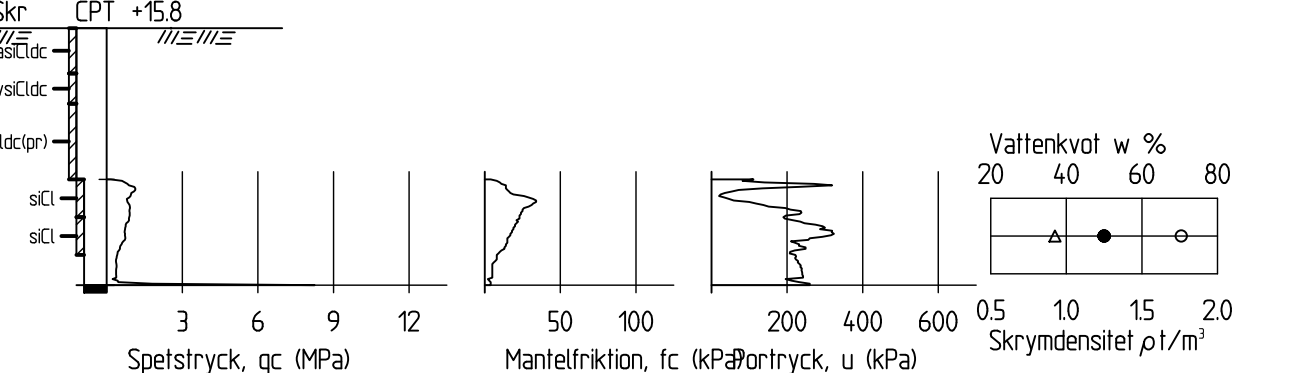
X=65805895  
Y=1322976



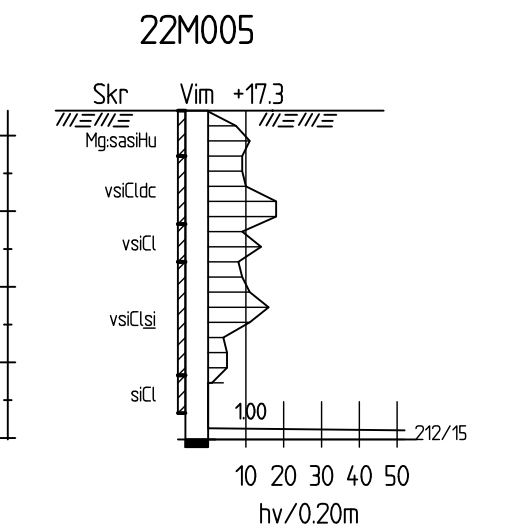
X=6580668.4  
Y=132385.4



22M008

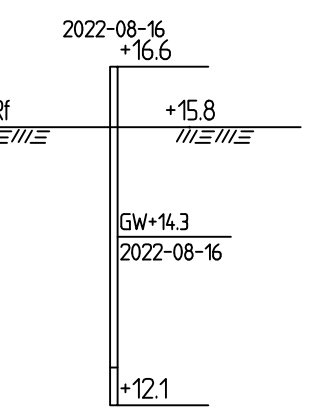


X=65806512  
Y=132310.6

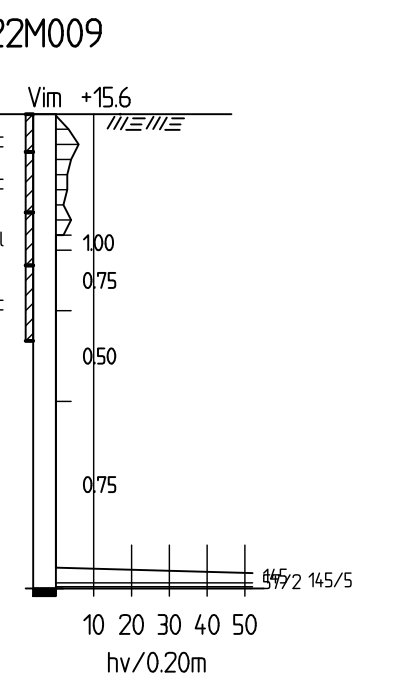


X=6580605.0  
Y=132365.9

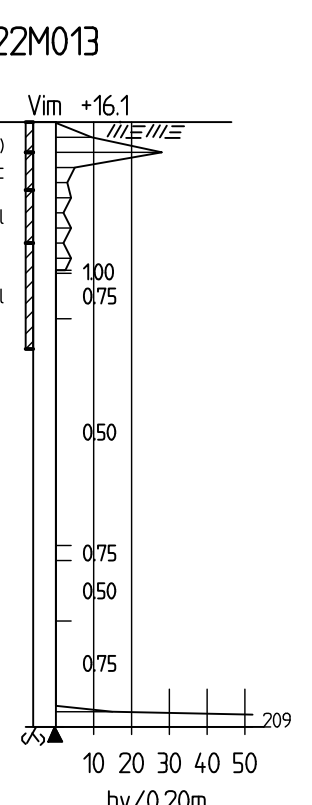
22M008GW



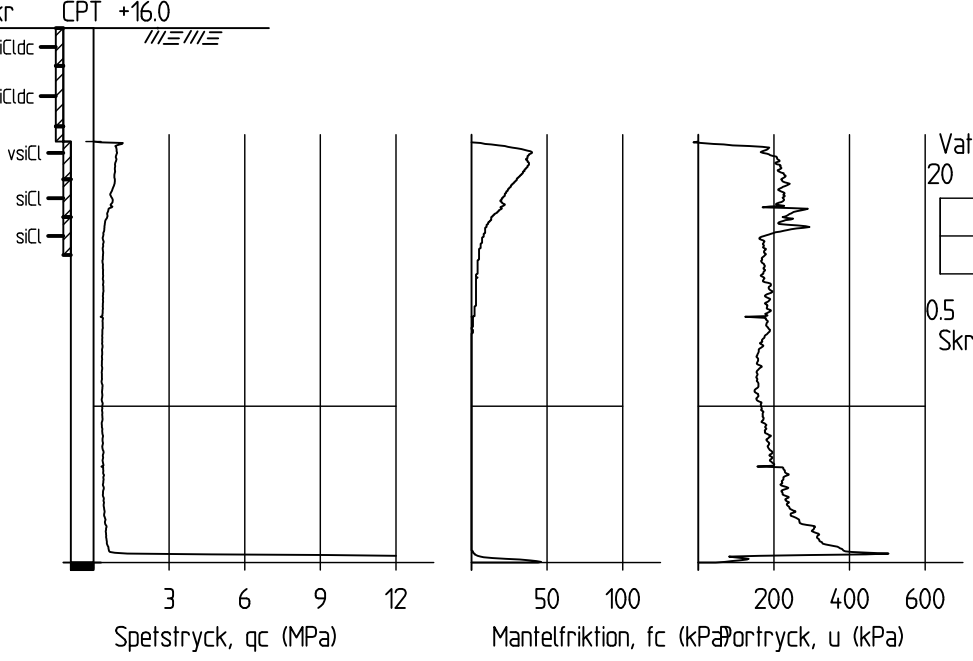
X=6580529.4  
Y=132320.1



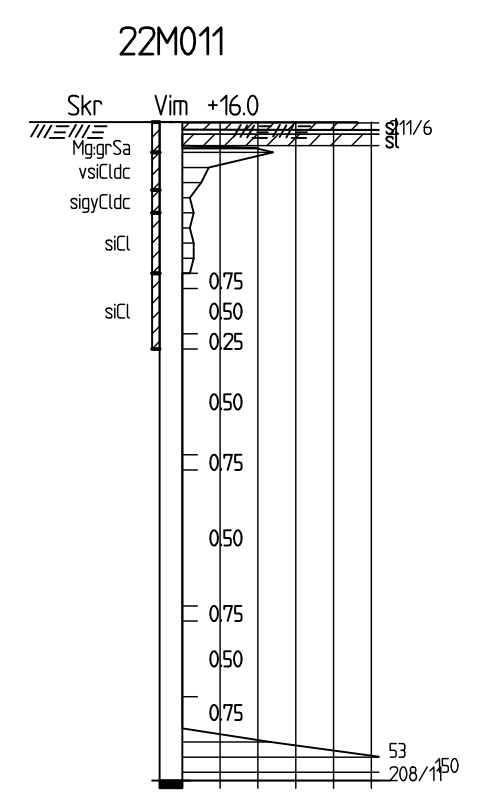
X=65804434  
Y=132226.4



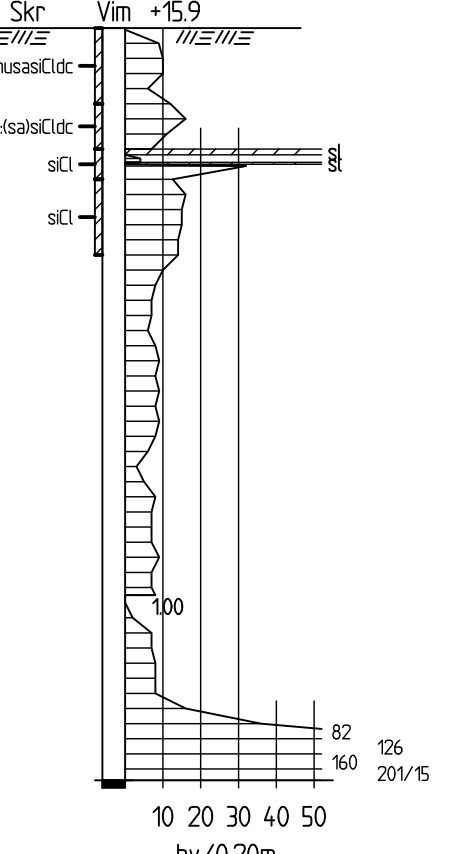
22M010



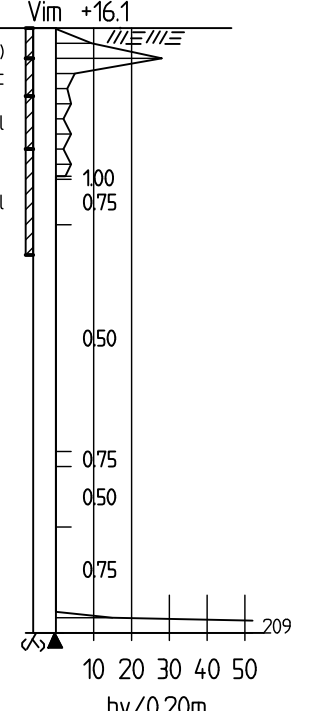
X=6580496.8  
Y=132209.8



22M012



22M013



SKALA 1:100  
0 1 2 5 10  
METER

STENHAMRA  
EKERO KOMMUN

**MITTA**

UPPDAGNR 2020018 RITAD/KONSTRUERAD AV A.NOSENKO J.FREUDENDAHL  
DATUM 2022-08-24 UPPDAGADEARE J.FREUDENDAHL

GEOTEKNIKA UNDERSÖKNINGAR

ENSTAKA BORRHÅL I SEKTION

SKALA A1 NUMMER G-10-2-008  
1:100 I BET

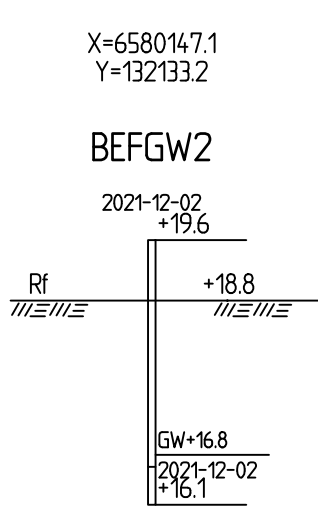
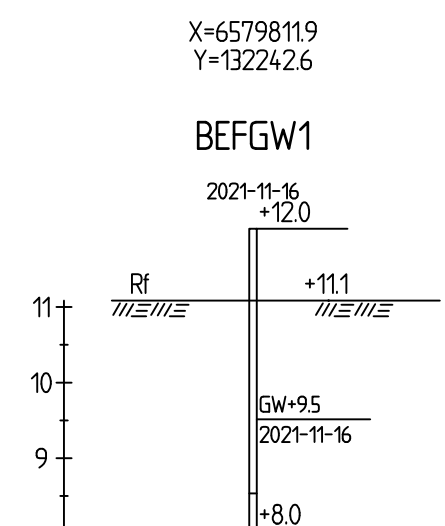
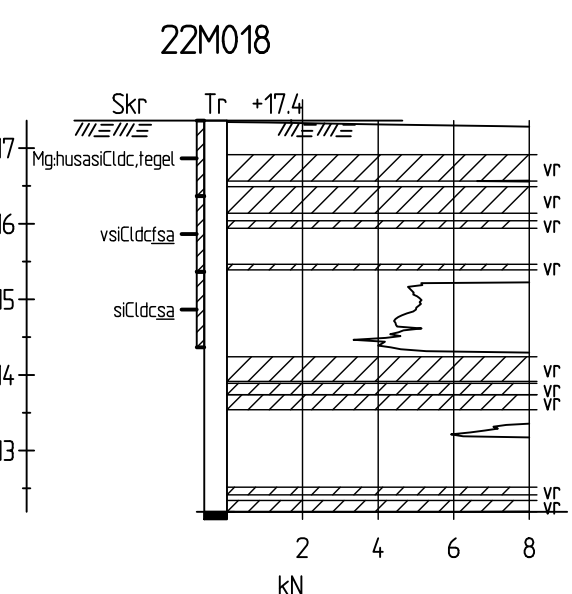
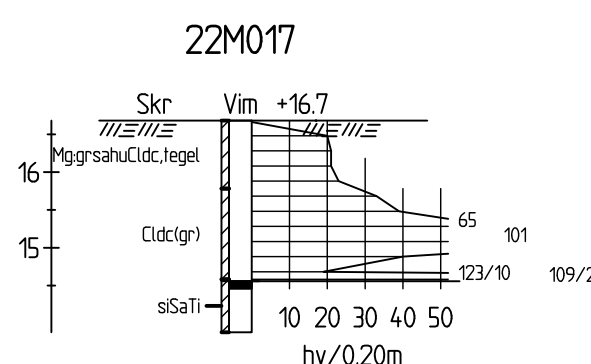
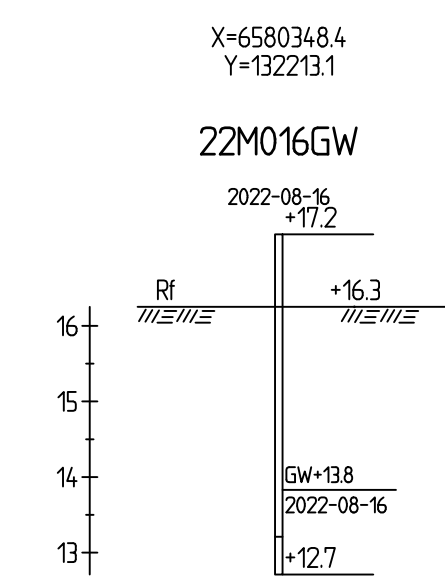
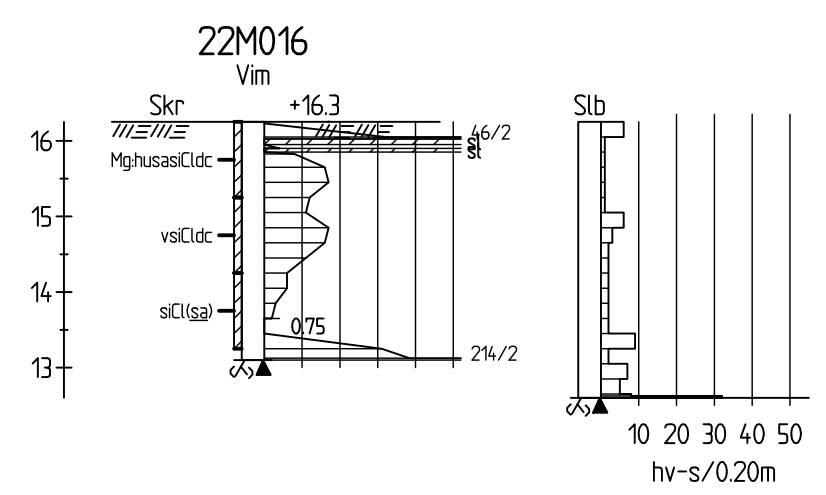
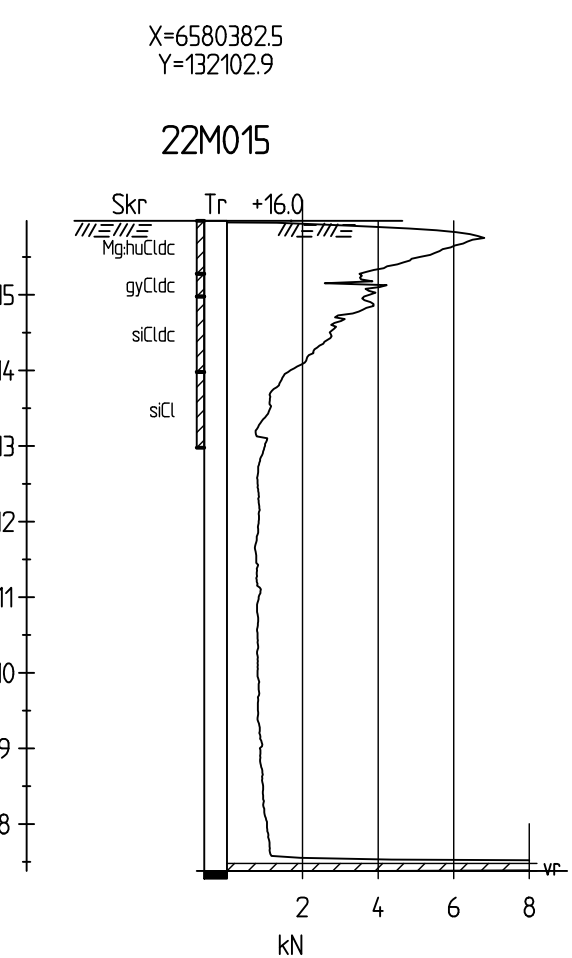
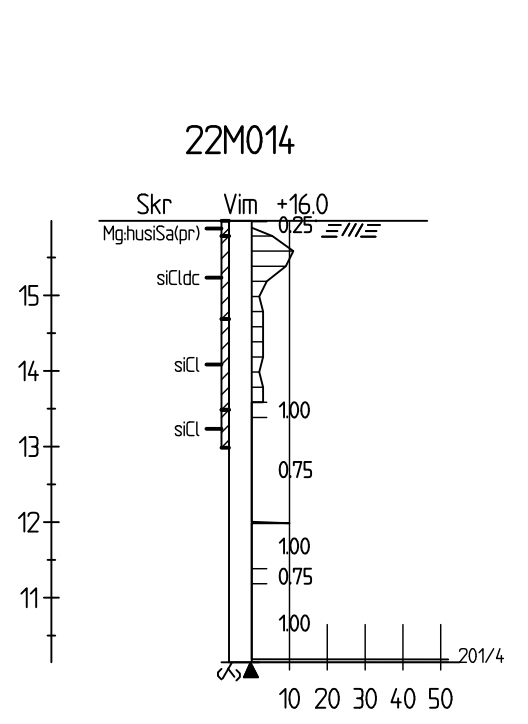
## TECKENFÖRKLARING

BETECKNINGAR ENLIGT SGF:S BETECKNINGSSYSTEM 2001:2  
CH SS-EN 14688-1

## KOORDINATSYSTEM

SYSTEM I PLAN: SWEREF 99 18 00  
SYSTEM I HÖJD: RH 2000

ANMÄRKNINGAR  
FÖR BORRPUNKTERS EXAKTA LÄGEN SE PLAN.



| BET | ÄNDRINGER AVSER | DATUM | SIGN |
|-----|-----------------|-------|------|
|-----|-----------------|-------|------|

# STENHAMRA EKERÖ KOMMUN

|   |  |                                     |
|---|--|-------------------------------------|
|  | <b>MITTA</b>                             |                                     |
| UPPDRAF NR<br><b>2020018</b>  | RITAD/KONSTRUERAD AV<br><b>A.NOSENKO</b> | HANDLÄGGARE<br><b>J.FREUDENDAHL</b> |
| DATUM<br><b>2022-08-24</b>  | UPPDRAFGSLEDARE<br><b>J.FREUDENDAHL</b>  |                                     |

## GEOTEKNIKA UNDERSÖKNINGAR

SKALA 1:100

0 1 2 5 10

METER

## ENSTAKA BORRHÅL I SEKTION

SKALA A1 NUMMER  
1:100 G-10-2-009



Västbergavägen 24, 126 30 HÄGERSTEN

## Redovisning av rutinundersökning på stördta prover



Ackrediterat  
Prövning  
ISO/IEC 17025

Ver. 1

2021-11-17

RAPPORT S 210935

Utfärdad av ackrediterat laboratorium

| Beställare:           | Mitta AB          | Objekt:   | Stenhamra                |                                      |                  | Provtagningsdatum:                                  | 211109-10                                |   |            |
|-----------------------|-------------------|---|--------------------------|--------------------------------------|------------------|---|--|---|------------|
| Ansvarig geotekniker: | Johan Freudendahl | Uppdrag Nr.   | 2020018                  |                                      |                  | Ankomstdatum:                                       | 211110                                   |   |            |
| Adress:               | Västbergavägen 24 | Provtagare**  | Extern                   |                                      |                  | Analysdatum:  | 211117                                   |   |            |
| Borrhåll              | Djup m            | Okulär klassificering <sup>1</sup>  | Förkortning <sup>2</sup> | Mtrl typ / tjälf. Klass <sup>3</sup> | Prov. utrustning | Skrymdensitet CPT p <sup>4</sup> , t/m <sup>3</sup> | Vattenkvot w <sub>N</sub> <sup>5</sup> % | Konflygräns w <sub>L</sub> <sup>6</sup> % | Anmärkning |
| 21M001                | 0,0 - 1,0         | FYLLNING av humushaltig grusig sandig torrskorpelera med enstaka växtrester | Mg[hugrsaClc (pr)]       | 5B/4                                 | Skr              |   |  |   |            |
|                       | 2,0 - 3,0         | Brun varvig TORRSKORPELERA  | vClc                     | 4B/3                                 | Skr              |   |  |   |            |
| 21M002                | 2,0 - 3,0         | Brun TORRSKORPELERA   | Clc                      | 4B/3                                 | Skr              |   |  |   |            |
| 21M003                | 0,3 - 1,0         | Brun TORRSKORPELERA med tunna siltskikt                                     | Clc (si)                 | 4B/3                                 | Skr              |   |  |   |            |
|                       | 1,0 - 2,0         | Grå sandig SILTMORÄN  | saSiTi                   | 5A/4                                 | Skr              |   |  |   |            |
| 21M004                | 0,0 - 1,0         | Brun något sandig TORRSKORPELERA  | (sa)Clc                  | 4B/3                                 | Skr              |   |  |   |            |
| 21M005                | 0,0 - 1,0         | Brun TORRSKORPELERA med växtrester  | Clc (pr)                 | 4B/3                                 | Skr              |   |  |   |            |
| 21M006                | 0,0 - 1,0         | FYLLNING av humushaltig grusig sandig torrskorpelera med enstaka växtrester | Mg[hugrsaClc (pr)]       | 5B/4                                 | Skr              |   |  |   |            |
|                       | 2,0 - 3,0         | Brun siltig TORRSKORPELERA  | siClc                    | 5A/4                                 | Skr              |   |  |   |            |
| 21M007                | 0,0 - 1,0         | FYLLNING av grusig sandig humusjord, rikligt med växtrester                 | Mg[grsaHu]pr()           | 6A/3                                 | Skr              |   |  |   |            |
| 21M008                | 0,0 - 1,0         | FYLLNING av humushaltig grusig sandig torrskorpelera                        | Mg[husaClc]              | 5B/4                                 | Skr              |   |  |   |            |
| 21M009                | 1,5 - 2,0         | Brun något siltig TORRSKORPELERA  | (si)Clc                  | 4B/3                                 | Skr              |   |  |   |            |
|                       | 2,0 - 3,0         | Brun siltig LERA  | siCl                     | 5A/4                                 | Skr              |   |  |   |            |
| 21M010                | 0,1 - 1,0         | FYLLNING av grusig sandig torrskorpelera                                    | Mg[grsaClc]              | 4B/3                                 | Skr              |   |  |   |            |
|                       | 1,6 - 2,0         | Brun TORRSKORPELERA   | Clc                      | 4B/3                                 | Skr              |   |  |   |            |

\*Ej ackrediterad metod, \*\*Vid extern provtagning åligger provtagningsförfarandet hos kund. Mitta följer SS-EN 932-1 vid provtagning om ej annat angivits på aktuell rapport

Denna rapport får endast återges i sin helhet, om inte utfärdande laboratorium i förväg skriftligen godkänt annat. Resultat avser endast den provade mängden

Mätsäkerhet återfinns på <https://mitta.fi/wp-content/uploads/2020/03/Matosakerhet-SHOLMLLA.pdf>Enligt: <sup>1</sup>SS-EN ISO 14688-1, -2 | <sup>2</sup>SGF Beteckningssystem 2016 | <sup>3</sup>AMA Anläggning 17 | <sup>4</sup>SS-EN IS 17892-2:2014 | <sup>5</sup>SS-EN ISO 17892-1:2014 | <sup>6</sup>SS-EN ISO 17892-12:2018 med hänsyn till SGF N 1:2018\*

Utförd av: Lina J.

Granskad av: Maria G.

**Redovisning av rutinundersökning på stördta prover**

| Beställare:     | Mitta Stockholm   |  | Projekt:                 | Stenhamra                               |                       | Provtagningsdatum:  | 220815-16                                      |   |
|-----------------|-------------------|--|--------------------------|---|-----------------------|---|--|---|
| Projektansvarig | Johan Freudendahl |  | Projekt nr.              | 2020018                                 |                       | Ankomstdatum:   | 220825   |   |
| Adress:         | Västbergavägen 24 |  | Provtagare**             | Mitta AB                                |                       | Analysdatum:  | 220825   |   |
| Borrhåll        | Djup<br>m         | Okulär klassificering* <sup>1</sup>                  | Förkortning <sup>2</sup> | Mtrl typ /<br>tjälf. Klass <sup>3</sup> | Provts.<br>utrustning | Skrymdensitet<br>CPT<br>p <sup>4</sup> , t/m <sup>3</sup> | Vattenkvot<br>w <sub>N</sub> <sup>5</sup><br>% | Konflygräns<br>w <sub>L</sub> <sup>6</sup><br>% |
| 22M002          | 0,30 - 1,00       | Gråbrun varvig siltig TORRSKORPELERA                 | vsiCl dc                 | 5A/4                                    | Skr                   |   |  |   |
| 22M006          | 0,80 - 1,60       | Gråbrun varvig siltig TORRSKORPELERA                 | vsiCl dc                 | 5A/4                                    | Skr                   |   |  |   |
|                 | 1,60 - 2,10       | Gråbrun varvig siltig LERA                           | vsiCl                    | 5A/4                                    | Skr                   |   |  |   |
|                 | 2,10 - 3,00       | Gråbrun siltig LERA                                  | siCl                     | 5A/4                                    | Skr                   |   |  |   |
| 22M008          | 0,00 - 0,60       | FYLLNING av humushaltig sandig siltig TORRSKORPELERA | Mg[husasiCl dc]          | 5B/4                                    | Skr                   |   |  |   |
|                 | 0,60 - 1,00       | Gråbrun varvig siltig TORRSKORPELERA                 | vsiCl dc                 | 5A/4                                    | Skr                   |   |  |   |
|                 | 1,00 - 2,00       | Gråbrun siltig TORRSKORPELERA med enstaka växtdelar  | siCl dc (pr)             | 5A/4                                    | Skr                   |   |  |   |
|                 | 2,00 - 2,50       | Gråbrun siltig LERA                                  | siCl                     | 5A/4                                    | Skr                   |   |  |   |
|                 | 2,50 - 3,00       | Gråbrun siltig LERA                                  | siCl                     | 5A/4                                    | Skr                   | 1,76  | 37,4   | 50,4  |
| 22M010          | 0,00 - 0,50       | FYLLNING av något sandig siltig TORRSKORPELERA       | Mg[(sa)siCl dc]          | 5A/4                                    | Skr                   |   |  |   |
|                 | 0,50 - 1,30       | Gråbrun rostfläckig siltig TORRSKORPELERA            | siCl dc                  | 5A/4                                    | Skr                   |   |  |   |
|                 | 1,30 - 2,00       | Gråbrun varvig siltig LERA                           | vsiCl                    | 5A/4                                    | Skr                   |   |  |   |
|                 | 2,00 - 2,50       | Gråbrun siltig LERA                                  | siCl                     | 5A/4                                    | Skr                   |   |  |   |
|                 | 2,50 - 3,00       | Grå siltig LERA                                      | siCl                     | 5A/4                                    | Skr                   | 1,73  | 46,4   | 50,0  |
| 22M012          | 0,00 - 1,00       | FYLLNING av humushaltig sandig siltig TORRSKORPELERA | Mg[husasiCl dc]          | 5B/4                                    | Skr                   |   |  |   |

\*Ej ackrediterad metod, \*\*Vid extern provtagning åligger provtagningsförfarandet hos kund. Mitta följer SS-EN 932-1 vid provtagning om ej annat angivits på aktuell rapport

Denna rapport får endast återges i sin helhet, om inte utfärdande laboratorium i förväg skriftligen godkänt annat. Resultat avser endast den provade mängden

Utförd av: **MN** Granskad av: **LJ**Måtosäkerhet återfinns på <https://mitta.fi/wp-content/uploads/2020/03/Matosakerhet-SHOLMLLA.pdf>Enligt: 'SS-EN ISO 14688-1, -2 |<sup>2</sup>SGF Beteckningssystem 2016 |<sup>3</sup>AMA Anläggning 17 |<sup>4</sup>SS-EN IS 17892-2:2014 |<sup>5</sup>SS-EN ISO 17892-1:2014 |<sup>6</sup>SS-EN ISO 17892-12:2018 med hänsyn till SGF N 1:2018|

Provningsansvarig:

## Redovisning av rutinundersökning på stördta prover

| Beställare:     | Mitta Stockholm   | Projekt:  | Stenhamra                |                                      | Provtagningsdatum: | 220815-16   |  |            |
|-----------------|-------------------|---|--------------------------|--------------------------------------|--------------------|---|--|------------|
| Projektansvarig | Johan Freudendahl | Projekt nr.   | 2020018                  |                                      | Ankomstdatum:      | 220825  |  |            |
| Adress:         | Västbergavägen 24 | Provtagare**  | Mitta AB                 |                                      | Analysdatum:       | 220825  |  |            |
| Borrhåll        | Djup m            | Okulär klassificering* <sup>1</sup>                       | Förkortning <sup>2</sup> | Mtrl typ / tjälf. Klass <sup>3</sup> | Provts. utrustning | Skrymdensitet CPT p <sup>4</sup> , t/m <sup>3</sup> | Vattenkvot w <sub>N</sub> <sup>5</sup> % Konflygräns w <sub>L</sub> <sup>6</sup> % | Anmärkning |
|                 | 1,00 - 1,60       | FYLLNING av något sandig siltig TORRSKORPELERA            | Mg[(sa)siClc]            | 5A/4                                 | Skr                |   |  |            |
|                 | 1,60 - 2,00       | Gråbrun siltig LERA                                       | siCl                     | 5A/4                                 | Skr                |   |  |            |
|                 | 2,00 - 3,00       | Gråbrun siltig LERA                                       | siCl                     | 5A/4                                 | Skr                |   |  |            |
| 22M014          | 0,00 - 0,20       | FYLLNING av humushaltig siltig SAND med enstaka växtdelar | Mg[husiSa (pr)]          | 5B/4                                 | Skr                |   |  |            |
|                 | 0,20 - 1,30       | Gråbrun siltig TORRSKORPELERA                             | siClc                    | 5A/4                                 | Skr                |   |  |            |
|                 | 1,30 - 2,50       | Gråbrun siltig LERA                                       | siCl                     | 5A/4                                 | Skr                |   |  |            |
|                 | 2,50 - 3,00       | Gråbrun siltig LERA                                       | siCl                     | 5A/4                                 | Skr                |   |  |            |
| 22M016          | 0,00 - 1,00       | FYLLNING av humushaltig sandig siltig TORRSKORPELERA      | Mg[husasiClc]            | 5B/4                                 | Skr                |   |  |            |
|                 | 1,00 - 2,00       | Gråbrun varvig siltig TORRSKORPELERA                      | vsiClc                   | 5A/4                                 | Skr                |   |  |            |
|                 | 2,00 - 3,00       | Gråbrun siltig LERA med tunna sandskikt                   | siCl (sa)                | 5A/4                                 | Skr                |   |  |            |
| 22M017          | 2,10 - 2,80       | Brun siltig SANDMORÄN                                     | siSaTi                   | 4A/3                                 | Skr                |   |  |            |
| 22M018          | 0,00 - 1,00       | FYLLNING av humushaltig sandig siltig TORRSKORPELERA      | Mg[husasiClc]            | 5B/4                                 | Skr                |   |  |            |
|                 | 1,00 - 2,00       | Gråbrun varvig siltig TORRSKORPELERA med finsandskikt     | vsiClc fsa               | 5A/4                                 | Skr                |   |  |            |
|                 | 2,00 - 3,00       | Brun varvig siltig TORRSKORPELERA med sandskikt           | siClc sa                 | 5A/4                                 | Skr                |   |  |            |

\*Ej ackrediterad metod, \*\*Vid extern provtagning åligger provtagningsförfarandet hos kund. Mitta följer SS-EN 932-1 vid provtagning om ej annat angivits på aktuell rapport

Denna rapport får endast återges i sin helhet, om inte utfärdande laboratorium i förväg skriftligen godkänt annat. Resultat avser endast den provade mängden

Måtosäkerhet återfinns på <https://mitta.fi/wp-content/uploads/2020/03/Matosakerhet-SHOLMLLA.pdf>

Enligt: 'SS-EN ISO 14688-1, -2 |<sup>2</sup>SGF Beteckningssystem 2016 |<sup>3</sup>AMA Anläggning 17 |<sup>4</sup>SS-EN IS 17892-2:2014 |<sup>5</sup>SS-EN ISO 17892-1:2014 |<sup>6</sup>SS-EN ISO 17892-12:2018 med hänsyn till SGF N 1:2018\*|

Utförd av: MN Granskad av: LJ

Provningsansvarig:

**Redovisning av rutinundersökning på stördta prover**

| Beställare:           | Mitta AB          | Objekt:   | Stenhamra                |                                      |                  | Provtagningsdatum:                                  | 211109-10                                |   |            |
|-----------------------|-------------------|---|--------------------------|--------------------------------------|------------------|---|--|---|------------|
| Ansvarig geotekniker: | Johan Freudendahl | Uppdrag Nr.   | 2020018                  |                                      |                  | Ankomstdatum:                                       | 211110                                   |   |            |
| Adress:               | Västbergavägen 24 | Provtagare**  | Extern                   |                                      |                  | Analysdatum:  | 211117                                   |   |            |
| Borrhål               | Djup m            | Okulär klassificering <sup>1</sup>                              | Förkortning <sup>2</sup> | Mtrl typ / tjälf. Klass <sup>3</sup> | Prov. utrustning | Skrymdensitet CPT p <sup>4</sup> , t/m <sup>3</sup> | Vattenkvot w <sub>N</sub> <sup>5</sup> % | Konflygräns w <sub>L</sub> <sup>6</sup> % | Anmärkning |
|                       | 2,0 - 3,0         | Brun siltig LERA  | siCl                     | 5A/4                                 | Skr              |   |  |   |            |
| 21M011                | 1,4 - 2,0         | Brun siltig LERA med torrskorpekaraktär                         | siCl(dc)                 | 5A/4                                 | Skr              |   |  |   |            |
|                       | 2,5 - 3,0         | Grå siltig LERA   | siCl                     | 5A/4                                 | Skr              |   |  |   |            |
| 21M014                | 0,2 - 1,0         | Brun TORRSKORPELERA med enstaka växtrester                      | Cldc (pr)                | 4B/3                                 | Skr              |   |  |   |            |
|                       | 1,0 - 1,8         | Brun TORRSKORPELERA med tunna siltskikt                         | Cldc (si)                | 4B/3                                 | Skr              |   |  |   |            |
| 21M017                | 0,0 - 0,9         | FYLLNING av grusig sandig TORRSKORPELERA                        | Mg[grsaCldc]             | 4B/3                                 | Skr              |   |  |   |            |
| 21M018                | 0,4 - 1,0         | Brun TORRSKORPELERA med siltskikt                               | Cldc si                  | 4B/3                                 | Skr              |   |  |   |            |
| 21M019                | 1,5 - 2,0         | Brun LERA med torrskorpekaraktär                                | Cl(dc)                   | 4B/3                                 | Skr              |   |  |   |            |
|                       | 2,0 - 3,0         | Grå siltig LERA   | siCl                     | 5A/4                                 | Skr              |   |  |   |            |
| 21M020                | 1,0 - 2,0         | Brun siltig LERA med torrskorpekaraktär                         | siCl(dc)                 | 5A/4                                 | Skr              |   |  |   |            |
|                       | 2,0 - 3,0         | Gråbrun siltig LERA   | siCl                     | 5A/4                                 | Skr              |   |  |   |            |
| 21M024                | 0,4 - 1,0         | Brun TORRSKORPELERA med enstaka växtrester                      | Cldc (dc)                | 4B/3                                 | Skr              |   |  |   |            |
|                       | 1,5 - 2,0         | Gråbrun siltig LERA   | siCl                     | 5A/4                                 | Skr              |   |  |   |            |
| 21M025                | 0,0 - 1,0         | FYLLNING av humushaltig LERA med tunna siltskikt och växtrester | Mg[huCl (si) pr]         | 5B/4                                 | Skr              |   |  |   |            |
|                       | 2,0 - 3,0         | Grå varvig siltig LERA  | vsiCl                    | 5A/4                                 | Skr              |   |  |   |            |

\*Ej ackrediterad metod, \*\*Vid extern provtagning åligger provtagningsförfarandet hos kund. Mitta följer SS-EN 932-1 vid provtagning om ej annat angivits på aktuell rapport

Denna rapport får endast återges i sin helhet, om inte utfärdande laboratorium i förväg skriftligen godkänt annat. Resultat avser endast den provade mängden

Mätsäkerhet återfinns på <https://mitta.fi/wp-content/uploads/2020/03/Mätsäkerhet-SHOLMLLA.pdf>Enligt: <sup>1</sup>SS-EN ISO 14688-1, -2 | <sup>2</sup>SGF Beteckningssystem 2016 | <sup>3</sup>AMA Anläggning 17 | <sup>4</sup>SS-EN IS 17892-2:2014 | <sup>5</sup>SS-EN ISO 17892-1:2014 | <sup>6</sup>SS-EN ISO 17892-12:2018 med hänsyn till SGF N 1:2018\*Utförd av: **Lina J.**Granskad av: **Maria G.**



Västbergavägen 24, 126 30 HÄGERSTEN

Redovisning av rutinundersökning på störda prover



---

Ver. 1

2021-11-17

RAPPORT S 210935

Utfärdad av ackrediterat laboratorium

**Beställare:** **Mitta AB**  
**Ansvarig geotekniker:** **Johan Freudendahl**  
**Adress:** **Västbergavägen 24**

|              |                  |         |
|--------------|------------------|---------|
| Objekt:      | <b>Stenhamra</b> | Provtag |
| Uppdrag Nr.  | <b>2020018</b>   | Ankomst |
| Provtagare** | <b>Extern</b>    | Analysd |

Provtagningsdatum: **211109-10**  
Ankomstdatum: **211110**  
Analysdatum: **211117**

\*Ej ackrediterad metod. \*\*Vid extern provtagning åligger provtagningsförfarandet hos kund. Mitta följer SS-EN 932-1 vid provtagning om ej annat angivits på aktuell rapport

Denna rapport får endast återges i sin helhet, om inte utfärdande laboratorium i förväg skriftligen godkänt annat. Resultatet avser endast den provade mängden

Mätsäkerhet återfinns på <https://mitta.fi/wp-content/uploads/2020/03/Matsakerhet-SHOI-MILA.pdf>

Eftlipt: <sup>1</sup>SS-EN ISO 11688-1, <sup>2</sup>1<sup>1</sup>SS-EN ISO 17892-2:2014, <sup>3</sup>SS-EN ISO 17892-1:2014, <sup>4</sup>SS-EN ISO 17892-12:2018 med hänsyn till SGE N 1:2018\*

Utförd av: Lina J.

Granskad av: **Maria G.**



2021-11-22

RAPPORT 7333

Mitta AB  
 Johan Frendendahl  
 Västbergav 24  
 12630 Hägersten

## MARKRADONMÄTNING

Mätområde: Stenhamra, Ekerö Kommun

| Burk id | Borr-hål | Rn-halt kBq/m <sup>3</sup> | Utsättn.- datum | Upptagn.- datum           | Kommentar |
|---------|----------|----------------------------|-----------------|---------------------------|-----------|
| 12335   | 13       | 2021-11-11                 | 2021-11-16      | Provet påverkat av vatten |           |

Radonhalten i markluft är normalt större än 5 kBq/m<sup>3</sup> och lägre värden kan tyda på att mätningen har misslyckats.

Den uppmätta registrerade radonhalten anges i enheten kBq/m<sup>3</sup>. Anmärkning om att provet är påverkat av fukt eller vatten innebär att mätvärdet är osäkert.

Mätrapporten upprättad av  
 Eurofins Radon Testing Sweden AB

Helene Pettersson

Eurofins AB  
 Box 63 971 03  
 LULEÅ

Telefon: 010-490 84 80

E-post:  
[info.radon@eurofins.se](mailto:info.radon@eurofins.se)  
 Hemsida:  
[radon.eurofins.se](http://radon.eurofins.se)

Organisationsnummer  
 559045-1752

Besöksadress  
 Robertsviksgatan 6A  
 972 41 Luleå

## Riktvärden vid klassning av mark avseende markradon

(Starkt generaliserade, för utförligare indelning se rapport BFR R85:1988 rev 1990)

**Radonhalt i jordluft, haltgränser vid klassificering av mark för jord med hög luftgenomsläppighet**

|                          |                 |  |
|--------------------------|-----------------|--|
| <10 kBq/m <sup>3</sup>   | Lågradonmark    | (överväg radonskyddat byggande)                      |
| 10-50 kBq/m <sup>3</sup> | Normalradonmark | (rekommendation radonskyddat byggande <sup>1</sup> ) |
| >50 kBq/m <sup>3</sup>   | Högradonmark    | (rekommendation radonsäkrat byggande <sup>1</sup> )  |

Fuktig lera och silt klassas normalt som lågradonmark då dessa jordarter är tätä och radon därmed inte transporteras i jorden. Gränsen mellan lågradonmark/normalradonmark <60 kBq/m<sup>3</sup> eftersom lufttransporten är begränsad i sådan jord.

Om Radon i mark-mätningen ger en halt på <5 kBq/m<sup>3</sup>, eller om mätresultaten avviker kraftigt mellan två mätpunkter, kan det vara lämpligt att komplettera med ytterligare mätpunkter. Vanliga problem med mätningarna inkluderar fukt som påverkar provtagaren eller icke-markluft som läcker in till detektorn via röret/hålet. Om provgropen blir blöt begränsas markluft rörelserna och markradonmätning är inte relevant att göra. Radonhalter <10 kBq/m<sup>3</sup> förekommer bara i jordarter med mycket låg radiumhalt, t. ex. moräner som bildats av kalksten eller i sandavlagringar.

### Vanliga problem

- jordtäcket är tunt. Om man inte kommer till minst 0,7 m, så kommer luften att påverkas av vind och tryck. Man får inte ett representabelt värde.
- man kommer ner till berg. Då behöver en gammamätning göras på berget istället.
- det är tjäle i marken, mätningen blir mycket osäker.
- hålet/gropen är vattenfyld. Vattnet kommer att förhindra att radonet fastnar i detektorn.
- du har borrat genom asfalt. Asfalten kommer att fungera som ett lock, halterna i hålet kommer inte att motsvara det verkliga värdet.

<sup>1</sup>Boverkets byggregler 6.23 Radon i inomhusluften (2011:6 med ändringar BFS 2019:2)

"Åtgärder för att begränsa inläckage av markradon bör utföras. Exempelvis kan tätning av genomföringar i byggnaden vara en sådan åtgärd. Byggnaden bör även i övrigt göras så lufttät som möjligt mot marken." D.v.s. radonskyddad byggande rekommenderas.

För fler detaljer om radonsäkrat och radonskyddad byggande, se "Radonboken – Nya byggnader"

### Referenser:

Rapport: Radon i bostäder – Markradon. R85:1988. Byggforskningsrådet

Radonboken : nya byggnader. Connie Box, 2019. ISBN 9789173339964.

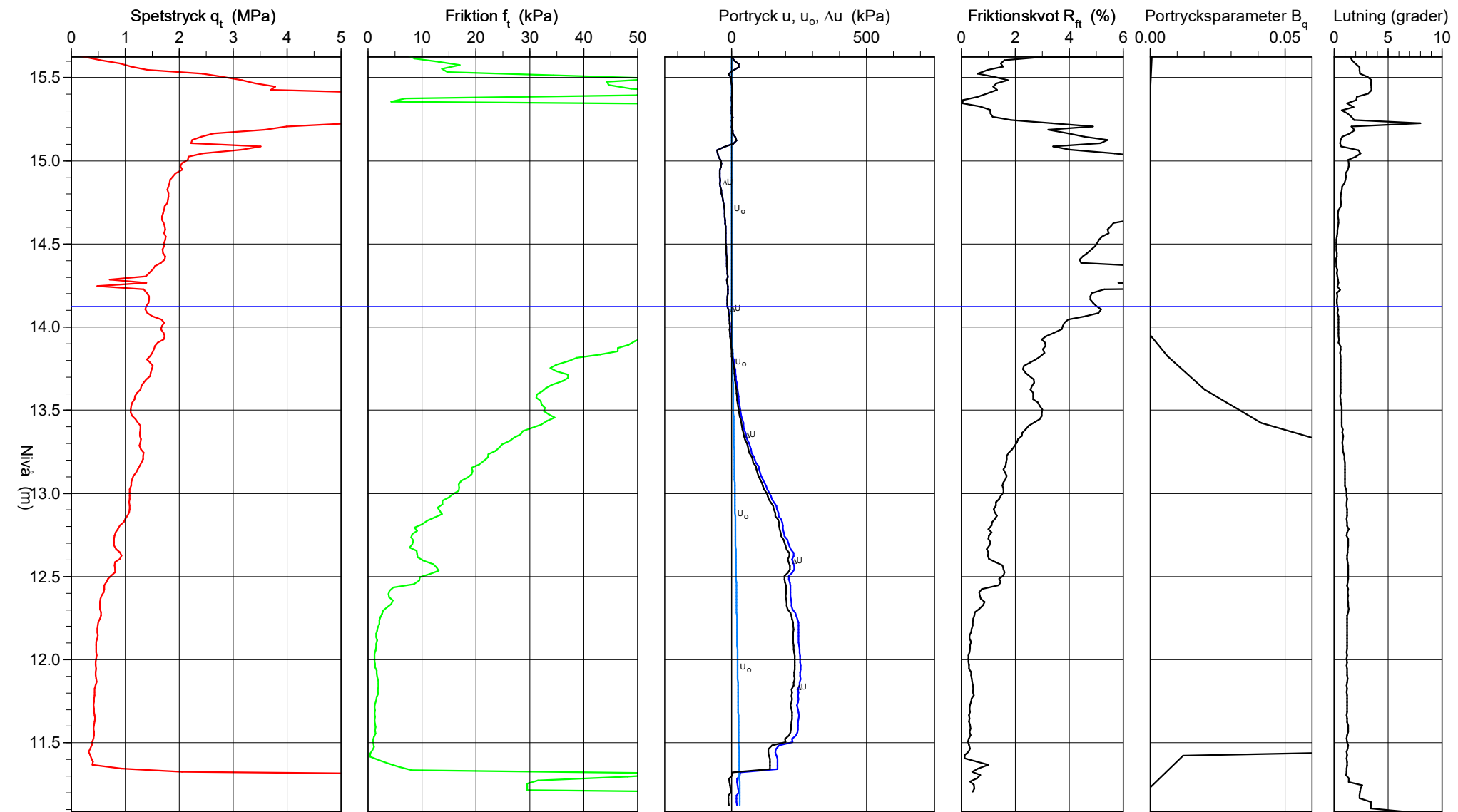
## CPT-sondering utförd enligt EN ISO 22476-1

Förborrningsdjup 15.62 m  
 Start djup 15.62 m  
 Stopp djup 11.08 m  
 Grundvattennivå 14.12 m

Referens my  
 Nivå vid referens 15.62 m  
 Förborrat material  
 Geometri Normal

Vätska i filter Glycerin  
 Borrpunkten koord. 6580259.2983 132217.8841  
 Utrustning Geotech  
 Sond nr 5243

Projekt Stenhamra  
 Projekt nr 2020018  
 Plats Stehammra, Ekerö  
 Borrhål 21M009  
 Datum 2021-11-10

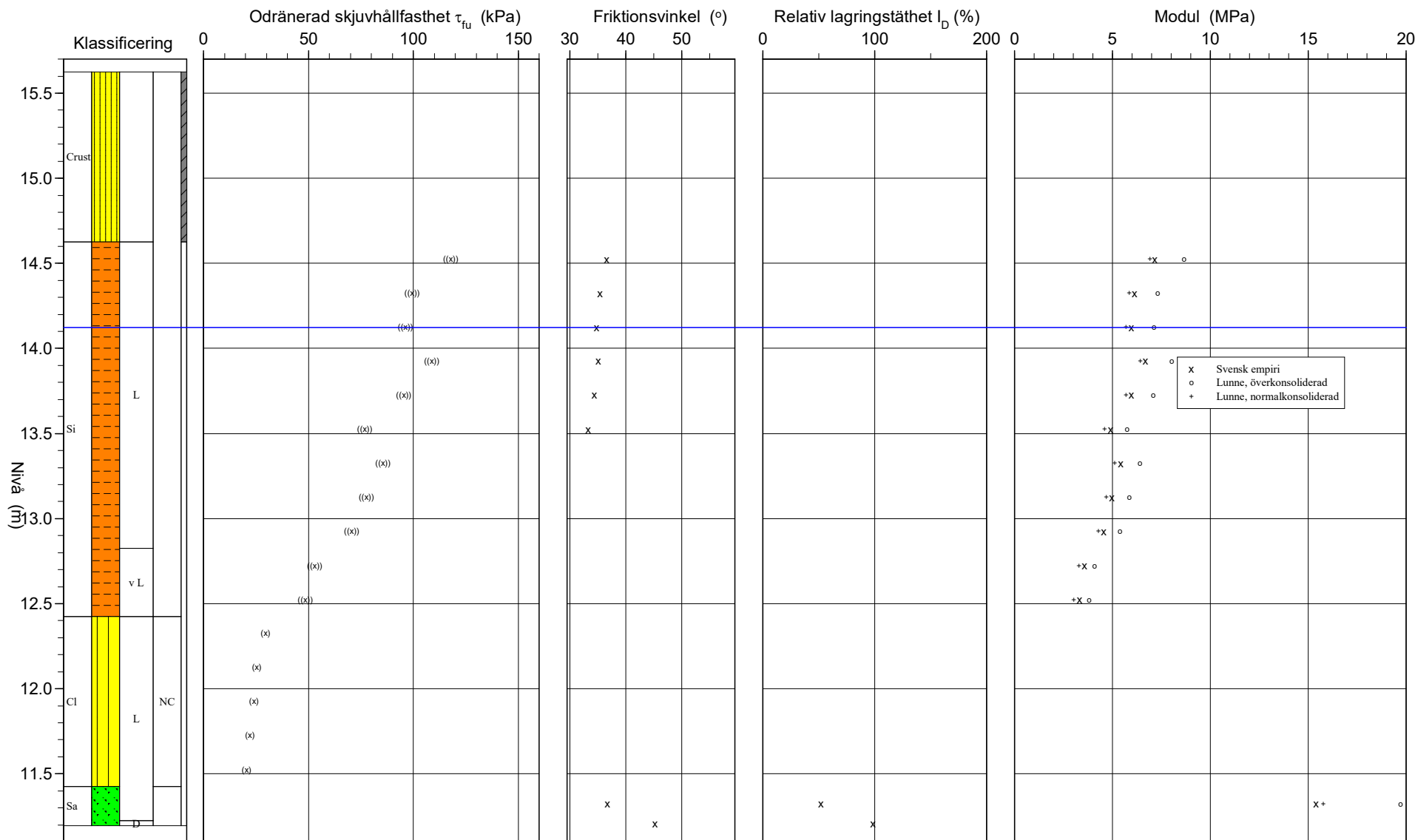


# CPT-sondering utvärderad enligt SGI Information 15 rev.2007

Referens my Förborningsdjup 15.62 m  
 Nivå vid referens 15.62 m Förborrat material  
 Grundvattenyta 14.12 m Utrustning Geotech  
 Startdjup 15.62 m Geometri Normal

Utvärderare Johan Freudendahl  
 Datum för utvärdering 2021-12-07

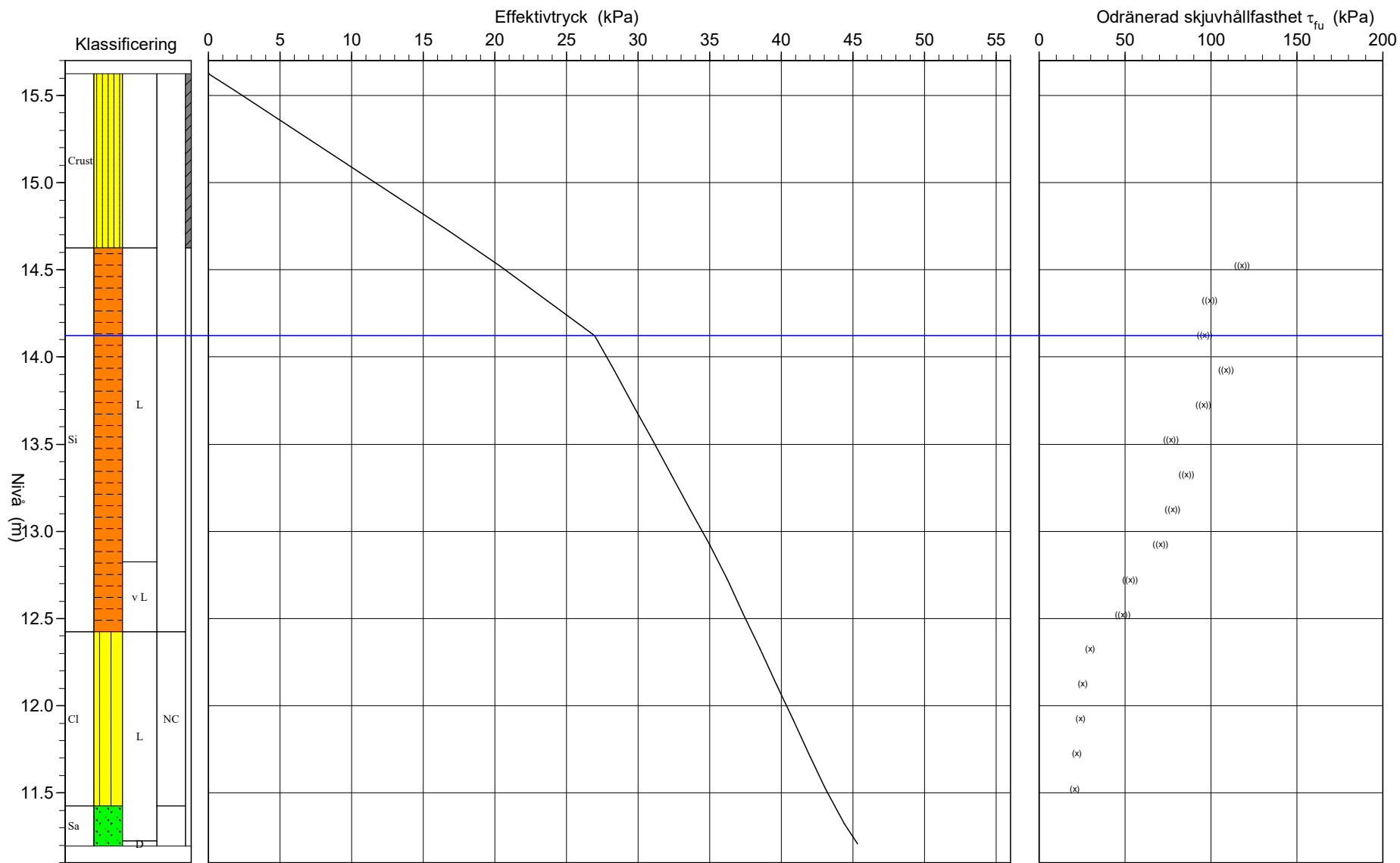
Projekt Stenhamra  
 Projekt nr 2020018  
 Plats Stehammra, Ekerö  
 Borrhål 21M009  
 Datum 2021-11-10



# CPT-sondering utvärderad enligt SGI Information 15 rev.2007

Referens my Förborrningsdjup 15.62 m Utvärderare Johan Freudendahl  
 Nivå vid referens 15.62 m Förborrat material Datum för utvärdering 2021-12-07  
 Grundvattenyta 14.12 m Utrustning Geotech  
 Startdjup 15.62 m Geometri Normal

Projekt Stenhamra  
 Projekt nr 2020018  
 Plats Stehammra, Ekerö  
 Borrhål 21M009  
 Datum 2021-11-10



# C P T - sondering

| <b>Projekt</b><br><b>Stenhamra</b><br><b>2020018</b>   |   | <b>Plats</b> <b>Stehammra, Ekerö</b><br><b>Borrhål</b> <b>21M009</b><br><b>Datum</b> <b>2021-11-10</b>   |                           |                             |             |  |          |  |   |                  |                  |                                   |           |         |              |              |             |       |              |
|--|---|--|---------------------------|-----------------------------|-------------|--|----------|--|---|------------------|------------------|-----------------------------------|-----------|---------|--------------|--------------|-------------|-------|--------------|
| Förborningsdjup<br>Startdjup<br>Stoppdjup<br>Grundvattenyta<br>Referens<br>Nivå vid referens   | 15.62 m<br>15.62 m<br>11.08 m<br>14.12 m<br>my<br>15.62 m | Förborrat material<br>Geometri <b>Normal</b><br>Vätska i filter <b>Glycerin</b><br>Operatör <b>Axel Isaksson</b><br>Utrustning <b>Geotech</b><br><input checked="" type="checkbox"/> <b>Portryck registrerat vid sondering</b>   |                           |                             |             |  |          |  |   |                  |                  |                                   |           |         |              |              |             |       |              |
| <b>Kalibreringsdata</b><br>Spets <b>5243</b><br>Datum<br>Areafaktor a <b>0.866</b><br>Areafaktor b <b>0.000</b>  |   | <b>Nollvärdet, kPa</b><br><table border="1"> <thead> <tr> <th></th> <th>Portryck</th> <th>Friktion</th> <th>Spetstryck</th> </tr> </thead> <tbody> <tr> <td>Före</td> <td>240.00</td> <td>121.90</td> <td>7.89</td> </tr> <tr> <td>Efter</td> <td>264.80</td> <td>122.40</td> <td>7.87</td> </tr> <tr> <td>Diff</td> <td>24.80</td> <td>0.50</td> <td>-0.03</td> </tr> </tbody> </table> |                           | Portryck                    | Friktion    | Spetstryck   | Före     | 240.00   | 121.90  | 7.89             | Efter            | 264.80                            | 122.40    | 7.87    | Diff         | 24.80        | 0.50        | -0.03 |              |
|  | Portryck  | Friktion   | Spetstryck                |                             |             |  |          |  |   |                  |                  |                                   |           |         |              |              |             |       |              |
| Före   | 240.00  | 121.90   | 7.89                      |                             |             |  |          |  |   |                  |                  |                                   |           |         |              |              |             |       |              |
| Efter  | 264.80  | 122.40   | 7.87                      |                             |             |  |          |  |   |                  |                  |                                   |           |         |              |              |             |       |              |
| Diff   | 24.80   | 0.50   | -0.03                     |                             |             |  |          |  |   |                  |                  |                                   |           |         |              |              |             |       |              |
| <b>Skalfaktorer</b><br><table border="1"> <thead> <tr> <th>Portryck<br/>Område Faktor</th> <th>Friktion<br/>Område Faktor</th> <th>Spetstryck<br/>Område Faktor</th> </tr> </thead> <tbody> <tr> <td></td> <td></td> <td></td> </tr> </tbody> </table> |   | Portryck<br>Område Faktor  | Friktion<br>Område Faktor | Spetstryck<br>Område Faktor |             |  |          | <b>Korrigering</b><br>Portryck <b>(ingen)</b><br>Friktion <b>(ingen)</b><br>Spetstryck <b>(ingen)</b><br><br>Bedömd sonderingsklass <b>3</b> |   |                  |                  |                                   |           |         |              |              |             |       |              |
| Portryck<br>Område Faktor  | Friktion<br>Område Faktor                                 | Spetstryck<br>Område Faktor  |                           |                             |             |  |          |  |   |                  |                  |                                   |           |         |              |              |             |       |              |
|  |   |  |                           |                             |             |  |          |  |   |                  |                  |                                   |           |         |              |              |             |       |              |
| <input type="checkbox"/> <b>Använd skalfaktorer vid beräkning</b>  |   |  |                           |                             |             |  |          |  |   |                  |                  |                                   |           |         |              |              |             |       |              |
| <b>Portrycksobservationer</b><br><table border="1"> <thead> <tr> <th>Nivå (m)</th> <th>Portryck (kPa)</th> </tr> </thead> <tbody> <tr> <td><b>14.12</b></td> <td><b>0.00</b></td> </tr> </tbody> </table>  |   | Nivå (m)   | Portryck (kPa)            | <b>14.12</b>                | <b>0.00</b> | <b>Skiktgränser</b><br><table border="1"> <thead> <tr> <th>Nivå (m)</th> </tr> </thead> <tbody> <tr> <td></td> </tr> </tbody> </table> | Nivå (m) |  | <b>Klassificering</b><br><table border="1"> <thead> <tr> <th>Nivå (m)<br/>Från</th> <th>Nivå (m)<br/>Till</th> <th>Densitet<br/>(ton/m<sup>3</sup>)</th> <th>Flytgräns</th> <th>Jordart</th> </tr> </thead> <tbody> <tr> <td><b>15.62</b></td> <td><b>14.62</b></td> <td><b>1.90</b></td> <td></td> <td><b>Crust</b></td> </tr> </tbody> </table> | Nivå (m)<br>Från | Nivå (m)<br>Till | Densitet<br>(ton/m <sup>3</sup> ) | Flytgräns | Jordart | <b>15.62</b> | <b>14.62</b> | <b>1.90</b> |       | <b>Crust</b> |
| Nivå (m)   | Portryck (kPa)  |  |                           |                             |             |  |          |  |   |                  |                  |                                   |           |         |              |              |             |       |              |
| <b>14.12</b>   | <b>0.00</b>   |  |                           |                             |             |  |          |  |   |                  |                  |                                   |           |         |              |              |             |       |              |
| Nivå (m)   |   |  |                           |                             |             |  |          |  |   |                  |                  |                                   |           |         |              |              |             |       |              |
|  |   |  |                           |                             |             |  |          |  |   |                  |                  |                                   |           |         |              |              |             |       |              |
| Nivå (m)<br>Från   | Nivå (m)<br>Till  | Densitet<br>(ton/m <sup>3</sup> )  | Flytgräns                 | Jordart                     |             |  |          |  |   |                  |                  |                                   |           |         |              |              |             |       |              |
| <b>15.62</b>   | <b>14.62</b>  | <b>1.90</b>  |                           | <b>Crust</b>                |             |  |          |  |   |                  |                  |                                   |           |         |              |              |             |       |              |
| <b>Anmärkning</b><br>  |   |  |                           |                             |             |  |          |  |   |                  |                  |                                   |           |         |              |              |             |       |              |

# C P T - sondering

Sida 1 av 1

| Projekt<br>Stenhamra<br>2020018 |                  |                |    | Plats<br>Borrhål<br>Datum |                       | Stehammra, Ekerö<br>21M009<br>2021-11-10 |        |                        |                         |                        |      |                     |          |                        |                        |
|---------------------------------|------------------|----------------|----|---------------------------|-----------------------|--|--------|------------------------|-------------------------|------------------------|------|---------------------|----------|------------------------|------------------------|
| Nivå (m)<br>Från                | Nivå (m)<br>Till | Klassificering |    | ρ<br>t/m³                 | W <sub>L</sub><br>kPa | τ <sub>fu</sub><br>kPa                   | ϕ<br>° | σ <sub>vo</sub><br>kPa | σ' <sub>vo</sub><br>kPa | σ' <sub>c</sub><br>kPa | OCR  | I <sub>D</sub><br>% | E<br>MPa | M <sub>OC</sub><br>MPa | M <sub>NC</sub><br>MPa |
| 15.62                           | 15.62            | Crust          |    | 1.90                      |                       |  |        | 0.0                    | 0.0                     |                        |      |                     |          |                        |                        |
| 15.62                           | 15.42            | Crust          |    | 1.90                      |                       |  |        | 1.9                    | 1.9                     |                        |      |                     |          |                        |                        |
| 15.42                           | 15.22            | Crust          |    | 1.90                      |                       |  |        | 5.6                    | 5.6                     |                        |      |                     |          |                        |                        |
| 15.22                           | 15.02            | Crust          |    | 1.90                      |                       |  |        | 9.3                    | 9.3                     |                        |      |                     |          |                        |                        |
| 15.02                           | 14.82            | Crust          |    | 1.90                      |                       |  |        | 13.0                   | 13.0                    |                        |      |                     |          |                        |                        |
| 14.82                           | 14.62            | Crust          |    | 1.90                      |                       |  |        | 16.8                   | 16.8                    |                        |      |                     |          |                        |                        |
| 14.62                           | 14.42            | Si L           |    | 1.70                      | ((118.0))             | (36.6)                                   |        | 20.3                   | 20.3                    |                        |      | 7.2                 | 8.7      | 6.9                    |                        |
| 14.42                           | 14.22            | Si L           |    | 1.70                      | ((99.4))              | (35.5)                                   |        | 23.6                   | 23.6                    |                        |      | 6.1                 | 7.3      | 5.9                    |                        |
| 14.22                           | 14.02            | Si L           |    | 1.70                      | ((96.3))              | (34.8)                                   |        | 27.0                   | 27.0                    |                        |      | 6.0                 | 7.1      | 5.7                    |                        |
| 14.02                           | 13.82            | Si L           |    | 1.70                      | ((108.7))             | (35.1)                                   |        | 30.3                   | 28.3                    |                        |      | 6.7                 | 8.0      | 6.4                    |                        |
| 13.82                           | 13.62            | Si L           |    | 1.70                      | ((95.6))              | (34.4)                                   |        | 33.6                   | 29.6                    |                        |      | 6.0                 | 7.1      | 5.7                    |                        |
| 13.62                           | 13.42            | Si L           |    | 1.70                      | ((76.8))              | (33.3)                                   |        | 37.0                   | 31.0                    |                        |      | 4.9                 | 5.8      | 4.6                    |                        |
| 13.42                           | 13.22            | Si L           |    | 1.70                      | ((85.6))              |  |        | 40.3                   | 32.3                    |                        |      | 5.4                 | 6.4      | 5.1                    |                        |
| 13.22                           | 13.02            | Si L           |    | 1.70                      | ((77.6))              |  |        | 43.7                   | 33.7                    |                        |      | 5.0                 | 5.8      | 4.7                    |                        |
| 13.02                           | 12.82            | Si L           |    | 1.70                      | ((70.6))              |  |        | 47.0                   | 35.0                    |                        |      | 4.6                 | 5.4      | 4.3                    |                        |
| 12.82                           | 12.62            | Si v L         |    | 1.60                      | ((53.0))              |  |        | 50.2                   | 36.2                    |                        |      | 3.6                 | 4.1      | 3.3                    |                        |
| 12.62                           | 12.42            | Si v L         |    | 1.60                      | ((48.5))              |  |        | 53.4                   | 37.4                    |                        |      | 3.3                 | 3.8      | 3.0                    |                        |
| 12.42                           | 12.22            | Cl L           | NC | 1.60                      | (29.7)                |  |        | 56.5                   | 38.5                    |                        | 1.00 |                     |          |                        |                        |
| 12.22                           | 12.02            | Cl L           | NC | 1.60                      | (25.3)                |  |        | 59.6                   | 39.6                    |                        | 1.00 |                     |          |                        |                        |
| 12.02                           | 11.82            | Cl L           | NC | 1.60                      | (24.0)                |  |        | 62.8                   | 40.8                    |                        | 1.00 |                     |          |                        |                        |
| 11.82                           | 11.62            | Cl L           | NC | 1.60                      | (22.0)                |  |        | 65.9                   | 41.9                    |                        | 1.00 |                     |          |                        |                        |
| 11.62                           | 11.42            | Cl L           | NC | 1.60                      | (20.6)                |  |        | 69.1                   | 43.1                    |                        | 1.00 |                     |          |                        |                        |
| 11.42                           | 11.22            | Sa L           |    | 1.80                      |                       |  | 36.8   | 72.4                   | 44.4                    |                        |      | 51.9                | 15.4     | 19.7                   | 15.8                   |
| 11.22                           | 11.20            | Sa D           |    | 2.00                      |                       |  | 45.2   | 74.4                   | 45.3                    |                        |      | 98.3                | 69.9     | 100.3                  | 60.1                   |

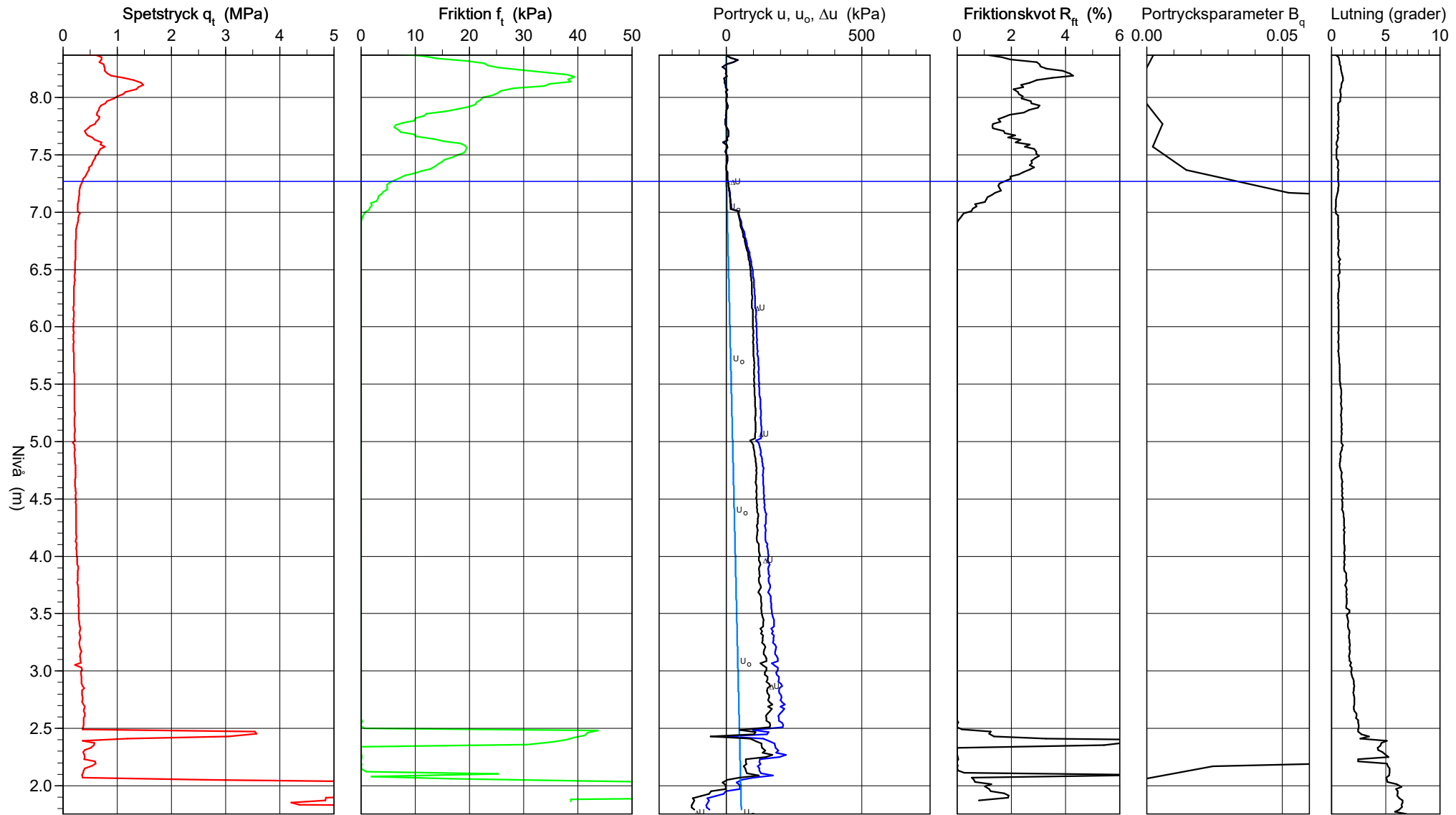
# CPT-sondering utförd enligt EN ISO 22476-1

Förborringsdjup 8.37 m  
Start djup 8.37 m  
Stopp djup 1.75 m  
Grundvattennivå 7.27 m

Referens my  
Nivå vid referens 8.37 m  
Förborrat material  
Geometri Normal

Vätska i filter Glycerin  
Borrpunktens koord. 6579436.2195, 132146.1555  
Utrustning Geotech  
Sond nr 5243

Projekt Stenhamra  
Projekt nr 2020018  
Plats Stehammra  
Borrhål 21M028  
Datum 2021-11-11

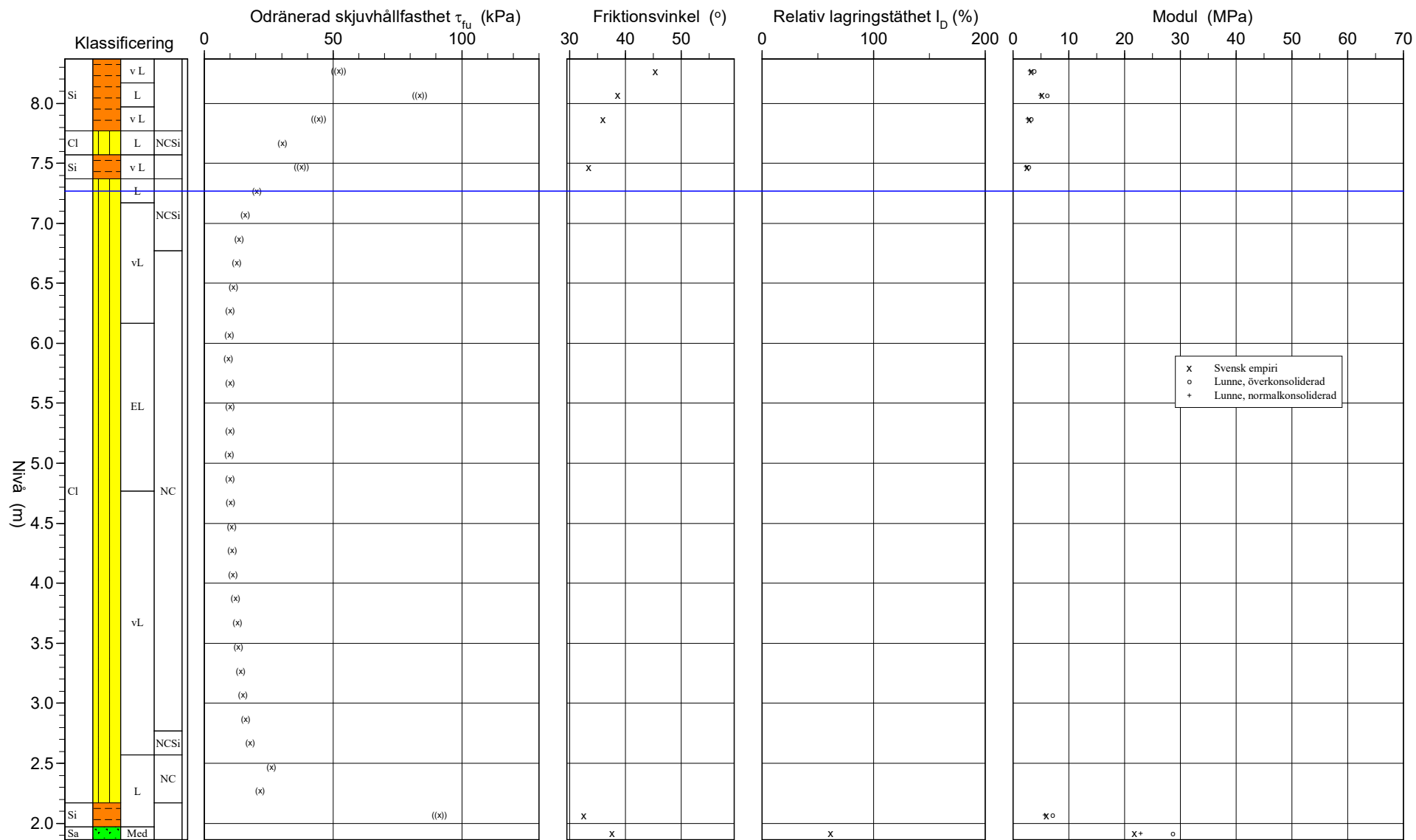


# CPT-sondering utvärderad enligt SGI Information 15 rev.2007

Referens my Förborningsdjup 8.37 m  
 Nivå vid referens 8.37 m Förborrat material  
 Grundvattenyta 7.27 m Utrustning Geotech  
 Startdjup 8.37 m Geometri Normal

Utvärderare Johan Freudendahl  
 Datum för utvärdering 2021-12-08

Projekt Stenhamra  
 Projekt nr 2020018  
 Plats Stehammra  
 Borrhål 21M028  
 Datum 2021-11-11



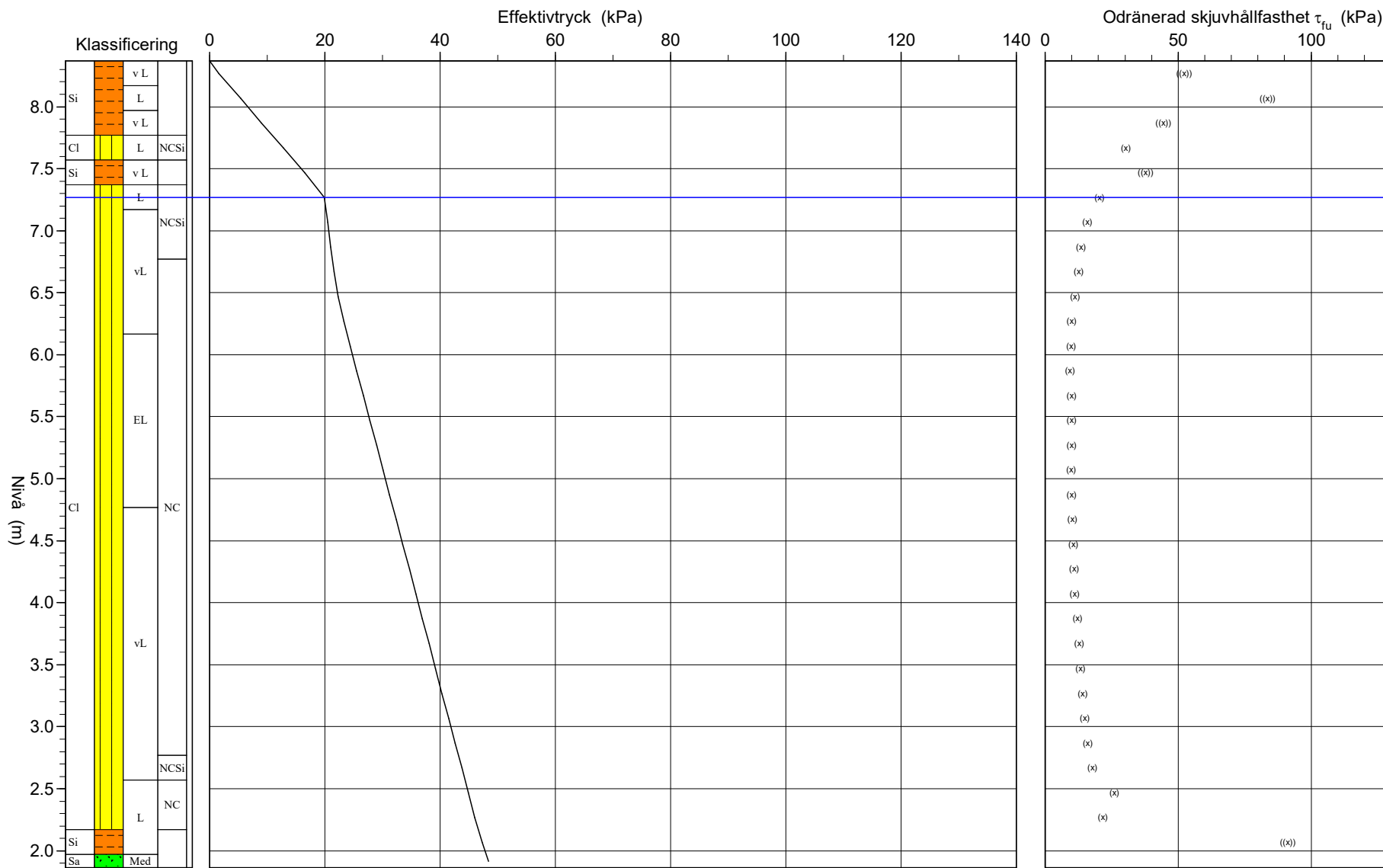
# CPT-sondering utvärderad enligt SGI Information 15 rev.2007

Referens my  
Nivå vid referens 8.37 m  
Grundvattenyta 7.27 m  
Startdjup 8.37 m

Förborrningsdjup 8.37 m  
Förborrat material  
Utrustning Geotech  
Geometri Normal

Utvärderare Johan Freudendahl  
Datum för utvärdering 2021-12-08

Projekt Stenhamra  
Projekt nr 2020018  
Plats Stehammra  
Borrhål 21M028  
Datum 2021-11-11



# C P T - sondering

|  |                           |   |                            |                                   |
|--|---------------------------|---|----------------------------|-----------------------------------|
| Projekt<br><b>Stenhamra</b><br><b>2020018</b>              |                           |   | Plats<br><b>Stenhamra</b>  |                                   |
|  |                           |   | Borrhål<br><b>21M028</b>   |                                   |
|  |                           |   | Datum<br><b>2021-11-11</b> |                                   |
| Förborrningsdjup   | 8.37 m                    | Förborrat material  |                            |                                   |
| Startdjup  | 8.37 m                    | Geometri  | Normal                     |                                   |
| Stoppdjup  | 1.75 m                    | Vätska i filter   | Glycerin                   |                                   |
| Grundvattenyta   | 7.27 m                    | Operatör  | Axel Isaksson              |                                   |
| Referens   | m.y                       | Utrustning  | Geotech                    |                                   |
| Nivå vid referens  | 8.37 m                    | <input checked="" type="checkbox"/> Porttryck registrerat vid sondering |                            |                                   |
| <b>Kalibreringsdata</b>                                    |                           |   | <b>Nollvärden, kPa</b>     |                                   |
| Spets  | 5243                      | Inre friktion $O_c$   | 0.0 kPa                    |                                   |
| Datum  |                           | Inre friktion $O_f$   | 0.0 kPa                    |                                   |
| Arealfaktor a  | 0.639                     | Cross talk $c_1$  | 0.000                      |                                   |
| Arealfaktor b  | 0.000                     | Cross talk $c_2$  | 0.000                      |                                   |
| <b>Skalfaktorer</b>  |                           |   | <b>Korrigering</b>         |                                   |
| Porttryck<br>Område Faktor                                 | Friktion<br>Område Faktor | Spetstryck<br>Område Faktor   | Porttryck<br>(ingen)       | Friktion<br>(ingen)               |
|  |                           |   | Spetstryck<br>(ingen)      |                                   |
|  |                           |   | Bedömd sonderingsklass 3   |                                   |
| <input type="checkbox"/> Använd skalfaktorer vid beräkning |                           |   |                            |                                   |
| <b>Porttrycksobservationer</b>                             |                           | <b>Skiktgränser</b>   | <b>Klassificering</b>      |                                   |
| Nivå (m)   | Porttryck (kPa)           | Nivå (m)  | Nivå (m)<br>Från           | Densitet<br>(ton/m <sup>3</sup> ) |
| 7.27   | 0.00                      |   | 8.37                       | 1.90                              |
|  |                           |   | Till                       | Flytgräns                         |
|  |                           |   |                            | Jordart                           |
| <b>Anmärkning</b>  |                           |   |                            |                                   |

# C P T - sondering

Sida 1 av 1

| Projekt<br>Stenhamra<br>2020018 |                  |                |  | Plats<br>Borrhål<br>Datum |                       | Stehammra<br>21M028<br>2021-11-11 |        |                        |                         |                        |      |                     |          |                        |                        |
|---------------------------------|------------------|----------------|--|---------------------------|-----------------------|-----------------------------------|--------|------------------------|-------------------------|------------------------|------|---------------------|----------|------------------------|------------------------|
| Nivå (m)<br>Från                | Nivå (m)<br>Till | Klassificering |  | ρ<br>t/m³                 | W <sub>L</sub><br>kPa | τ <sub>fu</sub><br>kPa            | ϕ<br>° | σ <sub>vo</sub><br>kPa | σ' <sub>vo</sub><br>kPa | σ' <sub>c</sub><br>kPa | OCR  | I <sub>D</sub><br>% | E<br>MPa | M <sub>OC</sub><br>MPa | M <sub>NC</sub><br>MPa |
| 8.37                            | 8.37             | S i v L        |  | 1.90                      |                       | ((52.3))                          | (45.5) | 1.6                    | 1.6                     |                        |      |                     | 3.3      | 3.8                    | 3.0                    |
| 8.37                            | 8.17             | S i L          |  | 1.90                      |                       | ((83.6))                          | (38.7) | 5.4                    | 5.4                     |                        |      |                     | 5.2      | 6.1                    | 4.9                    |
| 8.17                            | 7.97             | S i v L        |  | 1.90                      |                       | ((44.4))                          | (36.1) | 9.0                    | 9.0                     |                        |      |                     | 2.9      | 3.3                    | 2.6                    |
| 7.97                            | 7.77             | C i L          |  | NCSi                      | 1.90                  | (30.3)                            |        | 12.8                   | 12.8                    |                        | 1.00 |                     |          |                        |                        |
| 7.77                            | 7.57             | S i v L        |  | 1.90                      |                       | ((37.7))                          | (33.4) | 16.5                   | 16.5                    |                        |      |                     | 2.5      | 2.8                    | 2.3                    |
| 7.57                            | 7.37             | C i L          |  | NCSi                      | 1.30                  | (20.3)                            |        | 19.9                   | 19.9                    |                        | 1.00 |                     |          |                        |                        |
| 7.37                            | 7.17             | C i VL         |  | NCSi                      | 1.30                  | (15.9)                            |        | 22.5                   | 20.5                    |                        | 1.00 |                     |          |                        |                        |
| 7.17                            | 6.97             | C i VL         |  | NCSi                      | 1.30                  | (13.5)                            |        | 25.0                   | 21.0                    |                        | 1.00 |                     |          |                        |                        |
| 6.97                            | 6.77             | C i VL         |  | NCSi                      | 1.30                  | (12.4)                            |        | 27.6                   | 21.6                    |                        | 1.00 |                     |          |                        |                        |
| 6.77                            | 6.57             | C i VL         |  | NC                        | 1.30                  | (11.3)                            |        | 30.3                   | 22.3                    |                        | 1.00 |                     |          |                        |                        |
| 6.57                            | 6.37             | C i VL         |  | NC                        | 1.45                  | (10.1)                            |        | 33.3                   | 23.3                    |                        | 1.00 |                     |          |                        |                        |
| 6.37                            | 6.17             | C i VL         |  | NC                        | 1.60                  | (9.7)                             |        | 36.4                   | 24.4                    |                        | 1.00 |                     |          |                        |                        |
| 6.17                            | 5.97             | C i EL         |  | NC                        | 1.60                  | (9.4)                             |        | 39.5                   | 25.5                    |                        | 1.00 |                     |          |                        |                        |
| 5.97                            | 5.77             | C i EL         |  | NC                        | 1.60                  | (9.9)                             |        | 42.7                   | 26.7                    |                        | 1.00 |                     |          |                        |                        |
| 5.77                            | 5.57             | C i EL         |  | NC                        | 1.60                  | (9.9)                             |        | 45.8                   | 27.8                    |                        | 1.00 |                     |          |                        |                        |
| 5.57                            | 5.37             | C i EL         |  | NC                        | 1.60                  | (10.0)                            |        | 49.0                   | 29.0                    |                        | 1.00 |                     |          |                        |                        |
| 5.37                            | 5.17             | C i EL         |  | NC                        | 1.60                  | (9.8)                             |        | 52.1                   | 30.1                    |                        | 1.00 |                     |          |                        |                        |
| 5.17                            | 4.97             | C i EL         |  | NC                        | 1.60                  | (9.9)                             |        | 55.2                   | 31.2                    |                        | 1.00 |                     |          |                        |                        |
| 4.97                            | 4.77             | C i EL         |  | NC                        | 1.60                  | (10.2)                            |        | 58.4                   | 32.4                    |                        | 1.00 |                     |          |                        |                        |
| 4.77                            | 4.57             | C i VL         |  | NC                        | 1.60                  | (10.7)                            |        | 61.5                   | 33.5                    |                        | 1.00 |                     |          |                        |                        |
| 4.57                            | 4.37             | C i VL         |  | NC                        | 1.60                  | (10.8)                            |        | 64.6                   | 34.6                    |                        | 1.00 |                     |          |                        |                        |
| 4.37                            | 4.17             | C i VL         |  | NC                        | 1.60                  | (11.1)                            |        | 67.8                   | 35.8                    |                        | 1.00 |                     |          |                        |                        |
| 4.17                            | 3.97             | C i VL         |  | NC                        | 1.60                  | (12.1)                            |        | 70.9                   | 36.9                    |                        | 1.00 |                     |          |                        |                        |
| 3.97                            | 3.77             | C i VL         |  | NC                        | 1.60                  | (12.7)                            |        | 74.1                   | 38.1                    |                        | 1.00 |                     |          |                        |                        |
| 3.77                            | 3.57             | C i VL         |  | NC                        | 1.60                  | (13.3)                            |        | 77.2                   | 39.2                    |                        | 1.00 |                     |          |                        |                        |
| 3.57                            | 3.37             | C i VL         |  | NC                        | 1.60                  | (14.1)                            |        | 80.3                   | 40.3                    |                        | 1.00 |                     |          |                        |                        |
| 3.37                            | 3.17             | C i VL         |  | NC                        | 1.60                  | (14.9)                            |        | 83.5                   | 41.5                    |                        | 1.00 |                     |          |                        |                        |
| 3.17                            | 2.97             | C i VL         |  | NC                        | 1.60                  | (16.1)                            |        | 86.6                   | 42.6                    |                        | 1.00 |                     |          |                        |                        |
| 2.97                            | 2.77             | C i VL         |  | NCSi                      | 1.60                  | (17.7)                            |        | 89.8                   | 43.8                    |                        |      |                     |          |                        |                        |
| 2.77                            | 2.57             | C i VL         |  | NC                        | 1.60                  | (26.0)                            |        | 92.9                   | 44.9                    |                        | 1.00 |                     |          |                        |                        |
| 2.57                            | 2.37             | C i L          |  | NC                        | 1.60                  | (21.6)                            |        | 96.0                   | 46.0                    |                        | 1.00 |                     |          |                        |                        |
| 2.37                            | 2.17             | C i L          |  |                           |                       |                                   |        |                        |                         |                        |      |                     |          |                        |                        |
| 2.17                            | 1.97             | S i L          |  |                           |                       |                                   |        |                        |                         |                        |      |                     |          |                        |                        |
| 1.97                            | 1.86             | Sa Med         |  |                           |                       |                                   |        |                        |                         |                        |      |                     |          |                        |                        |

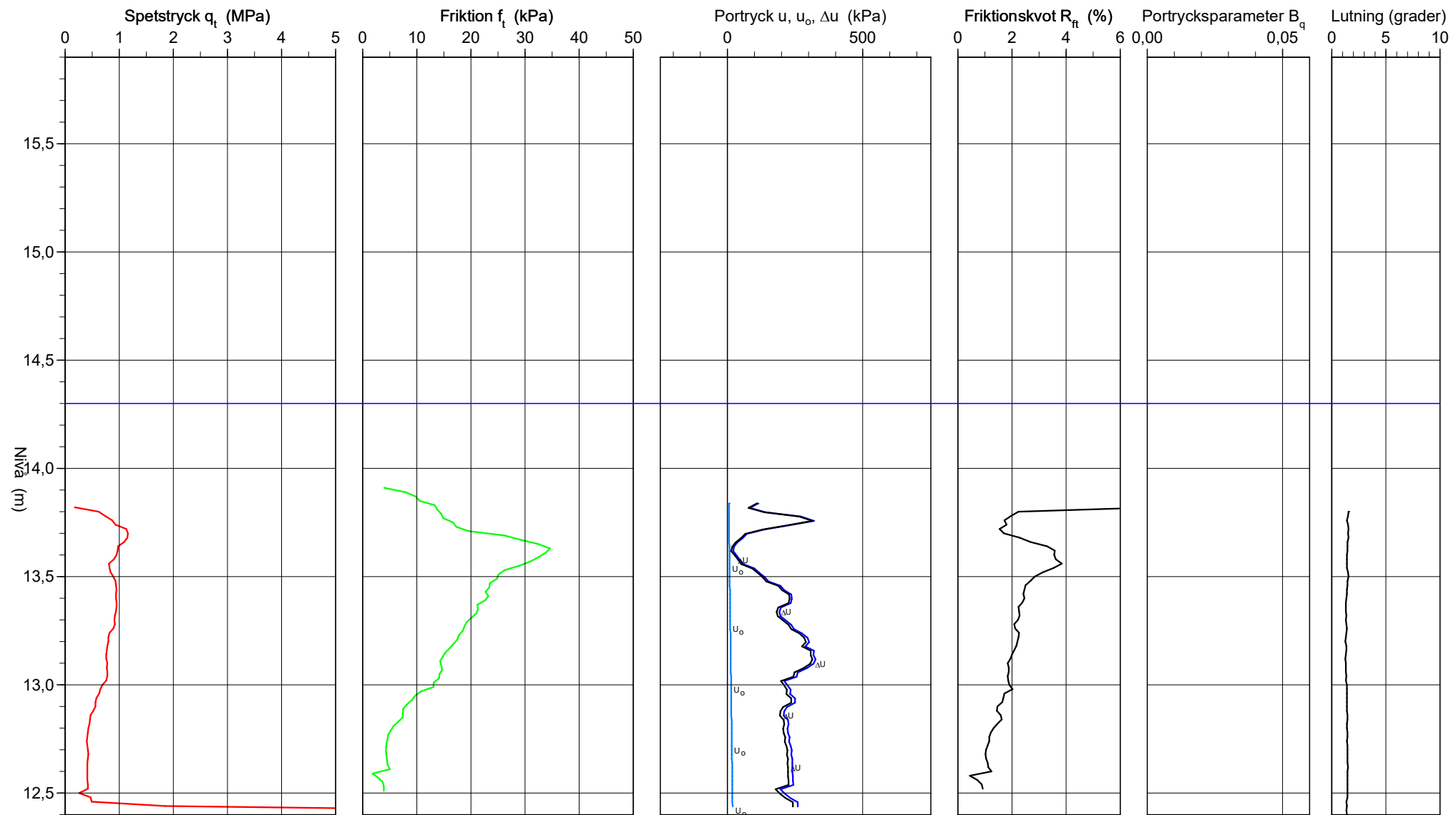
# CPT-sondering utförd enligt EN ISO 22476-1

Förborrningsdjup 13,80 m  
 Start djup 13,80 m  
 Stopp djup 12,40 m  
 Grundvattennivå 14,30 m

Referens my  
 Nivå vid referens 15,80 m  
 Förborrat material LeT  
 Geometri Normal

Vätska i filter  
 Borpunktens koord.  
 Utrustning Geotech  
 Sond nr 5243

Projekt Stenhamra  
 Projekt nr 2020018  
 Plats Stenhamra, Ekerö  
 Borrhål 1  
 Datum 2022-08-16

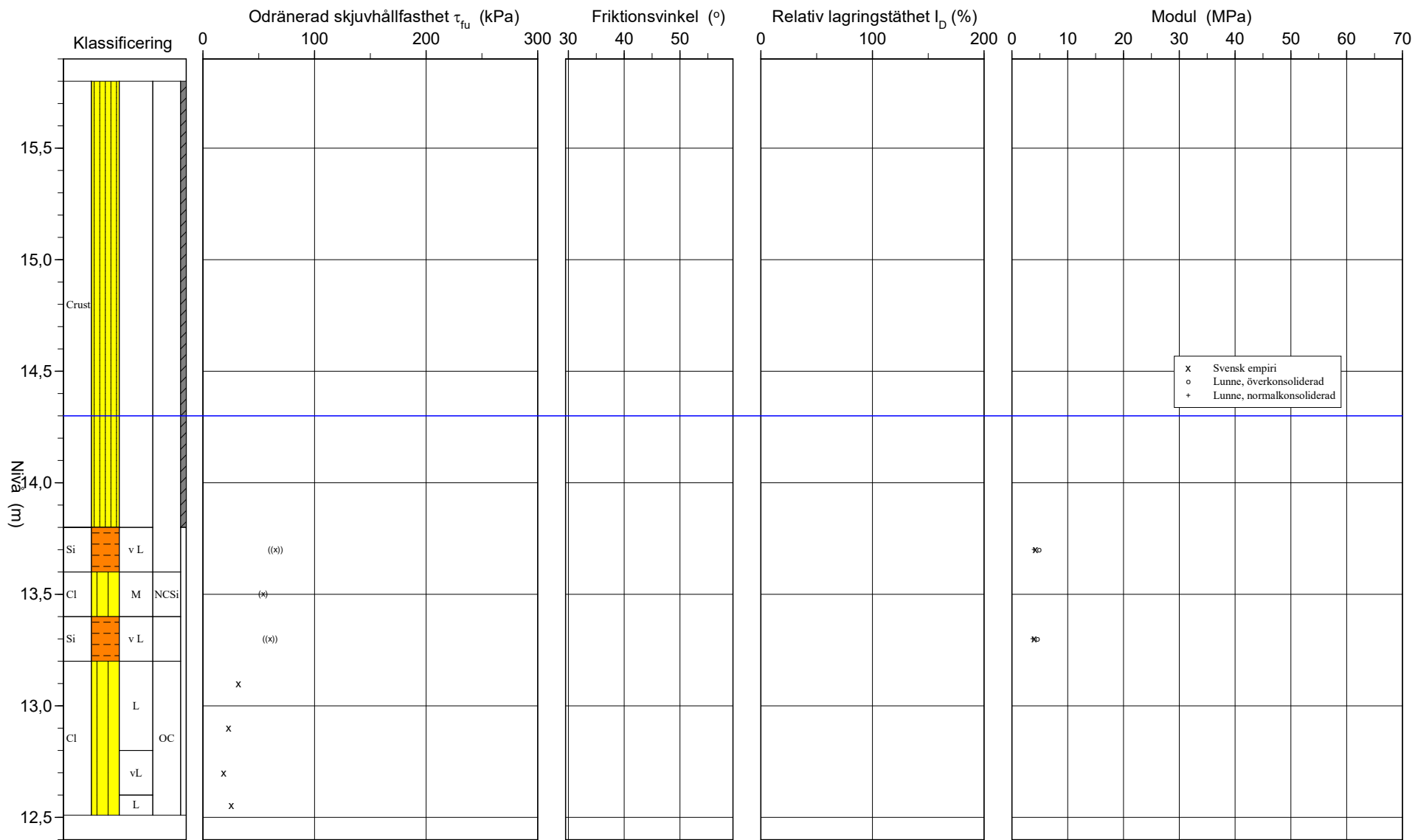


# CPT-sondering utvärderad enligt SGI Information 15 rev.2007

Referens my Förborrningsdjup 13,80 m  
 Nivå vid referens 15,80 m Förborrat material LeT  
 Grundvattenyta 14,30 m Utrustning Geotech  
 Startdjup 13,80 m Geometri Normal

Utvärderare Johan Freudendahl  
 Datum för utvärdering 2022-09-18

Projekt Stenhamra  
 Projekt nr 2020018  
 Plats Stenhamra, Ekerö  
 Borrhål 1  
 Datum 2022-08-16



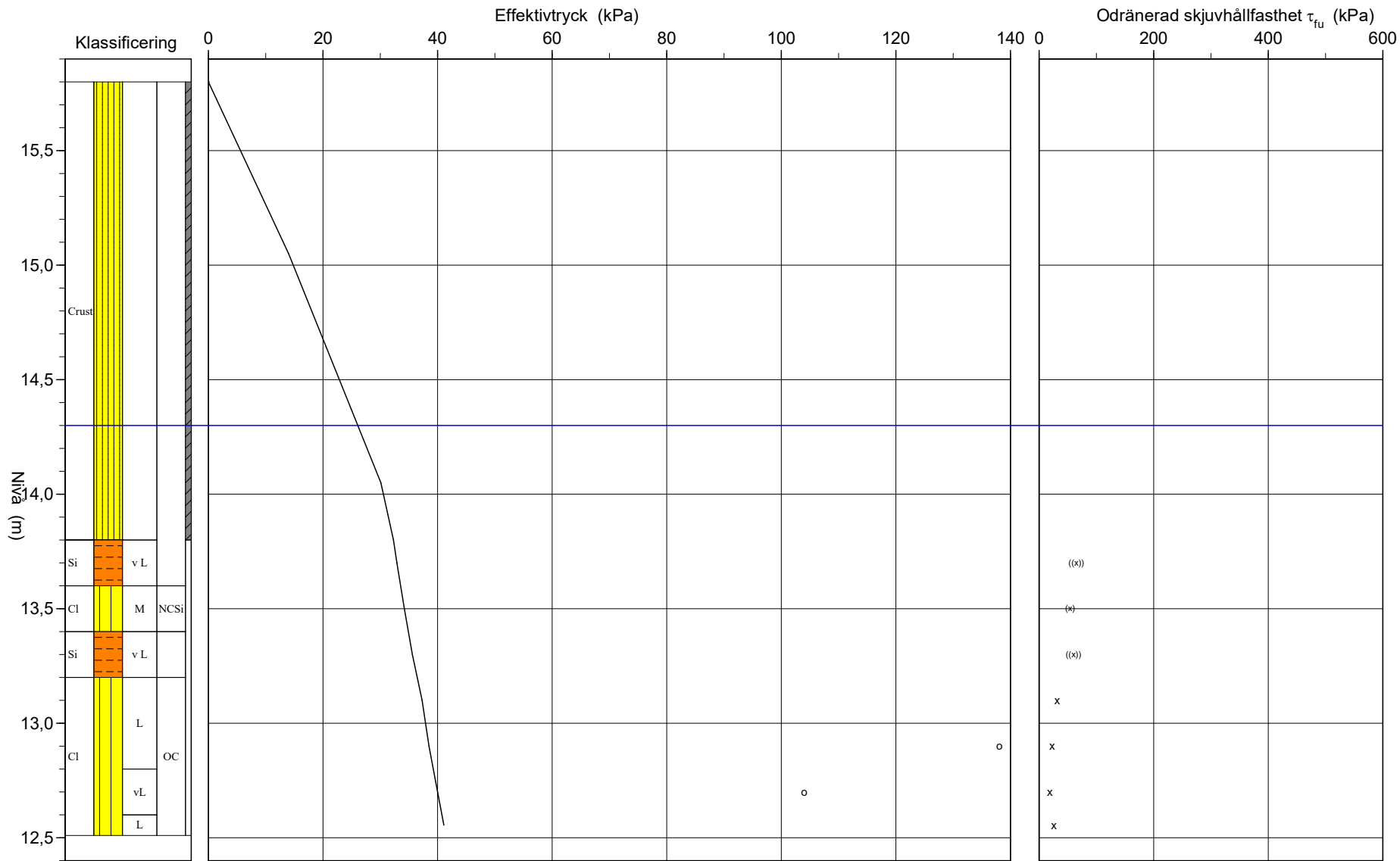
# CPT-sondering utvärderad enligt SGI Information 15 rev.2007

Referens my  
Nivå vid referens 15,80 m  
Grundvattenyta 14,30 m  
Startdjup 13,80 m

Förborrningsdjup 13,80 m  
Förborrat material LeT  
Utrustning Geotech  
Geometri Normal

Utvärderare Johan Freudendahl  
Datum för utvärdering 2022-09-18

Projekt Stenhamra  
Projekt nr 2020018  
Plats Stenhamra, Ekerö  
Borrhål 1  
Datum 2022-08-16



# C P T - sondering

| <b>Projekt</b><br><b>Stenhamra</b><br><b>2020018</b>   |   | <b>Plats</b> <b>Stenhamra, Ekerö</b><br><b>Borrhål</b> <b>1</b><br><b>Datum</b> <b>2022-08-16</b>  |                           |                             |          |  |          |   |   |          |       |                                   |           |         |      |       |       |      |  |       |       |      |  |  |       |       |      |      |  |       |       |      |      |  |
|--|---|--|---------------------------|-----------------------------|----------|--|----------|---|---|----------|-------|-----------------------------------|-----------|---------|------|-------|-------|------|--|-------|-------|------|--|--|-------|-------|------|------|--|-------|-------|------|------|--|
| Förborningsdjup<br>Startdjup<br>Stoppdjup<br>Grundvattenyta<br>Referens<br>Nivå vid referens   | 13,80 m<br>13,80 m<br>12,40 m<br>14,30 m<br>my<br>15,80 m | Förborrat material <b>LeT</b><br>Geometri <b>Normal</b><br>Vätska i filter<br>Operatör <b>Axel Isaksson</b><br>Utrustning <b>Geotech</b><br><input checked="" type="checkbox"/> <b>Portryck registrerat vid sondering</b>  |                           |                             |          |  |          |   |   |          |       |                                   |           |         |      |       |       |      |  |       |       |      |  |  |       |       |      |      |  |       |       |      |      |  |
| <b>Kalibreringsdata</b><br>Spets <b>5243</b><br>Datum<br>Areafaktor a <b>0,850</b><br>Areafaktor b <b>0,000</b>  |   | <b>Nollvärden, kPa</b><br><table border="1"> <thead> <tr> <th></th> <th>Portryck</th> <th>Friktion</th> <th>Spetstryck</th> </tr> </thead> <tbody> <tr> <td>Före</td> <td>240,20</td> <td>126,90</td> <td>7,67</td> </tr> <tr> <td>Efter</td> <td>239,60</td> <td>126,40</td> <td>7,71</td> </tr> <tr> <td>Diff</td> <td>-0,60</td> <td>-0,50</td> <td>0,04</td> </tr> </tbody> </table> |                           | Portryck                    | Friktion | Spetstryck   | Före     | 240,20  | 126,90  | 7,67     | Efter | 239,60                            | 126,40    | 7,71    | Diff | -0,60 | -0,50 | 0,04 |  |       |       |      |  |  |       |       |      |      |  |       |       |      |      |  |
|  | Portryck  | Friktion   | Spetstryck                |                             |          |  |          |   |   |          |       |                                   |           |         |      |       |       |      |  |       |       |      |  |  |       |       |      |      |  |       |       |      |      |  |
| Före   | 240,20  | 126,90   | 7,67                      |                             |          |  |          |   |   |          |       |                                   |           |         |      |       |       |      |  |       |       |      |  |  |       |       |      |      |  |       |       |      |      |  |
| Efter  | 239,60  | 126,40   | 7,71                      |                             |          |  |          |   |   |          |       |                                   |           |         |      |       |       |      |  |       |       |      |  |  |       |       |      |      |  |       |       |      |      |  |
| Diff   | -0,60   | -0,50  | 0,04                      |                             |          |  |          |   |   |          |       |                                   |           |         |      |       |       |      |  |       |       |      |  |  |       |       |      |      |  |       |       |      |      |  |
| <b>Skalfaktorer</b><br><table border="1"> <thead> <tr> <th>Portryck<br/>Område Faktor</th> <th>Friktion<br/>Område Faktor</th> <th>Spetstryck<br/>Område Faktor</th> </tr> </thead> <tbody> <tr> <td></td> <td></td> <td></td> </tr> </tbody> </table> |   | Portryck<br>Område Faktor  | Friktion<br>Område Faktor | Spetstryck<br>Område Faktor |          |  |          | <b>Korrigering</b><br>Portryck <b>(ingen)</b><br>Friktion <b>(ingen)</b><br>Spetstryck <b>(ingen)</b><br><br>Bedömd sonderingsklass |   |          |       |                                   |           |         |      |       |       |      |  |       |       |      |  |  |       |       |      |      |  |       |       |      |      |  |
| Portryck<br>Område Faktor  | Friktion<br>Område Faktor                                 | Spetstryck<br>Område Faktor  |                           |                             |          |  |          |   |   |          |       |                                   |           |         |      |       |       |      |  |       |       |      |  |  |       |       |      |      |  |       |       |      |      |  |
|  |   |  |                           |                             |          |  |          |   |   |          |       |                                   |           |         |      |       |       |      |  |       |       |      |  |  |       |       |      |      |  |       |       |      |      |  |
| <input type="checkbox"/> <b>Använd skalfaktorer vid beräkning</b>  |   |  |                           |                             |          |  |          |   |   |          |       |                                   |           |         |      |       |       |      |  |       |       |      |  |  |       |       |      |      |  |       |       |      |      |  |
| <b>Portrycksobservationer</b><br><table border="1"> <thead> <tr> <th>Nivå (m)</th> <th>Portryck (kPa)</th> </tr> </thead> <tbody> <tr> <td>14,30</td> <td>0,00</td> </tr> </tbody> </table>  |   | Nivå (m)   | Portryck (kPa)            | 14,30                       | 0,00     | <b>Skiktgränser</b><br><table border="1"> <thead> <tr> <th>Nivå (m)</th> </tr> </thead> <tbody> <tr> <td></td> </tr> </tbody> </table> | Nivå (m) |   | <b>Klassificering</b><br><table border="1"> <thead> <tr> <th colspan="2">Nivå (m)</th> <th>Densitet<br/>(ton/m<sup>3</sup>)</th> <th>Flytgräns</th> <th>Jordart</th> </tr> <tr> <th>Från</th> <th>Till</th> <td></td> <td></td> <td></td> </tr> </thead> <tbody> <tr> <td>15,80</td> <td>13,80</td> <td>1,90</td> <td></td> <td></td> </tr> <tr> <td>13,30</td> <td>12,80</td> <td>1,76</td> <td>0,50</td> <td></td> </tr> <tr> <td>12,80</td> <td>12,30</td> <td>1,76</td> <td>0,50</td> <td></td> </tr> </tbody> </table> | Nivå (m) |       | Densitet<br>(ton/m <sup>3</sup> ) | Flytgräns | Jordart | Från | Till  |       |      |  | 15,80 | 13,80 | 1,90 |  |  | 13,30 | 12,80 | 1,76 | 0,50 |  | 12,80 | 12,30 | 1,76 | 0,50 |  |
| Nivå (m)   | Portryck (kPa)  |  |                           |                             |          |  |          |   |   |          |       |                                   |           |         |      |       |       |      |  |       |       |      |  |  |       |       |      |      |  |       |       |      |      |  |
| 14,30  | 0,00  |  |                           |                             |          |  |          |   |   |          |       |                                   |           |         |      |       |       |      |  |       |       |      |  |  |       |       |      |      |  |       |       |      |      |  |
| Nivå (m)   |   |  |                           |                             |          |  |          |   |   |          |       |                                   |           |         |      |       |       |      |  |       |       |      |  |  |       |       |      |      |  |       |       |      |      |  |
|  |   |  |                           |                             |          |  |          |   |   |          |       |                                   |           |         |      |       |       |      |  |       |       |      |  |  |       |       |      |      |  |       |       |      |      |  |
| Nivå (m)   |   | Densitet<br>(ton/m <sup>3</sup> )  | Flytgräns                 | Jordart                     |          |  |          |   |   |          |       |                                   |           |         |      |       |       |      |  |       |       |      |  |  |       |       |      |      |  |       |       |      |      |  |
| Från   | Till  |  |                           |                             |          |  |          |   |   |          |       |                                   |           |         |      |       |       |      |  |       |       |      |  |  |       |       |      |      |  |       |       |      |      |  |
| 15,80  | 13,80   | 1,90   |                           |                             |          |  |          |   |   |          |       |                                   |           |         |      |       |       |      |  |       |       |      |  |  |       |       |      |      |  |       |       |      |      |  |
| 13,30  | 12,80   | 1,76   | 0,50                      |                             |          |  |          |   |   |          |       |                                   |           |         |      |       |       |      |  |       |       |      |  |  |       |       |      |      |  |       |       |      |      |  |
| 12,80  | 12,30   | 1,76   | 0,50                      |                             |          |  |          |   |   |          |       |                                   |           |         |      |       |       |      |  |       |       |      |  |  |       |       |      |      |  |       |       |      |      |  |
| <b>Anmärkning</b><br><br><br><br><br>  |   |  |                           |                             |          |  |          |   |   |          |       |                                   |           |         |      |       |       |      |  |       |       |      |  |  |       |       |      |      |  |       |       |      |      |  |

# C P T - sondering

Sida 1 av 1

| Projekt<br>Stenhamra<br>2020018 |       |                |                            |       | Plats<br>Borrhål<br>1<br>Datum<br>2022-08-16 |             |                      |                       |                      |      |                     |          |                        |                        |
|---------------------------------|-------|----------------|----------------------------|-------|--|-------------|----------------------|-----------------------|----------------------|------|---------------------|----------|------------------------|------------------------|
| Nivå (m)                        |       | Klassificering | $\rho$<br>t/m <sup>3</sup> | $W_L$ | $\tau_{fu}$<br>kPa                           | $\phi$<br>° | $\sigma_{vo}$<br>kPa | $\sigma'_{vo}$<br>kPa | $\sigma'_{c}$<br>kPa | OCR  | I <sub>D</sub><br>% | E<br>MPa | M <sub>OC</sub><br>MPa | M <sub>NC</sub><br>MPa |
| Från                            | Till  |                |                            |       |  |             |                      |                       |                      |      |                     |          |                        |                        |
| 15,80                           | 14,30 | Crust          | 1,90                       |       |  |             | 14,0                 | 14,0                  |                      |      |                     |          |                        |                        |
| 14,30                           | 13,80 | Crust          | 1,90                       |       |  |             | 32,6                 | 30,1                  |                      |      |                     |          |                        |                        |
| 13,80                           | 13,80 |                | 0,00                       |       |  |             | 37,3                 | 32,3                  |                      |      |                     |          |                        |                        |
| 13,80                           | 13,60 | Si v L         | 1,60                       |       | ((65,1))                                     |             | 38,8                 | 32,8                  |                      |      |                     |          |                        |                        |
| 13,60                           | 13,40 | Cl M           | NCSi                       | 1,85  | (53,9)                                       |             | 42,2                 | 34,2                  |                      | 1,00 |                     | 4,2      | 4,9                    | 3,9                    |
| 13,40                           | 13,20 | Si v L         |                            | 1,76  | 0,50   | ((59,9))    | 45,6                 | 35,6                  |                      |      |                     | 4,0      | 4,6                    | 3,7                    |
| 13,20                           | 13,00 | Cl L           | OC                         | 1,76  | 0,50   | 32,1        | 49,3                 | 37,3                  | 211,4                | 5,67 |                     |          |                        |                        |
| 13,00                           | 12,80 | Cl L           | OC                         | 1,76  | 0,50   | 23,0        | 52,5                 | 38,5                  | 138,1                | 3,59 |                     |          |                        |                        |
| 12,80                           | 12,60 | Cl v L         | OC                         | 1,76  | 0,50   | 18,5        | 56,0                 | 40,0                  | 104,0                | 2,60 |                     |          |                        |                        |
| 12,60                           | 12,51 | Cl L           | OC                         | 1,76  | 0,50   | 25,6        | 58,6                 | 41,1                  | 155,7                | 3,79 |                     |          |                        |                        |

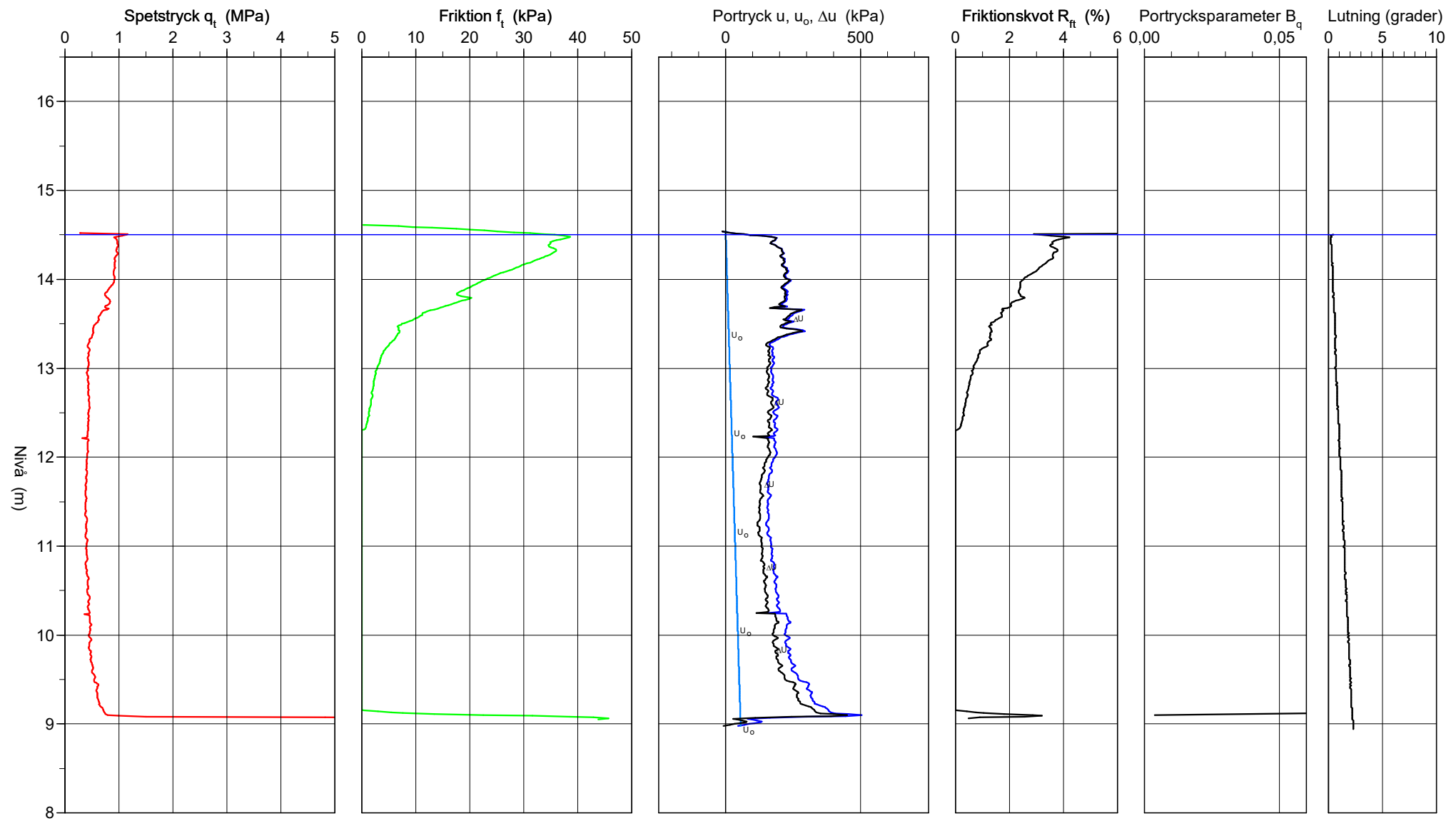
# CPT-sondering utförd enligt EN ISO 22476-1

Förborrningsdjup 14,50 m  
 Start djup 14,50 m  
 Stopp djup 8,94 m  
 Grundvattennivå 14,50 m

Referens my  
 Nivå vid referens 16,00 m  
 Förborrat material LeT  
 Geometri Normal

Vätska i filter  
 Borrpunkten koord.  
 Utrustning Geotech  
 Sond nr 51704

Projekt Stenhamra  
 Projekt nr 2020018  
 Plats Stenhamra, Ekerö  
 Borrhål 22M010  
 Datum 2022-08-16

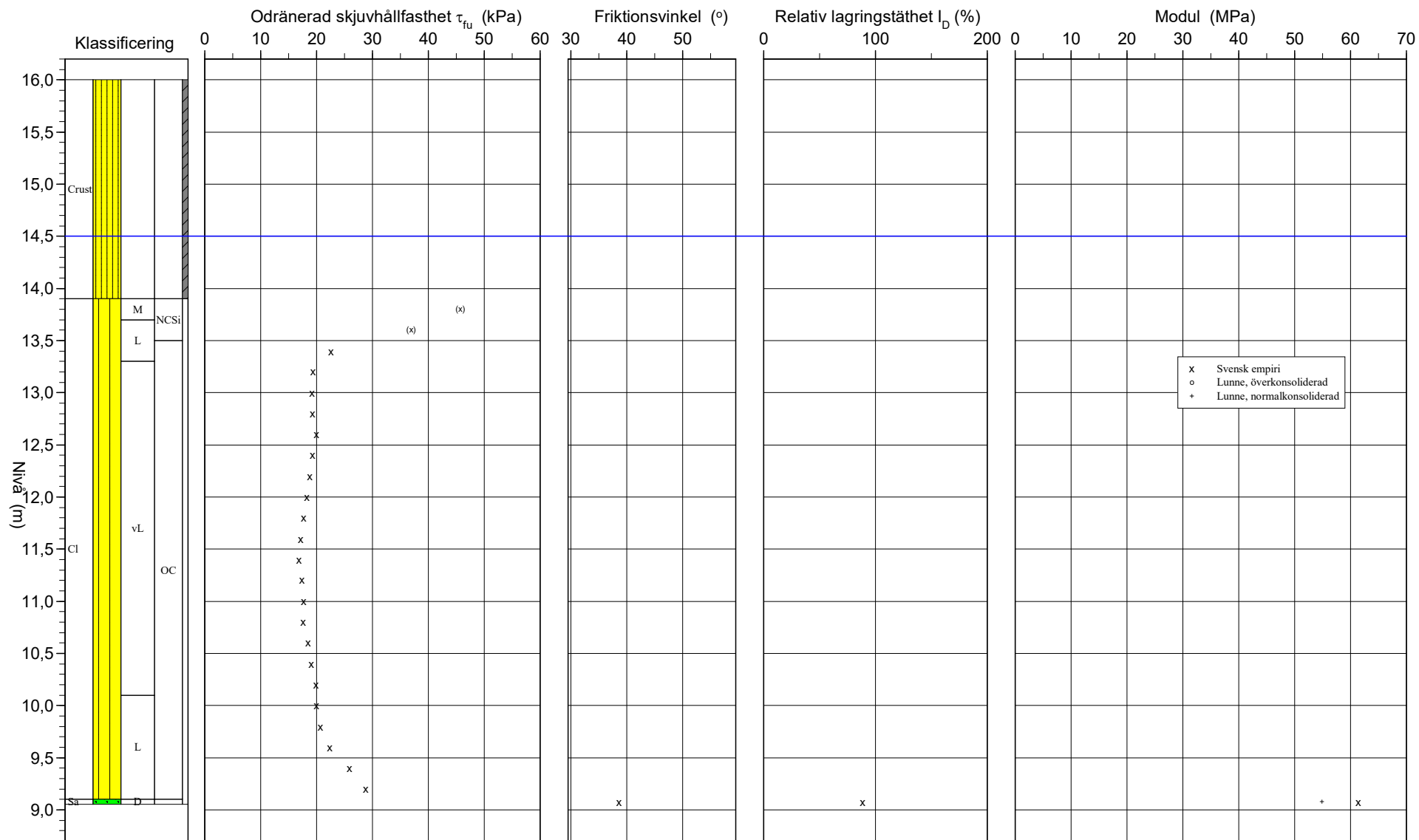


# CPT-sondering utvärderad enligt SGI Information 15 rev.2007

Referens my Förborningsdjup 14,50 m  
 Nivå vid referens 16,00 m Förborrat material LeT  
 Grundvattenyta 14,50 m Utrustning Geotech  
 Startdjup 14,50 m Geometri Normal

Utvärderare Johan Freudendahl  
 Datum för utvärdering 2022-09-19

Projekt Stenhamra  
 Projekt nr 2020018  
 Plats Stenhamra, Ekerö  
 Borrhål 22M010  
 Datum 2022-08-16



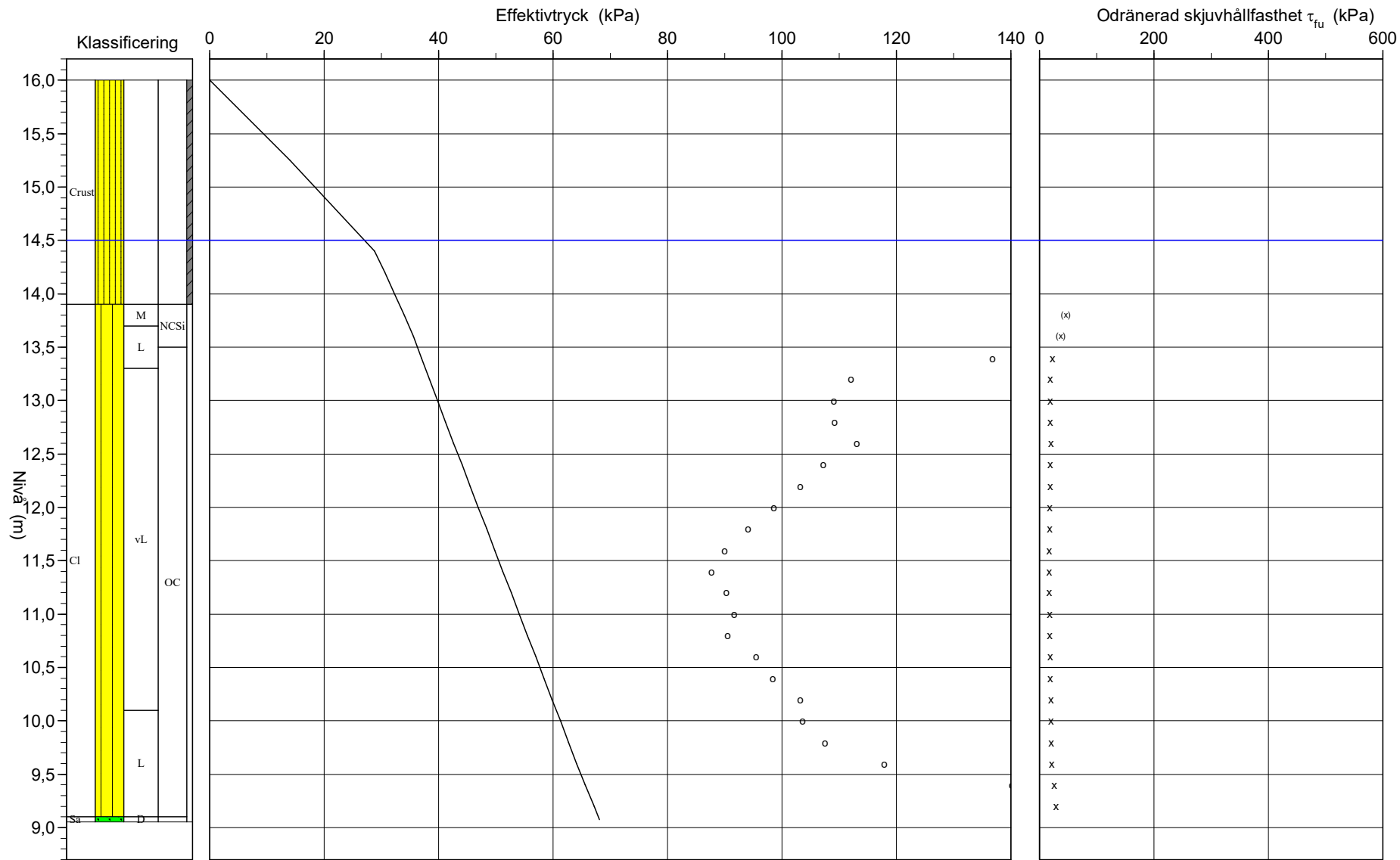
# CPT-sondering utvärderad enligt SGI Information 15 rev.2007

Referens my  
Nivå vid referens 16,00 m  
Grundvattenyta 14,50 m  
Startdjup 14,50 m

Förborrningsdjup 14,50 m  
Förborrat material LeT  
Utrustning Geotech  
Geometri Normal

Utvärderare Johan Freudendahl  
Datum för utvärdering 2022-09-19

Projekt Stenhamra  
Projekt nr 2020018  
Plats Stenhamra, Ekerö  
Borrhål 22M010  
Datum 2022-08-16



# C P T - sondering

| <b>Projekt</b><br><b>Stenhamra</b><br><b>2020018</b>   |  | <b>Plats</b> <b>Stenhamra, Ekerö</b><br><b>Borrhål</b> <b>22M010</b><br><b>Datum</b> <b>2022-08-16</b>   |                           |                             |          |  |          |  |  |          |       |                                   |           |         |      |       |       |      |  |       |       |      |  |  |       |       |      |      |  |       |      |      |      |  |
|--|--|--|---------------------------|-----------------------------|----------|--|----------|--|--|----------|-------|-----------------------------------|-----------|---------|------|-------|-------|------|--|-------|-------|------|--|--|-------|-------|------|------|--|-------|------|------|------|--|
| Förborningsdjup<br>Startdjup<br>Stoppdjup<br>Grundvattenyta<br>Referens<br>Nivå vid referens   | 14,50 m<br>14,50 m<br>8,94 m<br>14,50 m<br>my<br>16,00 m | Förborrat material<br>Geometri<br>Vätska i filter<br>Operatör<br>Utrustning<br><input checked="" type="checkbox"/> <b>Portryck registrerat vid sondering</b>   |                           |                             |          |  |          |  |  |          |       |                                   |           |         |      |       |       |      |  |       |       |      |  |  |       |       |      |      |  |       |      |      |      |  |
| <b>Kalibreringsdata</b><br>Spets <b>51704</b><br>Datum<br>Areafaktor a <b>0,680</b><br>Areafaktor b <b>0,006</b>   |  | <b>Nollvärden, kPa</b><br><table border="1"> <thead> <tr> <th></th> <th>Portryck</th> <th>Friktion</th> <th>Spetstryck</th> </tr> </thead> <tbody> <tr> <td>Före</td> <td>0,00</td> <td>0,00</td> <td>0,00</td> </tr> <tr> <td>Efter</td> <td>14,10</td> <td>-4,00</td> <td>0,08</td> </tr> <tr> <td>Diff</td> <td>14,10</td> <td>-4,00</td> <td>0,08</td> </tr> </tbody> </table> |                           | Portryck                    | Friktion | Spetstryck   | Före     | 0,00   | 0,00   | 0,00     | Efter | 14,10                             | -4,00     | 0,08    | Diff | 14,10 | -4,00 | 0,08 |  |       |       |      |  |  |       |       |      |      |  |       |      |      |      |  |
|  | Portryck   | Friktion   | Spetstryck                |                             |          |  |          |  |  |          |       |                                   |           |         |      |       |       |      |  |       |       |      |  |  |       |       |      |      |  |       |      |      |      |  |
| Före   | 0,00   | 0,00   | 0,00                      |                             |          |  |          |  |  |          |       |                                   |           |         |      |       |       |      |  |       |       |      |  |  |       |       |      |      |  |       |      |      |      |  |
| Efter  | 14,10  | -4,00  | 0,08                      |                             |          |  |          |  |  |          |       |                                   |           |         |      |       |       |      |  |       |       |      |  |  |       |       |      |      |  |       |      |      |      |  |
| Diff   | 14,10  | -4,00  | 0,08                      |                             |          |  |          |  |  |          |       |                                   |           |         |      |       |       |      |  |       |       |      |  |  |       |       |      |      |  |       |      |      |      |  |
| <b>Skalfaktorer</b><br><table border="1"> <thead> <tr> <th>Portryck<br/>Område Faktor</th> <th>Friktion<br/>Område Faktor</th> <th>Spetstryck<br/>Område Faktor</th> </tr> </thead> <tbody> <tr> <td></td> <td></td> <td></td> </tr> </tbody> </table> |  | Portryck<br>Område Faktor  | Friktion<br>Område Faktor | Spetstryck<br>Område Faktor |          |  |          | <b>Korrigering</b><br>Portryck (ingen)<br>Friktion (ingen)<br>Spetstryck (ingen)<br><br>Bedömd sonderingsklass |  |          |       |                                   |           |         |      |       |       |      |  |       |       |      |  |  |       |       |      |      |  |       |      |      |      |  |
| Portryck<br>Område Faktor  | Friktion<br>Område Faktor                                | Spetstryck<br>Område Faktor  |                           |                             |          |  |          |  |  |          |       |                                   |           |         |      |       |       |      |  |       |       |      |  |  |       |       |      |      |  |       |      |      |      |  |
|  |  |  |                           |                             |          |  |          |  |  |          |       |                                   |           |         |      |       |       |      |  |       |       |      |  |  |       |       |      |      |  |       |      |      |      |  |
| <input type="checkbox"/> <b>Använd skalfaktorer vid beräkning</b>  |  |  |                           |                             |          |  |          |  |  |          |       |                                   |           |         |      |       |       |      |  |       |       |      |  |  |       |       |      |      |  |       |      |      |      |  |
| <b>Portrycksobservationer</b><br><table border="1"> <thead> <tr> <th>Nivå (m)</th> <th>Portryck (kPa)</th> </tr> </thead> <tbody> <tr> <td>14,50</td> <td>0,00</td> </tr> </tbody> </table>  |  | Nivå (m)   | Portryck (kPa)            | 14,50                       | 0,00     | <b>Skiktgränser</b><br><table border="1"> <thead> <tr> <th>Nivå (m)</th> </tr> </thead> <tbody> <tr> <td></td> </tr> </tbody> </table> | Nivå (m) |  | <b>Klassificering</b><br><table border="1"> <thead> <tr> <th colspan="2">Nivå (m)</th> <th>Densitet<br/>(ton/m<sup>3</sup>)</th> <th>Flytgräns</th> <th>Jordart</th> </tr> <tr> <th>Från</th> <th>Till</th> <td></td> <td></td> <td></td> </tr> </thead> <tbody> <tr> <td>16,00</td> <td>14,00</td> <td>1,90</td> <td></td> <td></td> </tr> <tr> <td>13,50</td> <td>13,00</td> <td>1,73</td> <td>0,50</td> <td></td> </tr> <tr> <td>13,00</td> <td>9,00</td> <td>1,75</td> <td>0,50</td> <td></td> </tr> </tbody> </table> | Nivå (m) |       | Densitet<br>(ton/m <sup>3</sup> ) | Flytgräns | Jordart | Från | Till  |       |      |  | 16,00 | 14,00 | 1,90 |  |  | 13,50 | 13,00 | 1,73 | 0,50 |  | 13,00 | 9,00 | 1,75 | 0,50 |  |
| Nivå (m)   | Portryck (kPa)   |  |                           |                             |          |  |          |  |  |          |       |                                   |           |         |      |       |       |      |  |       |       |      |  |  |       |       |      |      |  |       |      |      |      |  |
| 14,50  | 0,00   |  |                           |                             |          |  |          |  |  |          |       |                                   |           |         |      |       |       |      |  |       |       |      |  |  |       |       |      |      |  |       |      |      |      |  |
| Nivå (m)   |  |  |                           |                             |          |  |          |  |  |          |       |                                   |           |         |      |       |       |      |  |       |       |      |  |  |       |       |      |      |  |       |      |      |      |  |
|  |  |  |                           |                             |          |  |          |  |  |          |       |                                   |           |         |      |       |       |      |  |       |       |      |  |  |       |       |      |      |  |       |      |      |      |  |
| Nivå (m)   |  | Densitet<br>(ton/m <sup>3</sup> )  | Flytgräns                 | Jordart                     |          |  |          |  |  |          |       |                                   |           |         |      |       |       |      |  |       |       |      |  |  |       |       |      |      |  |       |      |      |      |  |
| Från   | Till   |  |                           |                             |          |  |          |  |  |          |       |                                   |           |         |      |       |       |      |  |       |       |      |  |  |       |       |      |      |  |       |      |      |      |  |
| 16,00  | 14,00  | 1,90   |                           |                             |          |  |          |  |  |          |       |                                   |           |         |      |       |       |      |  |       |       |      |  |  |       |       |      |      |  |       |      |      |      |  |
| 13,50  | 13,00  | 1,73   | 0,50                      |                             |          |  |          |  |  |          |       |                                   |           |         |      |       |       |      |  |       |       |      |  |  |       |       |      |      |  |       |      |      |      |  |
| 13,00  | 9,00   | 1,75   | 0,50                      |                             |          |  |          |  |  |          |       |                                   |           |         |      |       |       |      |  |       |       |      |  |  |       |       |      |      |  |       |      |      |      |  |
| <b>Anmärkning</b><br>  |  |  |                           |                             |          |  |          |  |  |          |       |                                   |           |         |      |       |       |      |  |       |       |      |  |  |       |       |      |      |  |       |      |      |      |  |

# C P T - sondering

Sida 1 av 1

| Projekt<br>Stenhamra<br>2020018 |                  |                |           |                | Plats<br>Borrhål<br>Datum |        | Stenhamra, Ekerö<br>22M010<br>2022-08-16 |                         |                        |      |                     |          |                        |                        |
|---------------------------------|------------------|----------------|-----------|----------------|---------------------------|--------|--|-------------------------|------------------------|------|---------------------|----------|------------------------|------------------------|
| Nivå (m)<br>Från                | Nivå (m)<br>Till | Klassificering | ρ<br>t/m³ | W <sub>L</sub> | τ <sub>fu</sub><br>kPa    | ϕ<br>° | σ <sub>vo</sub><br>kPa                   | σ' <sub>vo</sub><br>kPa | σ' <sub>c</sub><br>kPa | OCR  | I <sub>D</sub><br>% | E<br>MPa | M <sub>OC</sub><br>MPa | M <sub>NC</sub><br>MPa |
| 16,00                           | 14,50            | Crust          | 1,90      |                |                           |        | 14,0                                     | 14,0                    |                        |      |                     |          |                        |                        |
| 14,50                           | 14,30            | Crust          | 1,90      |                |                           |        | 29,8                                     | 28,8                    |                        |      |                     |          |                        |                        |
| 14,30                           | 14,10            | Crust          | 1,90      |                |                           |        | 33,6                                     | 30,6                    |                        |      |                     |          |                        |                        |
| 14,10                           | 13,90            | Crust          | 1,90      |                |                           |        | 37,3                                     | 32,3                    |                        |      |                     |          |                        |                        |
| 13,90                           | 13,70            | Cl M           | NCSI      | 1,85           | (45,7)                    |        | 41,0                                     | 34,0                    |                        | 1,00 |                     |          |                        |                        |
| 13,70                           | 13,50            | Cl L           | NCSI      | 1,85           | (36,9)                    |        | 44,6                                     | 35,6                    |                        | 1,00 |                     |          |                        |                        |
| 13,50                           | 13,30            | Cl L           | OC        | 1,73           | 0,50                      | 22,6   | 48,0                                     | 37,0                    | 136,8                  | 3,70 |                     |          |                        |                        |
| 13,30                           | 13,10            | Cl VL          | OC        | 1,73           | 0,50                      | 19,4   | 51,4                                     | 38,4                    | 112,1                  | 2,92 |                     |          |                        |                        |
| 13,10                           | 12,90            | Cl VL          | OC        | 1,75           | 0,50                      | 19,2   | 54,8                                     | 39,8                    | 109,1                  | 2,74 |                     |          |                        |                        |
| 12,90                           | 12,70            | Cl VL          | OC        | 1,75           | 0,50                      | 19,3   | 58,2                                     | 41,2                    | 109,2                  | 2,65 |                     |          |                        |                        |
| 12,70                           | 12,50            | Cl VL          | OC        | 1,75           | 0,50                      | 20,0   | 61,6                                     | 42,6                    | 113,1                  | 2,65 |                     |          |                        |                        |
| 12,50                           | 12,30            | Cl VL          | OC        | 1,75           | 0,50                      | 19,3   | 65,1                                     | 44,1                    | 107,2                  | 2,43 |                     |          |                        |                        |
| 12,30                           | 12,10            | Cl VL          | OC        | 1,75           | 0,50                      | 18,8   | 68,5                                     | 45,5                    | 103,2                  | 2,27 |                     |          |                        |                        |
| 12,10                           | 11,90            | Cl VL          | OC        | 1,75           | 0,50                      | 18,3   | 71,9                                     | 46,9                    | 98,6                   | 2,10 |                     |          |                        |                        |
| 11,90                           | 11,70            | Cl VL          | OC        | 1,75           | 0,50                      | 17,7   | 75,4                                     | 48,4                    | 94,1                   | 1,95 |                     |          |                        |                        |
| 11,70                           | 11,50            | Cl VL          | OC        | 1,75           | 0,50                      | 17,2   | 78,8                                     | 49,8                    | 90,0                   | 1,81 |                     |          |                        |                        |
| 11,50                           | 11,30            | Cl VL          | OC        | 1,75           | 0,50                      | 16,9   | 82,2                                     | 51,2                    | 87,7                   | 1,71 |                     |          |                        |                        |
| 11,30                           | 11,10            | Cl VL          | OC        | 1,75           | 0,50                      | 17,4   | 85,7                                     | 52,7                    | 90,3                   | 1,71 |                     |          |                        |                        |
| 11,10                           | 10,90            | Cl VL          | OC        | 1,75           | 0,50                      | 17,7   | 89,1                                     | 54,1                    | 91,7                   | 1,70 |                     |          |                        |                        |
| 10,90                           | 10,70            | Cl VL          | OC        | 1,75           | 0,50                      | 17,6   | 92,5                                     | 55,5                    | 90,5                   | 1,63 |                     |          |                        |                        |
| 10,70                           | 10,50            | Cl VL          | OC        | 1,75           | 0,50                      | 18,5   | 96,0                                     | 57,0                    | 95,5                   | 1,68 |                     |          |                        |                        |
| 10,50                           | 10,30            | Cl VL          | OC        | 1,75           | 0,50                      | 19,0   | 99,4                                     | 58,4                    | 98,4                   | 1,68 |                     |          |                        |                        |
| 10,30                           | 10,10            | Cl VL          | OC        | 1,75           | 0,50                      | 19,9   | 102,8                                    | 59,8                    | 103,2                  | 1,73 |                     |          |                        |                        |
| 10,10                           | 9,90             | Cl L           | OC        | 1,75           | 0,50                      | 20,0   | 106,3                                    | 61,3                    | 103,6                  | 1,69 |                     |          |                        |                        |
| 9,90                            | 9,70             | Cl L           | OC        | 1,75           | 0,50                      | 20,7   | 109,7                                    | 62,7                    | 107,5                  | 1,71 |                     |          |                        |                        |
| 9,70                            | 9,50             | Cl L           | OC        | 1,75           | 0,50                      | 22,4   | 113,1                                    | 64,1                    | 117,9                  | 1,84 |                     |          |                        |                        |
| 9,50                            | 9,30             | Cl L           | OC        | 1,75           | 0,50                      | 25,9   | 116,6                                    | 65,6                    | 140,2                  | 2,14 |                     |          |                        |                        |
| 9,30                            | 9,10             | Cl L           | OC        | 1,75           | 0,50                      | 28,8   | 120,2                                    | 67,2                    | 159,5                  | 2,37 |                     |          |                        |                        |
| 9,10                            | 9,05             | Sa D           |           | 1,75           | 0,50                      |        | 38,7                                     | 122,3                   | 68,1                   |      | 88,5                | 61,4     | 87,3                   | 54,9                   |